

بِسْمِ اللّٰهِ الرَّحْمٰنِ الرَّحِيْمِ



دانشکده مهندسی مکانیک و مکاترونیک  
پایان نامه کارشناسی ارشد مهندسی تبدیل انرژی

تعیین میزان نشتی از خطوط توزیع گاز طبیعی مدفون با استفاده از شبیه سازی عددی

نگارنده: امیر ابراهیمی مقدم

استاد راهنما:  
دکتر محمود فرزانه گرد

استاد مشاور:  
دکتر مهدی دیمی دشت بیاض

شهریور ۱۳۹۵

شماره:

تاریخ:

با سمه تعالی



مدیریت تحصیلات تکمیلی

ویرایش:

فرم شماره ۷: صورتجلسه نهایی دفاع از پایان نامه دوره کارشناسی ارشد

با تأییدات خداوند متعال و با استعانت از حضرت ولی عصر (عج) ارزیابی جلسه دفاع از پایان نامه کارشناسی ارشد آقای امیر ابراهیمی مقدم به شماره دانشجویی ۹۲۰۱۵۰۴ رشته مهندسی مکانیک گرایش تبدیل انرژی تحت عنوان "تعیین میزان نشتی از خطوط توزیع گاز طبیعی مدفون با استفاده از شبیه‌سازی عددی" که در تاریخ ۱۳۹۵/۰۶/۱۴ با حضور هیأت محترم داوران در دانشگاه صنعتی شاهرود برگزار گردید به شرح ذیل اعلام می‌گردد:

<input type="checkbox"/> مردود	<input checked="" type="checkbox"/> دفاع مجدد	<input checked="" type="checkbox"/> قبول (با درجه: <b>خوب</b> امتیاز ۱۷/۶۰)
		<input type="checkbox"/> نوع تحقیق: نظری <input type="checkbox"/> عملی

- ۱- عالی (۱۹ - ۱۸/۹۹)  
 ۲- بسیار خوب (۱۸ - ۱۸/۹۹)  
 ۳- خوب (۱۷/۹۹ - ۱۶ - ۱۵/۹۹)  
 ۴- قابل قبول (۱۵/۹۹ - ۱۴ - ۱۳/۹۹)  
 ۵- نمره کمتر از ۱۴ غیر قابل قبول

عضو هیأت داوران	نام و نام خانوادگی	مرتبه علمی	امضاء
۱- استادرهنماei اول	دکتر محمود فرزانه گرد	استاد	
۲- استادرهنماei دوم	-	-	-
۳- استاد مشاور	دکتر مهدی دیمی دشت‌بیاض	استادیار	
۴- نماینده شورای تحصیلات تکمیلی	دکتر محسن نظری	دانشیار	
۵- استاد ممتحن اول	دکتر علی عباس نژاد	استادیار	
۶- استاد ممتحن دوم	دکتر علی خالقی	استادیار	

نام و نام خانوادگی رئیس دانشکده: دکتر محمد محسن شاهمردان

تاریخ و ایضاعه و مهر دانشکده:



تقدیم به:

پدر و مادرگرامی و عزیزم

ب یاد و نم خداوند رے که نم او کلیه گئیست تمام در بحث است.

و با مشکر از استاد ارجمند م:

جناب آقای دکتر محمود فرزانه گرد و جناب آقای دکتر همدی دیمی داشت یاض که خالصان

در تمام مراحل انجام و تدوین این پژوهش مرا یاری نمودند.

و با مشکر از پدر و مادر بزرگوار م:

که در تمام مراحل زندگی و تحصیلیم همیشه پشتیبان و مشوقم بوده و پا به پا مرا یاری می نمایند و کاری  
جز کوتاهی برایشان انجام ندادم.

این پیمان نامه با حمایت و پشتیبانی شرکت گاز استان سمنان اجرا شده است. بدین وسیله

مراتب قدردانی خود را ابراز داشته و از همکاری های جناب آقای سعید رستگار رئیس پژوهش

شرکت گاز استان سمنان و آقای سید کیوان داتشور ناظر پیمان نامه حاضر در شرکت گاز استان

سمنان، مشکر می نمایم.

# تعهدنامه

اینجانب امیر ابراهیمی مقدم دانشجوی دوره کارشناسی ارشد رشته مهندسی مکانیک گرایش تبدیل انرژی دانشکده مهندسی مکانیک دانشگاه صنعتی شاهرود نویسنده پایان نامه تعیین میزان نشتی از خطوط توزیع گاز طبیعی مدفون

با استفاده از شبیه سازی عددی تحت راهنمای آقای دکتر محمود فرزانه گرد متعهد می شوم:

- تحقیقات در این پایان نامه توسط اینجانب انجام شده است و از صحت و اصالت برخوردار است.
- در استفاده از نتایج پژوهش های محققان دیگر به مرجع مورد استفاده استناد شده است.
- مطالب مندرج در پایان نامه تاکنون توسط فرد دیگری برای دریافت هیچ نوع مدرک یا امتیازی در هیچ جا ارائه نشده است.
- کلیه حقوق معنوی این اثر متعلق به دانشگاه صنعتی شاهرود می باشد و مقالات مستخرج با نام «دانشگاه صنعتی شاهرود» و یا «Shahrood University of Technology» به چاپ خواهد رسید.
- حقوق معنوی تمام افرادی که در به دست آمدن نتایج اصلی پایان نامه تأثیرگذار بوده اند در مقالات مستخرج از پایان نامه رعایت می گردد.
- در کلیه مراحل انجام این پایان نامه ، در مواردی که از موجود زنده ( یا بافت های آنها ) استفاده شده است ضوابط و اصول اخلاقی رعایت شده است.
- در کلیه مراحل انجام این پایان نامه، در مواردی که به حوزه اطلاعات شخصی افراد دسترسی یافته یا استفاده شده است اصل رازداری، ضوابط و اصول اخلاق انسانی رعایت شده است.

## تاریخ امضای دانشجو

### مالکیت نتایج و حق نشر

- کلیه حقوق معنوی این اثر و محصولات آن (مقالات مستخرج، کتاب، برنامه های رایانه ای، نرم افزارها و تجهیزات ساخته شده است) متعلق به دانشگاه صنعتی شاهرود می باشد. این مطلب باید به نحو مقتضی در تولیدات علمی مربوطه ذکر شود.
- استفاده از اطلاعات و نتایج موجود در پایان نامه بدون ذکر مرجع مجاز نمی باشد.

\* متن این صفحه نیز باید در ابتدای نسخه های تکثیر شده پایان نامه وجود داشته باشد

## چکیده

هدف اصلی از انجام پژوهش حاضر، توسعه روابطی جهت محاسبه نرخ نشت گاز طبیعی از خطوط لوله روزمینی و مدفون واقع در شبکه توزیع گاز می‌باشد. با استفاده از شبیه‌سازی عددی به محاسبه میزان نشتی گاز طبیعی از یک سوراخ کوچک واقع بر قسمت فوقانی سطح جانبی لوله‌ای در خطوط توزیع گاز طبیعی روزمینی و مدفون در خاک پرداخته شده است. هندسه مورد بررسی توسط نرم‌افزار گمبیت طراحی و شبکه‌بندی شده و سپس حل عددی توسط نرم‌افزار فلوئنت انجام شده است. سیال موردنظر، تراکم‌پذیر با رفتار گاز ایده‌آل و جریان به صورت آشفته و پایا می‌باشد و خاک، به صورت یک ناحیه متخلف در نظر گرفته شده است. نتایج به دست آمده نشان می‌دهد که در حالت لوله روزمینی، در سوراخ‌های با قطر کوچک سرعت تخلیه به سرعت صوت رسیده و به اصطلاح خفگی در جریان رخ می‌دهد. هم‌چنین نتایج حاصل از برآش داده‌ها نشان دهنده این است که دبی حجمی گاز نشت‌یافته، یک رابطه خطی با فشار، رابطه درجه دو با قطر سوراخ و رابطه درجه چهار با نسبت قطر سوراخ به قطر لوله دارد. برای لوله‌های زیرزمینی، در سوراخ‌های با قطر کوچک به نسبت سوراخ‌های بزرگ، عمق نفوذ گاز در داخل خاک بیشتر اما دبی حجمی گاز نشت‌یافته کمتر می‌باشد. در انتهای دو رابطه هم‌بسته مفید برای محاسبه نشت گاز طبیعی از یک سوراخ کوچک ایجاد شده بر سطح خارجی لوله‌های روزمینی و زیرزمینی ارائه شده است.

**واژگان کلیدی:** گاز طبیعی، خطوط لوله توزیع گاز، نشتی، سوراخ، لوله مدفون، شبیه‌سازی عددی، فلوئنت

## لیست مقالات مستخرج از پایان نامه

### الف - مقالات پذیرفته / چاپ شده در مجلات علمی معتبر داخلی و بین المللی

نویسنده‌گان	نام مجله، سال انتشار	عنوان مقاله
<sup>۱</sup> A. Ebrahimi-Moghadam <sup>۲</sup> M. Farzaneh-Gord <sup>۳</sup> M. Deymi-Dashtebayaz	Journal of Natural Gas Science and Engineering, 2016	Correlations for Estimating Natural Gas Leakage from Above-Ground and Buried Urban Distribution Pipelines
<sup>۱</sup> امیر ابراهیمی مقدم <sup>۲</sup> محمود فرزانه گرد <sup>۳</sup> مهردی دیمی دشت بیاض	نشریه پژوهشی مهندسی مکانیک-انجمن مهندسان مکانیک ایران (ISME)، ۱۳۹۵	توسعه یک رابطه برای محاسبه نشت گاز طبیعی از خطوط توزیع گاز مدفون
<sup>۱</sup> امیر ابراهیمی مقدم <sup>۲</sup> محمود فرزانه گرد <sup>۳</sup> مهردی دیمی دشت بیاض	نشریه علمی-ترویجی مهندسی شیمی ایران، ۱۳۹۵	شبیه‌سازی دو بعدی نشت گاز طبیعی از خطوط توزیع گاز درون شهری

### ب - مقالات ارائه شده در کنفرانس‌های علمی معتبر داخلی

نویسنده‌گان	مشخصات کنفرانس	عنوان مقاله
<sup>۱</sup> امیر ابراهیمی مقدم <sup>۲</sup> محمود فرزانه گرد <sup>۳</sup> مهردی دیمی دشت بیاض <sup>۴</sup> سید کیوان دانشور <sup>۵</sup> سعید رستگار	سومین کنفرانس ملی و اولین کنفرانس بین المللی پژوهش‌های کاربردی در مهندسی برق، مکانیک و مکاترونیک - تهران - ۱۳۹۴	تحلیل عددی جریان نشتی گاز طبیعی از خطوط توزیع گاز روزمنی با نرم افزار فلوئنت

## فهرست مطالب

۱	فصل اول: دیباچه
۲	۱-۱- مقدمه
۳	۱-۲- خلاصه‌ای از مطالعات پیشین
۴	۱-۳- هدف پژوهش و فرآیند حل
۷	فصل دوم: انتقال و توزیع گاز طبیعی و حوادث مرتبط با آن
۸	۲-۱- مقدمه
۸	۲-۲- گاز طبیعی؛ ترکیبات و مصارف آن
۱۱	۲-۳- انتقال و توزیع گاز طبیعی
۱۲	۳-۱- خطوط لوله اصلی گاز
۱۲	۳-۲- ایستگاه تقلیل فشار گاز برون‌شهری
۱۴	۳-۳- ایستگاه تقلیل فشار گاز درون‌شهری
۱۵	۴-۳- شبکه توزیع گاز شهری
۱۶	۴-۴- گازهای گمشده (به حساب نیامده)
۱۷	۴-۵- نشت گاز

۱۷ .....	۲-۴-۲- دستگاه‌های اندازه‌گیری
۱۸ .....	۳-۴-۲- آسیب‌های شخص ثالث
۱۸ .....	۴-۴-۲- سرقت گاز
۱۸ .....	۵-۲- بررسی پدیده نشت گاز
۱۹ .....	۱-۵-۲- پدیده خفگی
۲۱ .....	۲-۵-۲- حالت‌های مختلف نشت گاز
۲۳ .....	۳-۵-۲- بررسی نظری نشت گاز
۲۵ .....	۴-۵-۲- علت‌های نشت گاز
۲۷ .....	۵-۵-۲- روش‌های نشت‌یابی گاز
۳۱ .....	<b>فصل سوم: مروری بر پژوهش‌های گذشته</b>
۳۲ .....	۱-۳- تاریخچه
۳۹ .....	۲-۳- رابطه هندبوک GPSA
۴۱ .....	<b>فصل چهارم: معادله‌های حاکم و شیوه حل</b>
۴۲ .....	۴-۱- کلیات
۴۲ .....	۴-۲- فرضیات

۴۲	۳-۴- روابط حاکم
۴۴	۱-۳-۴- روابط حاکم بر جریان درون لوله
۴۶	۲-۳-۴- روابط حاکم بر جریان درون خاک
۴۷	۴-۴- مفهوم جریان آشفته و معادله‌های مربوط به آن
۴۸	۱-۴-۴- روش‌های مدل‌سازی آشفتگی
۴۹	۱-۱-۴-۴- روابط حاکم بر لزجت گردابی
۵۰	۲-۱-۴-۴- مدل‌های لزجت گردابی
۵۲	۲-۴-۴- مدل‌سازی آشفتگی در پژوهش حاضر
۵۴	۵-۴- هندسه مورد بررسی و شبکه‌بندی
۵۷	۱-۵-۴- اعتبارسنجی شبکه
۵۸	۶-۴- شرایط مرزی و اولیه
۶۰	۷-۴- شبیه‌سازی خاک
۶۲	۸-۴- فرآیند حل عددی
۶۴	۹-۴- کمیت‌های مهم تأثیرگذار بر میزان نشت گاز طبیعی از خطوط توزیع گاز
۶۵	۱-۹-۴- طول لوله، افت فشار و فشار نقطه ابتدایی
۶۵	۲-۹-۴- قطر لوله و سوراخ

۶۶ .....	۴-۹-۳- دمای خط لوله .....
۶۷ .....	<b>فصل پنجم: نتایج .....</b>
۶۸ .....	۵-۱- معتبرسازی حل .....
۶۹ .....	۵-۲- بررسی کمیت‌های تأثیرگذار بر میزان نشت گاز طبیعی .....
۷۰ .....	۵-۲-۱- بررسی تأثیر قطر لوله و قطر سوراخ بر میزان نشتی .....
۷۴ .....	۵-۲-۲- بررسی تأثیر فشار نقطه ابتدایی بر میزان نشتی .....
۷۸ .....	۵-۲-۳- بررسی توزیع کمیت‌ها در دامنه حل .....
۹۲ .....	۵-۳- ارائه روابطی جهت محاسبه دبی حجمی نشتی .....
۹۷ .....	<b>فصل ششم: نتیجه‌گیری و پیشنهادات .....</b>
۹۸ .....	۶-۱- نتیجه‌گیری .....
۹۹ .....	۶-۲- پیشنهادهایی برای پژوهش‌های آینده .....
۱۰۰ .....	<b>فهرست مراجع .....</b>

## فهرست آشکال

شکل ۲-۱- طرح‌واره شبکه توزیع گاز طبیعی [۸]	۱۲
شکل ۲-۲- خطوط لوله اصلی انتقال گاز [۹]	۱۳
شکل ۲-۳- بخشی از ایستگاه تقلیل فشار گاز برون‌شهری [۱۰]	۱۴
شکل ۲-۴-الف- ایستگاه تقلیل فشار گاز درون‌شهری از نوع کابینتی [۱۱]	۱۵
شکل ۲-۴-ب- ایستگاه تقلیل فشار گاز درون‌شهری از نوع مسطح [۱۱]	۱۵
شکل ۲-۵- طرح‌واره انشعاب لوله گاز قبل از درب منازل به همراه تعديل‌کننده فشار آن	۱۶
	[۱۲]
شکل ۲-۶- طرح‌واره نشت گاز طبیعی [۱۴]	۱۹
شکل ۲-۷-الف- پروفیل فشار در نازل همگرا [۱۷]	۲۱
شکل ۲-۷-ب- پروفیل دبی جرمی در نازل همگرا [۱۷]	۲۱
شکل ۲-۸-الف- طرح‌واره مدل سوراخ در نشت گاز	۲۲
شکل ۲-۸-ب- طرح‌واره مدل لوله در نشت گاز	۲۲
شکل ۲-۹- ایجاد خوردگی بر سطح لوله [۲۲]	۲۵
شکل ۲-۱۰-الف- تأثیر سرعت جریان درون لوله بر میزان سایش داخلی [۲۳]	۲۶

..... شکل ۲-۱۰-۲- تأثیر خم لوله بر میزان سایش داخلی [۲۳]	۲۶
..... شکل ۲-۱۱-۲- نشتیابی بر اساس صدای گاز [۲۵]	۲۷
..... شکل ۲-۱۲-۲- نشتیابی به وسیله کف صابون [۲۶]	۲۸
..... شکل ۳-۱-۳- مدل مورد بررسی در هندبوک GPSA جهت ارائه رابطه دبی حجمی تخلیه شده به محیط [۴۹]	۴۰
..... شکل ۴-۱-۴- مقایسه بین مدل‌های آشفتگی مختلف [۵۸]	۵۲
..... شکل ۴-۲-۴- محیط حل در حالت لوله روزمینی	۵۵
..... شکل ۴-۳-۴- محیط حل در حالت لوله مدفون در خاک	۵۵
..... شکل ۴-۴-۴- شبکه‌بندی محیط حل در حالت لوله روزمینی	۵۶
..... شکل ۴-۵-۴- شبکه‌بندی محیط حل در حالت لوله مدفون در خاک	۵۷
..... شکل ۵-۱-۱- توزیع فشار مطلق پیرامون سوراخ برای لوله روزمینی با $D = 163/6 \text{ mm}$ و $p_1 = 5 \text{ bar}$ و $d = 10 \text{ mm}$	۷۹
..... شکل ۵-۲-۱- توزیع فشار مطلق پیرامون سوراخ برای لوله روزمینی با $D = 163/6 \text{ mm}$ و $p_1 = 5 \text{ bar}$ و $d = 30 \text{ mm}$	۷۹
..... شکل ۵-۳-۱- توزیع سرعت پیرامون سوراخ برای لوله روزمینی با $D = 163/6 \text{ mm}$ و $p_1 = 5 \text{ bar}$ و $d = 10 \text{ mm}$	۸۰
..... شکل ۵-۴-۱- توزیع عدد مانح پیرامون سوراخ برای لوله روزمینی با $D = 163/6 \text{ mm}$ و $p_1 = 5 \text{ bar}$ و $d = 10 \text{ mm}$	۸۱

شکل ۵-۵- توزیع سرعت پیرامون سوراخ برای لوله روزمینی با  $D = 163/6$  mm و  $p_1 = 5$  bar و  $d = 30$  mm ..... ۸۱

شکل ۵-۶- بردارهای سرعت پیرامون سوراخ برای لوله روزمینی با  $D = 163/6$  mm و  $p_1 = 5$  bar و  $d = 10$  mm ..... ۸۲

شکل ۵-۷- بردارهای سرعت پیرامون سوراخ برای لوله روزمینی با  $D = 163/6$  mm و  $p_1 = 5$  bar و  $d = 30$  mm ..... ۸۲

شکل ۵-۸-الف- توزیع فشار مطلق در لوله مدفون و بزرگنمایی آن در پیرامون سوراخ در صفحه xy گذرنده از مرکز سوراخ ( $D = 163/6$  mm,  $p_1 = 5$  bar و  $d = 10$  mm) ..... ۸۳

شکل ۵-۸-ب- توزیع فشار مطلق در لوله مدفون و بزرگنمایی آن در پیرامون سوراخ در صفحه yz گذرنده از مرکز سوراخ ( $D = 163/6$  mm,  $p_1 = 5$  bar و  $d = 10$  mm) ..... ۸۴

شکل ۵-۹-الف- توزیع فشار مطلق در لوله مدفون و بزرگنمایی آن در پیرامون سوراخ در صفحه xy گذرنده از مرکز سوراخ ( $D = 163/6$  mm,  $p_1 = 5$  bar و  $d = 30$  mm) ..... ۸۵

شکل ۵-۹-ب- توزیع فشار مطلق در لوله مدفون و بزرگنمایی آن در پیرامون سوراخ در صفحه yz گذرنده از مرکز سوراخ ( $D = 163/6$  mm,  $p_1 = 5$  bar و  $d = 30$  mm) ..... ۸۵

شکل ۵-۱۰-الف- توزیع سرعت در لوله مدفون و بزرگنمایی آن در پیرامون سوراخ در صفحه xy گذرنده از مرکز سوراخ ( $D = 163/6$  mm,  $p_1 = 5$  bar و  $d = 10$  mm) ..... ۸۶

شکل ۵-۱۰-ب- توزیع سرعت در لوله مدفون و بزرگنمایی آن در پیرامون سوراخ در صفحه yz گذرنده از مرکز سوراخ ( $D = 163/6$  mm,  $p_1 = 5$  bar و  $d = 10$  mm) ..... ۸۷

شکل ۵-۱۱-الف- توزیع سرعت در لوله مدفون و بزرگنمایی آن در پیرامون سوراخ در صفحه xy گذرنده از مرکز سوراخ ( $D = 163/6$  mm,  $p_1 = 5$  bar و  $d = 30$  mm) ..... ۸۸

شکل ۵-۱۱-ب- توزیع سرعت در لوله مدفون و بزرگنمایی آن در پیرامون سوراخ در صفحه yz گذرنده از مرکز سوراخ ( $D = 163/6$  mm,  $p_1 = 5$  bar و  $d = 30$  mm) ..... ۸۸

شکل ۵-۱۲-الف- توزیع عدد ماخ در لوله مدفون و بزرگنمایی آن در پیرامون سوراخ در صفحه xy گذرنده از مرکز سوراخ ( $D = 163/6$  mm,  $p_1 = 5$  bar و  $d = 30$  mm) ..... ۸۹

شکل ۱۲-۵-ب- توزیع عدد ماخ در لوله مدفون و بزرگنمایی آن در پیرامون سوراخ در صفحه yz گذرنده از مرکز سوراخ ( $p_1=5$  bar و  $d = 30$  mm,  $D = 163/6$  mm) ..... ۸۹

شکل ۱۳-۵-الف- مسیر جریان خروجی از سوراخ برای لوله مدفون در نمای سه بعدی ..... (۹۰ .....  $p_1=3$  bar و  $d = 30$  mm,  $D = 163/6$  mm)

شکل ۱۳-۵-ب- مسیر جریان خروجی از سوراخ برای لوله مدفون در نمای صفحه xy ..... (۹۱ .....  $p_1=3$  bar و  $d = 30$  mm,  $D = 163/6$  mm)

شکل ۱۳-۵-پ- مسیر جریان خروجی از سوراخ برای لوله مدفون در نمای صفحه zy ..... (۹۱ .....  $p_1=3$  bar و  $d = 30$  mm,  $D = 163/6$  mm)

## فهرست نمودارها

نمودار ۱-۳- دبی حجمی نشت یافته بر حسب قطر سوراخ در تحقیق منتیل و همکاران [۳۸]	۳۴
نمودار ۲-۳- دبی حجمی نشت یافته بر حسب قطر سوراخ و فشار در تحقیق لو و همکاران [۴۲]	۳۶
نمودار ۴-الف- همگرایی دبی جرمی خروجی از سوراخ برای لوله روزمینی ..... ۶۳	۶۳
نمودار ۴-ب- همگرایی دبی جرمی خروجی از سوراخ برای لوله مدفون ..... ۶۴	۶۴
نمودار ۵- مقایسه دبی حجمی نشتی بین پژوهش حاضر (در حالت روزمینی)، پژوهش منتیل و فرمول GPSA ..... ۶۹	۶۹
نمودار ۲-۵- تغییرات دبی حجمی نشتی بر حسب قطر سوراخ بهازای مقادیر مختلف فشار ورودی (لوله روزمینی به قطر ۱۱۴/۶ میلی‌متر) ..... ۷۱	۷۱
نمودار ۳-۵- تغییرات دبی حجمی نشتی بر حسب قطر سوراخ بهازای مقادیر مختلف فشار ورودی (لوله روزمینی به قطر ۱۶۳/۶ میلی‌متر) ..... ۷۱	۷۱
نمودار ۴-۵- تغییرات دبی حجمی نشتی بر حسب قطر سوراخ بهازای مقادیر مختلف فشار ورودی (لوله روزمینی به قطر ۲۰۴/۶ میلی‌متر) ..... ۷۲	۷۲
نمودار ۵-۵- تغییرات دبی حجمی نشتی بر حسب قطر سوراخ بهازای مقادیر مختلف فشار ورودی (لوله مدفون به قطر ۱۱۴/۶ میلی‌متر) ..... ۷۳	۷۳
نمودار ۵-۶- تغییرات دبی حجمی نشتی بر حسب قطر سوراخ بهازای مقادیر مختلف فشار ورودی (لوله مدفون به قطر ۱۶۳/۶ میلی‌متر) ..... ۷۳	۷۳
نمودار ۷-۵- تغییرات دبی حجمی نشتی بر حسب قطر سوراخ بهازای مقادیر مختلف فشار ورودی (لوله مدفون به قطر ۲۰۴/۶ میلی‌متر) ..... ۷۴	۷۴

نمودار ۸-۵- تغییرات دبی حجمی نشتی بر حسب فشار ورودی بهازای مقادیر مختلف قطر سوراخ (لوله روزمینی به قطر ۱۱۴/۶ میلی‌متر) ..... ۷۵
نمودار ۹-۵- تغییرات دبی حجمی نشتی بر حسب فشار ورودی بهازای مقادیر مختلف قطر سوراخ (لوله روزمینی به قطر ۱۶۳/۶ میلی‌متر) ..... ۷۵
نمودار ۱۰-۵- تغییرات دبی حجمی نشتی بر حسب فشار ورودی بهازای مقادیر مختلف قطر سوراخ (لوله روزمینی به قطر ۲۰۴/۶ میلی‌متر) ..... ۷۶
نمودار ۱۱-۵- تغییرات دبی حجمی نشتی بر حسب فشار ورودی بهازای مقادیر مختلف قطر سوراخ (لوله مدفون به قطر ۱۱۴/۶ میلی‌متر) ..... ۷۷
نمودار ۱۲-۵- تغییرات دبی حجمی نشتی بر حسب فشار ورودی بهازای مقادیر مختلف قطر سوراخ (لوله مدفون به قطر ۱۶۳/۶ میلی‌متر) ..... ۷۷
نمودار ۱۳-۵- تغییرات دبی حجمی نشتی بر حسب فشار ورودی بهازای مقادیر مختلف قطر سوراخ (لوله مدفون به قطر ۲۰۴/۶ میلی‌متر) ..... ۷۸
نمودار ۱۴-۵- مقایسه بین نتایج حاصل از رابطه (۱-۵) و پژوهش منتیل و همکاران ... ۹۳
نمودار ۱۵-۵- مقایسه بین نتایج حاصل از رابطه (۱-۵) و فرمول (برای $D=114/6 \text{ mm}$ و $p_1=4 \text{ bar}$ ) ..... ۹۴
نمودار ۱۶-۵- مقایسه بین نتایج حاصل از رابطه (۲-۵) و شبیه‌سازی عددی (برای $D=204/6 \text{ mm}$ ) ..... ۹۵
نمودار ۱۷-۵- مقایسه بین نتایج حاصل از رابطه (۱-۵) و شبیه‌سازی عددی (برای $D=204/6 \text{ mm}$ ) ..... ۹۵

## فهرست جداول

جدول ۱-۱- علل حوادث به وجود آمده در خطوط گاز طبیعی [۱] .....	۲
جدول ۱-۲- پیامدهای به وجود آمده ناشی از آسیب دیدن خطوط گاز طبیعی [۱] .....	۲
جدول ۲-۱- درصد مولی اجزاء تشکیل دهنده گاز ارسالی به خطوط انتقال گاز پالایشگاه خانگیران [۶] .....	۱۰
جدول ۴-۱- مدل‌های آشتفتگی مختلف جهت حل جریان [۵۸] .....	۴۸
جدول ۴-۲- تأثیر تعداد مش بر دبی جرمی گاز نشت یافته (برای حالت روز مینی) .....	۵۸
جدول ۴-۳- نوع شرایط مرزی مورد استفاده در پژوهش .....	۵۹
جدول ۴-۴- خواص خاک مورد استفاده در پژوهش حاضر [۶۲] .....	۶۱

## فهرست علائم و اختصارات

توضیح	علامت	نمره	توضیح	علامت	نمره
<b>علامی انگلیسی</b>					
سرعت (m/s)	$u$	۲۷	سرعت صوت (m/s)	$a$	۱
حجم مخصوص ( $m^3/kg$ )	$v$	۲۸	ضریب تصحیح وزن مخصوص گاز	$C_g$	۲
جابجایی (m)	$x$	۲۹	ظرفیت حرارتی فشار ثابت (J/kgK)	$c_p$	۳
ضریب تراکم پذیری گاز	$Z$	۳۰	ظرفیت حرارتی حجم ثابت (J/kgK)	$c_v$	۴
<b>زیروندها</b>					
ابتدای لوله	$l$	۳۱	نسبت فشار بحرانی	CPR	۵
محیط (اتمسفر)	$a$	۳۲	قطر سوراخ (mm)	$d$	۶
پایه (مبنا)	$b$	۳۳	قطر سوراخ (in)	$d_{orf}$	۷
بحرانی	$cr$	۳۴	قطر لوله (mm)	$D$	۸
خروجی	$e$	۳۵	قطر لوله (in)	$D_p$	۹
مؤثر	$eff$	۳۶	انرژی کل (J)	$E$	۱۰
سیال عبوری از بین ذرات جامد محیط متخلخل	$f$	۳۷	ضریب اصطکاک	$f$	۱۱
جهات دلخواه	$i, j, l$	۳۸	ضریب تصحیح دما	$F_{tf}$	۱۲
ذرات جامد محیط متخلخل	$s$	۳۹	شتاب جاذبه ( $m/s^2$ )	$g$	۱۳
آشفتگی	$t$	۴۰	وزن مخصوص	$G$	۱۴
<b>علامی یونانی</b>			آنالپی محسوس (J/kg)	$h$	۱۵
نفوذپذیری ( $m^2/s$ )	$\alpha$	۴۱	فشار (in Hg)	$H$	۱۶
ثبت اوریفیس	$\beta = d/D$	۴۲	ضریب هدایت حرارتی (W/mK)	$k$	۱۷
تابع دلتای کرونیکر	$\delta$	۴۳	طول لوله (m)	$L$	۱۸
نرخ اتلاف آشفتگی (J/kg s)	$\varepsilon$	۴۴	عدد ماخ	Ma	۱۹
زبری مطلق لوله (m)	$\epsilon$	۴۵	فشار (bar)	$p$	۲۰
نسبت ظرفیت حرارتی	$\gamma = c_p/c_v$	۴۶	عدد پرانتل	Pr	۲۱
میزان تخلخل	$\gamma'$	۴۷	دبی حجمی نشتری ( $Nm^3/hr$ )	$Q$	۲۲
انرژی جنبشی آشفتگی (J/kg)	$\dot{k}$	۴۸	دبی حجمی نشتری ( $ft^3/day$ )	$Q_d$	۲۳
ویسکوزیته (kg/ms)	$\mu$	۴۹	ثابت گاز (J/kgK)	$R$	۲۴
چگالی ( $kg/m^3$ )	$\rho$	۵۰	عدد رینولدز	Re	۲۵
تانسور تنش	$\bar{\tau}$	۵۱	دما (K)	$T$	۲۶

فصل اول

دیاچه

## ۱-۱- مقدمه

کشور ایران با داشتن تقریباً ۱۵ درصد از منابع گاز طبیعی<sup>۱</sup> جهان، از نظر حجم منابع گاز طبیعی در سطح جهان مقام دوم را دارا می‌باشد. امروز با توجه به محدودیت منابع نفتی در مقایسه با گاز طبیعی، استفاده از گاز طبیعی برای مصارف سوختی و همچنین به عنوان ماده اولیه صنایع پتروشیمی رو به افزایش است و در نتیجه توجه به خطوط لوله انتقال گاز و حوادث مربوط به آن، از اهمیت ویژه‌ای برخوردار می‌شود [۱].

هر جا مواد سمی یا قابل اشتعال وجود داشته باشد، آنجا احتمال حادثه و یا آزاد شدن ماده سمی است. حتی آزاد شدن مقدار کمی ماده سمی می‌تواند باعث آسیب به افراد و یا محیط اطراف شود [۱]. طبق آمار خطوط لوله گاز اروپا (EGIG)، علت حوادث به وجود آمده به شرح جدول (۱-۱) می‌باشد.

جدول ۱-۱- علل حوادث به وجود آمده در خطوط گاز طبیعی [۱]

درصد فراوانی	نوع حادثه
%۳۵	برخورد اشیاء و تجهیزات به خطوط لوله
%۳۰	خطای انسانی
%۳۰	بهره‌برداری نادرست
%۵	سایر عوامل

و پیامدهای به وجود آمده از حوادث طبق EGIG مطابق جدول (۲-۱) می‌باشد.

جدول ۱-۲- پیامدهای به وجود آمده ناشی از آسیب دیدن خطوط گاز طبیعی [۱]

درصد فراوانی	نوع پیامد
%۵۰	انتشار گازهای سمی
%۳۰	انفجار
%۲۰	آتش

<sup>۱</sup> Natural Gas

سالانه میزان قابل توجهی گاز به دلایل متفاوتی هدر می‌رود. از جمله عواملی که باعث هدر رفتن و گم شدن گاز می‌شود می‌توان به خطاهای اندازه‌گیری (شامل خطای ناشی از اوپراتور و دستگاه‌های اندازه-گیری)، نشت گاز و سرقت گاز نام برد [۲]. از بین عوامل مذکور، نشت گاز به دلیل این که بالاترین درصد را به خود اختصاص می‌دهد مهم‌ترین عامل در بین این عوامل می‌باشد. بر این اساس تحقیق‌های زیادی تا کنون در زمینه شناسایی محل و محاسبه مقدار گاز نشت یافته از خطوط انتقال و توزیع گاز انجام شده است.

چنانچه مشخص است، در زمینه محاسبه نشت گاز مجموعه عواملی همچون تراکم‌پذیر بودن گاز، سرعت بالای گاز هنگام خروج از خط لوله و فشار بالا باعث پیچیدگی حل و سختی پیش‌بینی متغیر-های مختلف در میدان جریان می‌گردد. با توجه به موارد مذکور، حل چنین فرآیندی از یک سو نیازمند مدل‌های ترمودینامیکی کارآمد جهت پیش‌بینی خواص گاز تراکم‌پذیر در فشارهای بالاست و از سوی دیگر در گروه مدل‌های دینامیکی سیالات جهت پیش‌بینی سرعت و میدان حرکت می‌باشد. حل کامل این فرآیند از ترکیب این دو گروه عمدۀ از مدل‌سازی که در طی زمان به یکدیگر مرتبط می‌باشد، حاصل خواهد شد.

مطالعات زیادی در زمینه محاسبه میزان نشت گاز صورت پذیرفته است که در سه گروه تجربی، تحلیلی و عددی تقسیم‌بندی می‌شوند. بیش‌تر مطالعات در حالت‌های تحلیلی و عددی صورت پذیرفته است.

## ۱-۲- خلاصه‌ای از مطالعات پیشین

اکثر تحقیقات صورت گرفته لوله آسیبدیده حاوی گاز را به صورت یک مخزن بزرگ در نظر گرفته‌اند. هم‌چنین مدل‌سازی لوله را به صورت شبیه یک بعدی انجام داده‌اند که جریان گاز فقط به صورت محوری در مخزن جریان داشته و از سوراخی در انتهای آن به محیط بیرون تخلیه می‌شود. همچنین در این

مدل‌ها فرض بر این است که تمام گاز داخل لوله از سوراخ خارج می‌شود؛ به عبارت دیگر در آن‌ها، طولی برای لوله بعد از مقطع آسیب‌دیده در نظر گرفته نشده است. در نظر نگرفتن طول لوله بعد از سوراخ، باعث دور شدن این مدل‌ها از واقعیت می‌گردد. به طوری که تأثیر این مورد در سوراخ‌های با قطر بزرگ بسیار محسوس‌تر می‌باشد؛ زیرا در صورتی که قطر سوراخ تقریباً بزرگ باشد، برگشت جریان از سمت پایین‌دست سوراخ بیش‌تر می‌گردد. علاوه بر این، تا کنون هیچ تحقیقی در زمینه محاسبه نشت گاز در خطوط لوله گاز مدفون در خاک انجام نشده است. در این میان، نیاز به رابطه‌ای بر حسب تمام متغیرهای مؤثر بر نشت گاز که بتوان با استفاده از آن نرخ نشت گاز را محاسبه نمود نیز احساس می‌گردد؛ زیرا در هیچ یک از تحقیقاتی‌های گذشته رابطه‌ای بر حسب تمام متغیرهای مؤثر، ارائه نشده است.

بر اساس موارد یاد شده، در ابتدای این پژوهش به شبیه‌سازی عددی جریان گاز نشت‌یافته از خطوط توزیع گاز طبیعی در دو حالت لوله روزمینی و لوله مدفون در خاک پرداخته خواهد شد و هر یک از این دو حالت نیز به صورت دو بعدی و سه بعدی مدل‌سازی می‌شوند. در انتهای نیز به ارائه یک رابطه همبسته برای محاسبه نشت گاز در حالت‌های روزمینی و مدفون پرداخته خواهد شد.

### ۱-۳- هدف پژوهش و فرآیند حل

در مطالعه حاضر، هدف محاسبه میزان دبی گاز نشت‌یافته از سوراخی واقع بر یک لوله در خطوط توزیع گاز طبیعی و تعیین یک رابطه ساده برای محاسبه آن می‌باشد. با در اختیار داشتن فرمولی برای محاسبه دبی گاز نشت‌یافته، به راحتی می‌توان میزان هدر رفت گاز از یک سوراخ در شرایط مورد نظر را تعیین نمود. قابل توجه است که بررسی‌های انجام شده، برای دو حالت لوله‌های رو زمینی و لوله‌های مدفون صورت گرفته است.

در این پژوهش فرضیات عمدۀ ذیل لحاظ شده است:

- جریان داخل لوله به صورت بی دررو<sup>۲</sup> در نظر گرفته شده است (از انتقال حرارت بین محیط و لوله صرف نظر شده است).

- با توجه به عدد رینولدز بحرانی<sup>۳</sup> در جریان داخل لوله، جریان سیال به صورت آشفته<sup>۴</sup> می باشد.

- گاز طبیعی، متان خالص فرض شده و رفتار گاز به صورت ایدهآل در نظر گرفته شده است.

- جریان تراکم پذیر در نظر گرفته شده و فرآیند پایا فرض شده است.

به منظور محاسبه دبی گاز نشست یافته از سوراخ، برآورد خواص گاز در مقطع آسیب دیده ضروری می - نماید. برای دست یابی به این مهم معادلات حاکم بر مسئله به طور همزمان در یک دستگاه چهار معادله - چهار مجھول غیرخطی و با استفاده از روش های عددی تکرار شونده حل می شوند. برای دست یابی به هدف مذکور، معادلات ذیل باید به صورت همزمان در کل دامنه حل (در سراسر لوله) حل گردد:

(۱) معادله بقای جرم (معادله پیوستگی);

(۲) معادله بقای اندازه حرکت (معادله مومنتوم<sup>۵</sup>);

(۳) معادله بقای انرژی (معادله انرژی);

(۴) معادله حالت گاز ایدهآل.

جهت حل همزمان این چهار معادله از روش عددی حجم محدود توسط نرم افزار فلوئنت<sup>۶</sup> استفاده شده است. به این منظور دامنه حل به صورت گره های محاسباتی شبکه بندی شده (مش بندی<sup>۷</sup>) و معادلات مذکور گسسته سازی شده و در تمامی این گره های محاسباتی حل شده است. جهت ارتباط بین فشار

---

<sup>2</sup> Adiabatic

<sup>3</sup> Critical Reynolds Number ( $Re_c$ )

<sup>4</sup> Turbulent

<sup>5</sup> Momentum

<sup>6</sup> Fluent

<sup>7</sup> Mesh

و سرعت (کوپلینگ) از الگوریتم سیمپل<sup>۸</sup> استفاده شده است. جزئیات بیشتر و دقیق‌تر فرضیات و مراحل حل عددی در فصول بعدی به تفصیل شرح داده خواهد شد.

---

<sup>8</sup> Simple

## فصل ۵۹

انتقال و توزیع گاز طبیعی و  
حوادث مرتبط با آن

## ۱-۲ - مقدمه

گاز طبیعی از ترکیب اجزاء مختلفی تشکیل شده و در زندگی امروز به عنوان یکی از مهم‌ترین سوخت-ها نقش بسیار مهمی در زندگی بشر داشته و از زمانی که مورد استخراج قرار می‌گیرد تا زمانی که به-دست مصرف‌کنندگان می‌رسد مسافت بسیار طولانی را پیموده و جهت قبل استفاده بودن توسط مصرف‌کنندگان شهری، عملیات مختلفی روی آن انجام می‌پذیرد. در این فصل ابتدا به معرفی اجزاء تشکیل دهنده گاز طبیعی و سپس به معرفی شرایط خطوط انتقال و توزیع گاز و عملیاتی که روی آن انجام می‌پذیرد پرداخته خواهد شد. در انتهای نیز حوادثی که ممکن است در خطوط لوله گاز رخ دهد، تشریح خواهد شد.

## ۲-۲ - گاز طبیعی؛ ترکیبات و مصارف آن

گاز طبیعی که معمولاً گاز گفته می‌شود نوعی سوخت فسیلی گازی شکل است. گاز طبیعی سوختی است که معمولاً اثرات زیان‌آور کمتری نسبت به سوخت‌های فسیلی دارد و جزء منابع تجدیدناپذیر می‌باشد [۳].

در حال حاضر ۲۰ درصد مصرف جهانی انرژی را گاز طبیعی تشکیل می‌دهد که با آهنگ ۲/۴ درصد در حال رشد است [۳].

برای شناسایی موقعیت گاز در بین دیگر منابع انرژی، ابتدا منابع انرژی را به صورت زیر دسته‌بندی می‌کنیم:

الف- منابع انرژی فسیلی (همچون انرژی نفت، گاز، زغال‌سنگ و ...)

ب- منابع انرژی غیرفسیلی (همچون انرژی خورشیدی، انرژی هسته‌ای، انرژی باد، انرژی آب و ...)

دسته‌بندی دیگری از نظر تجدیدپذیری و تجدیدناپذیری انرژی‌ها وجود دارد که انرژی‌های خورشید، باد و آب را در گروه انرژی‌های تجدیدپذیر و مابقی را در گروه انرژی‌های تجدیدناپذیر دسته‌بندی می‌کند [۴].

ذخایر نفت و گاز از مهم‌ترین منابع تأمین انرژی در جهان هستند. یکی از کشورهایی که سهم عمدۀ ای از ذخایر نفت و گاز جهان را داراست، ایران است. ذخایر شناخته‌شده ایران در برابر کل ذخایر جهان رقم قابل توجهی است و از جانب دیگر ایران با حدود ۱۵٪ از منابع گاز جهان، پس از روسیه با حدود ۲۶٪ از کل منابع گازی دنیا، رتبه دوم جغرافیای گاز جهانی را دارد [۴].

میلیون‌ها سال قبل، گاز طبیعی و نفت خام در اثر تجزیه و فاسد شدن گیاهان و اجسام حیوانات در ته دریاها و اقیانوس‌های قدیمی به وجود آمد. بخش اعظم این مواد ارگانیک در هوا تجزیه (اکسیده) و وارد جو شد. ولی بخشی دیگر قبل از تجزیه، مدفون و یا وارد آب‌های راکد و فاقد اکسیژن شده و از اکسیده شدن آن‌ها جلوگیری به عمل آمد.

گاز طبیعی عمدتاً از متان ( $\text{CH}_4$ ) – یعنی ساده‌ترین نوع هیدروکربن – و هیدروکربن‌های پیچیده‌تر و سنگین‌تری چون اتان ( $\text{C}_2\text{H}_6$ ) پروپان ( $\text{C}_3\text{H}_8$ ) و بوتان ( $\text{C}_4\text{H}_{10}$ ) تشکیل شده است. همان‌طور که اشاره شد بخش عمدۀ گاز طبیعی را متان تشکیل می‌دهد و پس از آن اتان سهم بیش‌تری را نسبت به سایر عناصر تشکیل‌دهنده دارا می‌باشد [۵]. حال آن‌که گازهای سنگین‌تر، اجزای بسیار کوچکی را در ترکیب گاز طبیعی شامل می‌شوند. همچنین ترکیباتی از قبیل  $\text{CO}_2$ ,  $\text{N}_2$ ,  $\text{H}_2\text{S}$  نیز همراه گاز طبیعی یافت می‌شوند که درصد آن‌ها در مخازن مختلف و حتی در قسمت‌های مختلف از یک مخزن، با یکدیگر متفاوت است. همچنین آب نیز همیشه با گاز طبیعی استخراج‌شده از مخازن همراه است که در پالایشگاه‌ها در بخشی بهنام واحد نمودائی، آب و ترکیب‌های مزاحم که سبب پایین آوردن ارزش حرارتی گاز شده و همچنین مشکلاتی در انتقال و مصرف گاز به وجود می‌آورند، از گاز طبیعی تفکیک می‌شوند و پس از آن، گاز به خطوط انتقال و در نهایت به مصرف‌کنندگان تحویل می‌شود. در این

خصوص به عنوان مثال نمونه‌ای از گاز پالایشگاه‌های ایران همچون خانگیران شامل تقریباً ۹۸٪ متان می‌باشد. جدول (۱-۲) نشان دهنده درصد اجزاء تشکیل دهنده گاز طبیعی پالایشگاه خانگیران می‌باشد.

جدول ۱-۲- درصد مولی اجزاء تشکیل دهنده گاز ارسالی به خطوط انتقال گاز پالایشگاه گاز خانگیران [۶]

جزء	فمول شیمیایی	درصد مولی (%)
متان	$\text{CH}_4$	۹۸/۶۴۰
اتان	$\text{C}_2\text{H}_6$	۰/۵۹۳
پروپان	$\text{C}_3\text{H}_8$	۰/۰۶۵
ایزو-بوتان	$\text{C}_4\text{H}_{10}$	۰/۰۱۵
بوتان-n	$\text{C}_4\text{H}_{10}$	۰/۰۳۴
ایزو-پنتان	$\text{C}_5\text{H}_{12}$	۰/۰۲۶
+ $\text{C}_6$	+ $\text{C}_6$	۰/۱۲۵
نیتروژن	$\text{N}_2$	۰/۴۲۸
کربن دی اکسید	$\text{CO}_2$	۰/۰۵۵
درصد کل		۱۰۰٪=

عرضه و مصرف جهانی سوخت‌های فسیلی اعم از نفت، زغال‌سنگ و گاز طبیعی، همچنین روند کاهش ذخایر سوخت‌های زوال‌پذیر به دلیل استفاده دائمی از آن‌ها، همواره مورد بحث و نگرانی محافل انرژی در جهان بوده است. سوخت‌های فسیلی تجدیدپذیر نیستند، به عبارت دیگر آن‌ها را نمی‌توان مجدداً تولید نمود و اگر ذخایر هر کدام به اتمام برسد، جهانیان با مشکلات عدیده‌ای روبرو خواهند شد. لذا همواره این نگرانی وجود داشته است که با کاهش یا اتمام ذخایر انرژی‌های فسیلی، آیندگان ما چه منابعی را برای تأمین انرژی خود در اختیار خواهند داشت؟ اولین ایده‌ای که به ذهن مصرف‌کنندگان سوخت‌های فسیلی می‌رسد، اصلاح الگوی مصرف است. به بیانی ما باید منابع انرژی و میزان موجود هر کدام، انواع انرژی و مصارف آن‌ها را به خوبی بشناسیم تا بتوانیم برنامه‌ریزی قابل قبولی برای

صرف بهینه و صرفه‌جویی آن داشته باشیم. به عقیده کارشناسان مسائل انرژی، تقاضای گاز طبیعی در جهان در سال‌های آینده چند برابر خواهد شد و گاز طبیعی، انرژی برتر قرن خواهد بود. بدین لحاظ ابتدا و قبل از هر چیز باید روی مصارف گاز بحث شود تا بتوان برای سوخت‌های جایگزین احتمالی آن بحث نمود. امروزه در جهان، گاز طبیعی دارای مصارف متعدد در چهار گروه زیر است:

- مصرف خانگی گاز طبیعی؛
- مصرف گاز طبیعی برای تأمین انرژی مورد نیاز صنایع بزرگ و نیروگاههای تولید انرژی الکتریکی؛
- مصرف گاز طبیعی به عنوان سوخت اتومبیل؛
- مصرف گاز طبیعی به عنوان خوراک واحدهای فرآیندی پتروشیمی.

از چهار گروه بالا، سه گروه اول گاز را به عنوان سوخت و برای تأمین انرژی نیاز دارند و تنها گروه چهارم از گاز به عنوان خوراک و مواد اولیه استفاده می‌کند [۴].

### ۳-۲- انتقال و توزیع گاز طبیعی

گاز طبیعی به عنوان منبع پاک انرژی هر روزه مورد توجه بیشتری در سطح جهان قرار می‌گیرد و کشور ما به عنوان دومین کشور دارای منابع این نعمت الهی همواره تلاش بسیاری جهت استحصال و پالایش آن نموده است. خطوط لوله حاوی این گاز هم اکنون اکثر نقاط کشور را پوشش داده است و یکی از دغدغه‌های همیشگی، جلوگیری از هدر رفتن آن در طی این مسیر می‌باشد [۷].

گاز طبیعی از استخراج تا مصرف، مسافت‌های طولانی را می‌پیماید و فرآیندهای زیادی روی آن انجام می‌پذیرد. شکل (۱-۲) نشان دهنده طرح‌واره شبکه توزیع گاز طبیعی می‌باشد. در این بخش سعی

شده است اتفاقاتی را که در طول مسیر از خروجی پالایشگاه تا مصرف می‌افتد به اختصار تشریح شود

. [۴]



شکل ۲-۱-۲- طرح واره شبکه توزیع گاز طبیعی [۸]

### ۱-۳-۲- خطوط لوله اصلی گاز

به دلیل وجود مسافت طولانی بین مراکز تولید و مصرف کنندگان گاز طبیعی، خطوط لوله اصلی گاز یا <sup>۹</sup>IGAT عهده‌دار انتقال می‌باشد که در شکل (۲-۲) نمونه‌ای از این خطوط مشاهده می‌شود. برای کاهش قطر لوله خطوط انتقال و سهولت انتقال، مجبور به افزایش فشار گاز هستیم. لذا در مسیر خطوط اصلی انتقال، ایستگاه‌های تقویت فشار گاز با کمپرسورهای عظیم گازی طراحی شده و این وظیفه به عهده این ایستگاه‌ها گذاشته می‌شود. در گذشته فشار خطوط اصلی انتقال حدود ۱۱۰۰ psi در نظر گرفته می‌شد اما امروزه و در طراحی خطوط جدید، فشار ۱۴۰۰ psi در نظر گرفته شده است

. [۴]

<sup>۹</sup> Iranian GAs Transfer



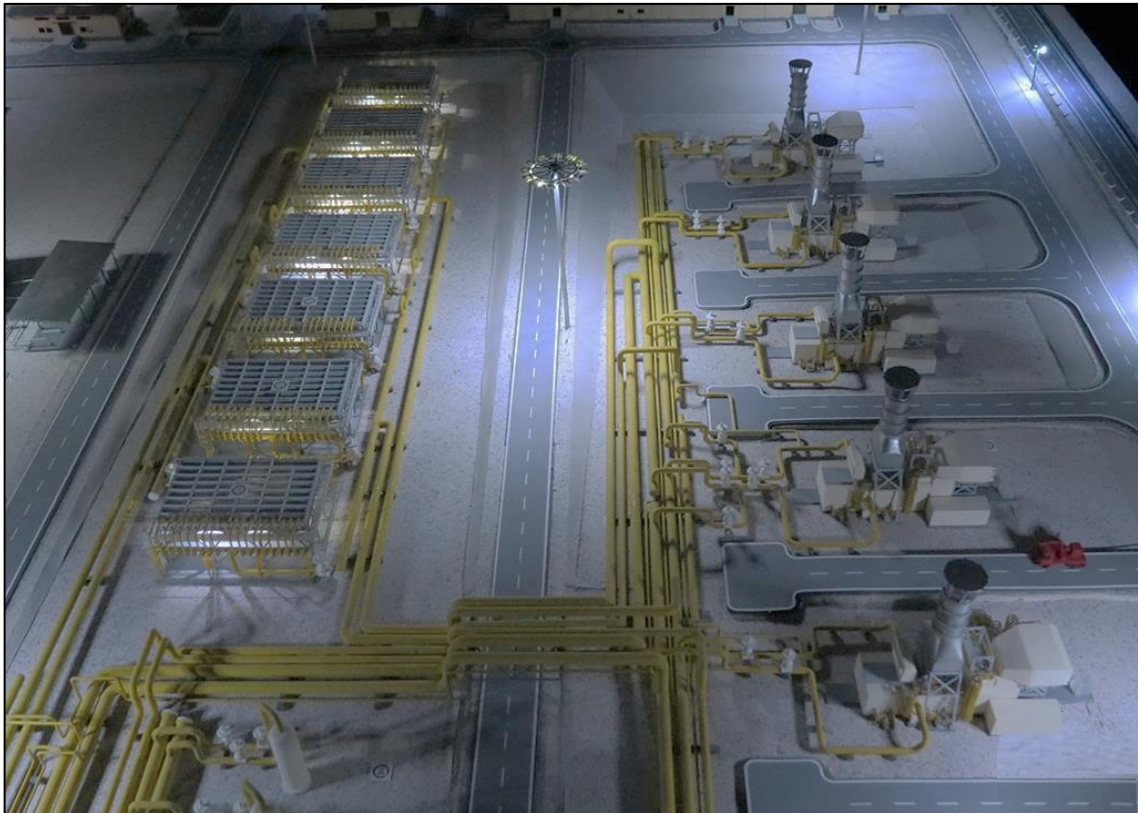
شکل ۲-۲- خطوط لوله اصلی انتقال گاز [۹]

### ۲-۳-۲- ایستگاه تقلیل فشار گاز برون شهری

وظیفه IGAT، تنها انتقال گاز از مراکز تولید به مراکز مصرف از جمله شهرها و حتی مبادی صدور گاز است. به بیان دیگر خطوط IGAT با فشار بسیار بالا نمی‌تواند عهده‌دار توزیع در شهرها و صنایع باشد. لذا به عنوان اولین اقدام بایستی فشار گاز شکسته شود. بدین منظور بعد از گرفتن انشعاب از IGAT ایستگاه تقلیل فشار برون شهری (CGS)<sup>۱۰</sup> در مبادی شهرها طراحی و ساخته می‌شود. CGS توسط تعديل کننده فشار<sup>۱۱</sup>، فشار خط را به حدود ۲۵۰ کاهش می‌دهد و ظرفیت CGS‌ها بستگی به جمعیت شهرها دارد [۴]. شکل (۲-۳) نشان دهنده قسمتی از یک ایستگاه تقلیل فشار گاز طبیعی برون شهری است.

<sup>10</sup> City Gate Station

<sup>11</sup> Regulator



[۱۰] شکل ۳-۲-بخشی از ایستگاه تقلیل فشار گاز برون شهری

### ۳-۳-۲-ایستگاه تقلیل فشار گاز درون شهری

گاز حاصل از خروجی CGS با فشار ۲۵۰ psi وارد شبکه توزیع شهری می‌شود، اما این گاز به لحاظ فشار بالا هنوز مناسب مصرف شهری نیست. لذا بعد از توزیع گاز در کوچه و خیابان‌های شهر و قبل از گرفتن انشعابات محله‌ای بایستی یکبار دیگر فشار آن را کاهش داد. در اینجا ضرورت ایستگاه‌های تقلیل فشار درون شهری (TBS)<sup>۱۲</sup> احساس می‌شود. در شکل‌های (۴-۲-الف) و (۴-۲-ب) به ترتیب تصویری از یک ایستگاه تقلیل فشار گاز طبیعی درون شهری کابینتی و مسطح نشان داده شده است که فشار ورودی این ایستگاه‌ها حدود ۲۵۰ psi و فشار خروجی آن حدود ۶۰ psi است [۴].

<sup>۱۲</sup> Town Border Station



(الف)

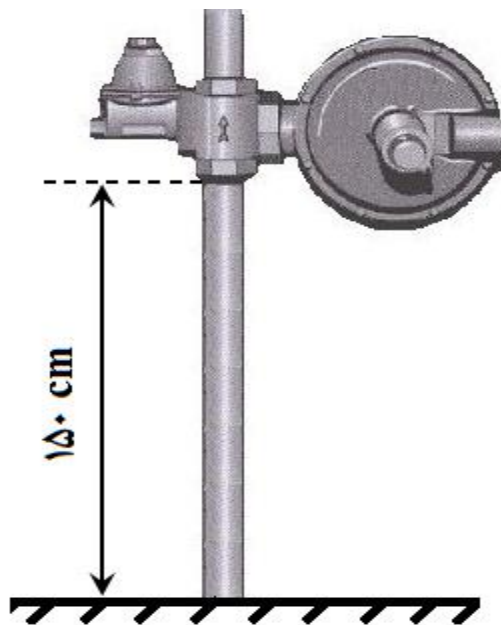


(ب)

شکل ۴-۲- ایستگاه تقلیل فشار گاز درون شهری از نوع، (الف) کابینتی) مسطح [۱۱]

### ۴-۳-۲- شبکه توزیع گاز شهری

خروجی TBS‌ها با فشاری در حد ۶۰ psi در شبکه‌ای مجزا در محله‌ها توزیع و انشعاب مصرف‌کنندگان تا درب منازل به ارتفاعی حدود ۱۵۰ cm نصب می‌شود [۴]. طرح‌واره‌ای از تعمیل-کننده گازی که قبل از ورودی منازل نصب می‌شود، در شکل (۵-۲) رسم شده است.



شکل ۲-۵- طرح واره انشعاب لوله گاز قبل از درب منازل به همراه تعديل کننده فشار آن [۱۲]

همان‌گونه که پیش‌تر نیز بیان شد، فشار این انشعابات حدود ۶۰ psi است اما نیاز مصرف‌کنندگان و دستگاه‌های گازسوز خانگی اغلب بر اساس ۰/۲۵ psi است. لذا بعد از انشعاب پشت درب منزل و قبل از کنتور گاز هر مصرف‌کننده، یک تعديل کننده فشار نصب می‌شود. البته مصرف‌کنندگان گازی که در مجتمع‌های مسکونی و برج‌های آپارتمانی بلند زندگی می‌کنند و همچنین مصرف‌کنندگاهای شهری غیرمسکونی (از جمله بیمارستان‌ها، ساختمان‌های عظیم دولتی و ...) به جای تعديل کننده فشار مجبور هستند از ایستگاه‌های تقلیل فشار گاز اختصاصی که در فضایی آزاد و زیر سقف و در مجاورت این ساختمان‌ها تعبیه می‌شود استفاده نمایند [۴].

#### ۴-۲- گازهای گمشده (به حساب نیامده)

سالانه مقدار زیادی گاز تحت عنوان گازهای گمشده یا گازهای محاسبه نشده (UAG)<sup>۱۳</sup>، تلف می‌شود که همین موضوع یکی از مسائل اصلی در مدیریت و کنترل شبکه‌های انتقال و توزیع گاز طبیعی می‌-

<sup>13</sup> UnAccounted Gas

باشد. طبق تعریف، UAG عبارت است از: اختلاف بین مقدار گاز واردشده به نقاط ورودی شبکه گاز رسانی (گاز خریداری شده) و گاز فروخته شده. UAG هم می‌تواند مقداری مثبت و هم مقداری منفی باشد. مثبت بودن مقدار UAG بیانگر این است که مقدار گاز خریداری شده از مقدار گاز فروخته شده بیشتر می‌باشد و در نقطه مقابل، مقدار منفی نشان‌دهنده این است که مقدار گاز فروخته شده از مقدار گاز خریداری شده بیشتر است. از نظر اقتصادی، UAG بیانگر از بین رفتن سرمایه‌ای است که بازیافتی نیست؛ که این عبارت است از گازی که از یک تولیدکننده خریداری می‌شود اما همان اندازه به مصرف‌کننده فروخته نمی‌شود (UAG مثبت). در هر دو حالت، شناسایی عواملی که در UAG دخالت دارند و همچنین برطرف کردن این عوامل، امری بسیار مهم می‌باشد [۱۳]. در ادامه به بررسی برخی از عواملی که در گم شدن گازها دخالت دارند پرداخته خواهد شد.

#### ۱-۴-۲- نشت گاز

طبق تعریف، هرگونه خروج ناخواسته گاز از خطوط لوله گاز و یا تأسیسات گازرسانی، نشت گاز نامیده می‌شود. نشت گاز می‌تواند در سطح (جداره) لوله‌ها، در محل‌های جوشکاری شده، فلنج‌ها، محل اتصالات و شیرها اتفاق بیافتد. از علل ایجاد نشتی می‌توان به مونتاژ نامناسب تجهیزات و یا نگهداری نامناسب از آن‌ها، نقص در تجهیزات و اتصالات لوله‌ها، خوردگی و سایش اشاره کرد. حجم گاز هدررفته بر اثر نشت گاز از یک سوراخ بستگی به اندازه سوراخ و فشار سیستم بستگی دارد. هر چه اندازه سوراخ بزرگ‌تر باشد و یا فشار بیشتر باشد، حجم گاز هدررفته نیز بیشتر خواهد بود [۱۴].

#### ۲-۴-۲- دستگاه‌های اندازه‌گیری

دستگاه‌هایی اندازه‌گیری برای اندازه‌گیری دقیق گاز طبیعی خشک و تمیز طراحی و در سیستم گاز‌رسانی نصب گردیده‌اند. با این وجود گازی که در سیستم‌های ما در جریان است همیشه خشک یا

تمیز نیست. با گذشت زمان شرایط گاز می‌تواند بر دستگاههای اندازه‌گیری تأثیر بگذارد تا آن‌ها نتوانند به‌طور دقیق اندازه‌گیری کنند. دلایلی چون جمع شدن گرد و غبار و کشیفی بر روی چرخ‌دنده‌های قسمت دور کنتورهای گاز دیافراگمی، شکسته شدن صفحه اوریفیس (Orifice Plate) و ... باعث کاهش دقیق دستگاههای اندازه‌گیری می‌شوند. لذا دستگاههای اندازه‌گیری باید به‌صورت دوره‌ای در هنگام کارکرد آزموده شوند [۱۴].

### ۳-۴-۲- آسیب‌های شخص ثالث

اتفاقات ناگهانی و اجتناب‌ناپذیر در حین عملیات تعمیر و نگهداری، اعمال تنش‌های اضافی، برخورد اجسام خارجی همچون بیل مکانیکی با لوله از جمله حوادثی هستند که می‌توانند باعث آسیب دیدن خط لوله و رهایی گاز از لوله به محیط شوند [۱۴].

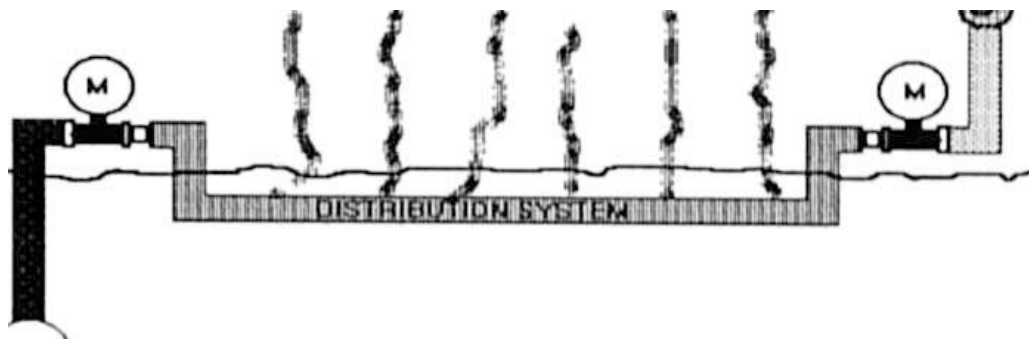
### ۴-۴-۲- سرقت گاز

سرقت گاز یکی از نگرانی‌های اقتصادی و ایمنی صنعت گاز در زمینه گازهای گمشده می‌باشد. این نگرانی فقط به‌علت از بین رفتن سرمایه مالی نمی‌باشد؛ بلکه شامل فعالیت‌های خطرناکی همچون گرفتن اتصالات و انشعابات غیرمجاز یا ایجاد تغییرات غیرقانونی در کنتورها است که برخی مصرف‌کنندگان انجام می‌دهند [۱۴].

### ۵-۲- بررسی پدیده نشت گاز

یکی از مهم‌ترین عوامل در میزان گازهای گمشده، نشتی گاز می‌باشد که حدود ۷۹ درصد کل گازهای گمشده را شامل می‌شود. این نشتی‌ها از کارهای عملیاتی عادی، امور تأسیساتی، توزیع کننده‌های

سیستم و غیره نتیجه می‌شود. به طور خلاصه در شبکه‌های گازرسانی، نشت گاز یا به صورت ناپایدار و تدریجی و کم رخ می‌دهد و یا به صورت غیرمتربقه با حجم زیاد اتفاق می‌افتد [۱۵]. شکل (۶-۲) نشان دهنده طرح‌واره نشت گاز طبیعی از یک لوله واقع در شبکه توزیع گاز می‌باشد.



شکل ۶-۲- طرح‌واره نشت گاز طبیعی [۱۴]

ضرورت و لزوم نظارت بر نشت گاز بر دو اصل زیر مبتنی است:

الف) به رغم تمام پیشگیری‌ها و پیش‌بینی‌هایی که برای جلوگیری از بروز نشت در سیستم مشخص شده و اعمال می‌گردد، باز هم امکان وقوع آن غیرممکن نیست و به عبارت دیگر همواره احتمال وقوع نشت وجود دارد.

ب) با توجه به آنکه هم به لحاظ ایمنی و هم به دلایل اقتصادی نشت گاز پدیده مطلوبی نیست لذا برای حصول اطمینان از نبود نشتی و یا رفع نشتی‌های ایجادشده لازم است به طور جدی و مرتب سیستم‌های گازی تحت نظارت قرار گیرند [۱۶].

## ۱-۵-۲- پدیده خفگی<sup>۱۴</sup>

یکی از مواردی که در بررسی نشت گاز باید به آن توجه نمود، پدیده خفگی است. پدیده خفگی پدیده‌ای است که در نازل‌ها هنگامی رخ می‌دهد که سرعت جریان در آن‌ها به سرعت صوت برسد

<sup>۱۴</sup> Choking

(عدد ماخ برابر یک شود). در این حالت فشار خروجی نازل با فرض ثابت بودن فشار ورودی، تغییر می‌یابد تا دبی جرمی افزایش یابد. هنگامی که به فشار بحرانی برسیم، سرعت در گلوگاه نازل به سرعت صوت<sup>۱۵</sup> می‌رسد و از آن به بعد تغییر در فشار خروجی نازل تأثیری بر دبی عبوری از نازل نخواهد داشت و دبی جرمی حداکثر شده است. به چنین حالتی پدیدهٔ خفگی گفته می‌شود.

اگر نازلی مطابق با شکل (۷-۲) در نظر بگیریم، چنانچه در ابتدا  $p_b$  برابر  $p_0$  باشد، هیچ جریانی وجود نخواهد داشت (دبی جرمی صفر خواهد بود). هنگامی که  $p_b$  کاهش یابد سیال جریان می‌یابد و فشار در ناحیه خروجی نازل ( $p_e$ ، برابر با پس‌فشار (فشار در ناحیه تخلیه) می‌شود و عدد ماخ در ناحیه خروجی کمتر از یک خواهد بود. در این ناحیه کاری (ناحیه a و b در شکل) کاهش  $p_b$  سبب افزایش نرخ جریان جرمی می‌شود. این وضعیت تا هنگامی ادامه می‌یابد که  $p_b$  تا مقدار فشار بحرانی متناظر با  $p_0$  کاهش بیابد. معادله (۱-۲) میزان این فشار را برای گاز ایده‌آل با ظرفیت حرارتی γ بیان می‌کند.

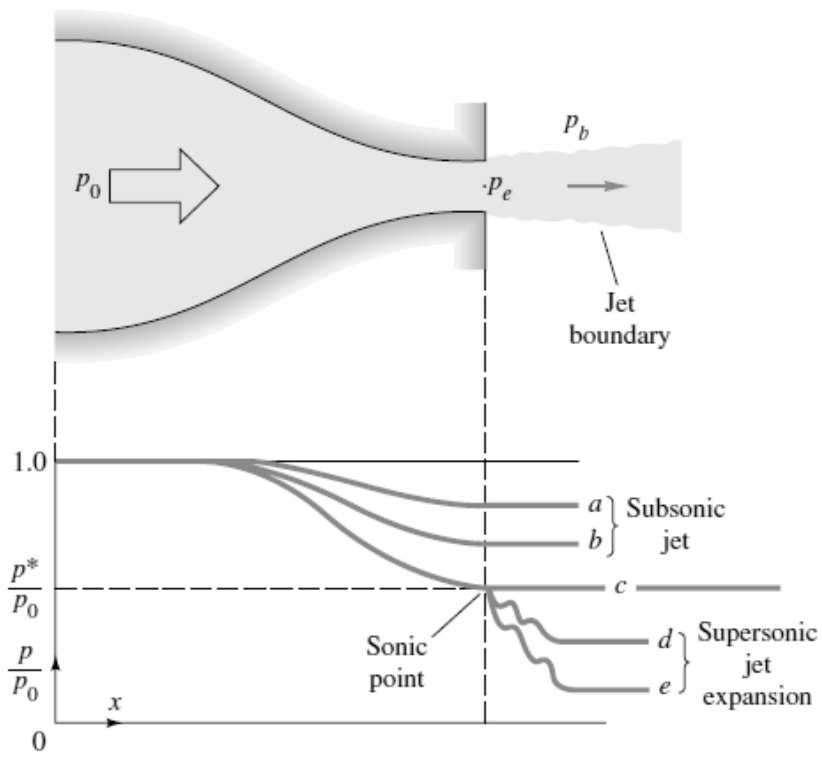
$$p^* = p_0 \left( \frac{2}{\gamma + 1} \right)^{\frac{\gamma}{\gamma - 1}} \quad (1-2)$$

هنگامی که  $p_b$  به این مقدار برسد، عدد ماخ در مقطع خروجی برابر یک خواهد شد. بعد از رسیدن به این مقدار دیگر کاهش  $p_b$  هیچ تأثیری بر جریان داخل نازل ندارد؛  $p_e$  برابر با  $p^*$  باقی می‌ماند، نرخ جریان جرمی ثابت مانده و عدد ماخ در مقطع خروجی برابر ۱ می‌ماند. هنگامی که در این حالت  $p_b$  کمتر از  $p_e$  باشد انبساط از  $p_b$  در خارج از نازل و از طریق امواج انبساطی پرانتل-مایر<sup>۱۶</sup> صورت می‌گیرد.

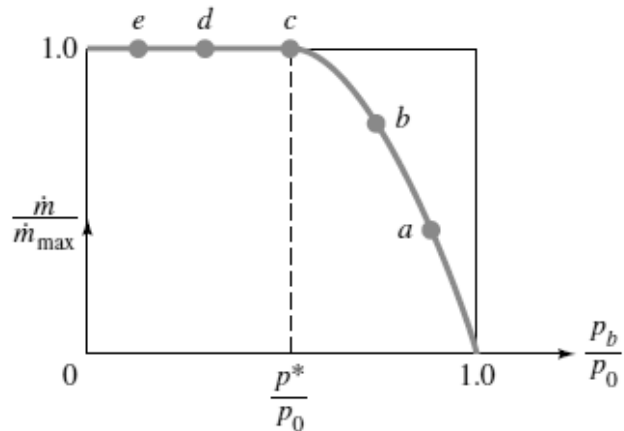
---

<sup>۱۵</sup> Sound Speed

<sup>۱۶</sup> Prandtl-Meyer



(الف)



(ب)

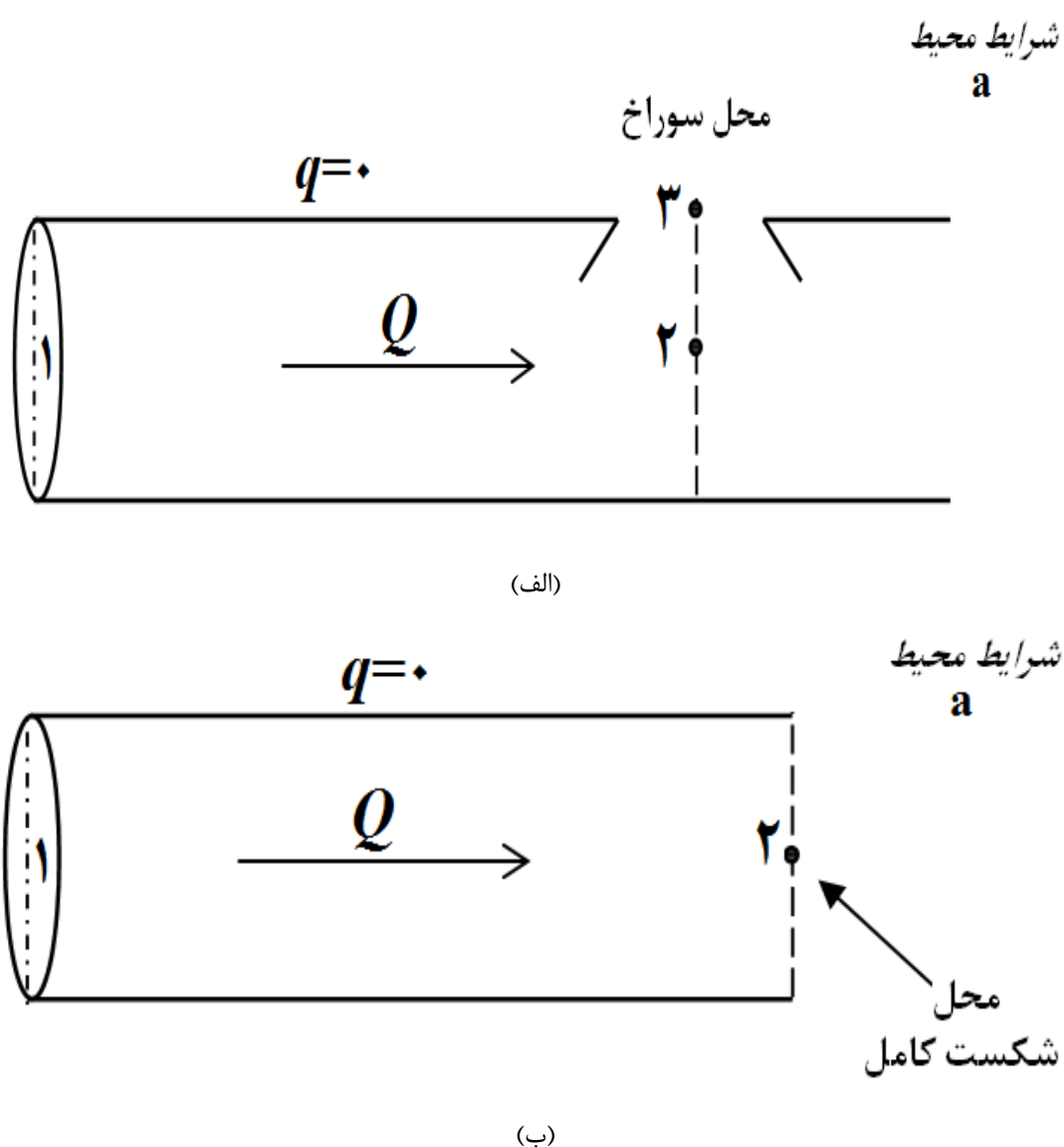
شکل ۷-۲-پروفیل؛ (الف) فشار، (ب) دبی جرمی، در نازل همگرا [۱۷]

## ۲-۵-۲-حالت‌های مختلف نشت گاز

نشت گاز در خطوط لوله گاز، به دو صورت ممکن است رخ دهد. در حالت اول، سوراخی بر سطح جانبی لوله وجود دارد که جریان گاز از این سوراخ به محیط بیرون نشت پیدا می‌کند به‌طوری که قطر

سوراخ از قطر لوله کوچک‌تر می‌باشد. به عبارت دیگر این حالت برای شکستگی‌ها و سوراخ‌های جزئی کاربرد دارد و اصطلاحاً مدل «سوراخ» نامیده می‌شود.

اما حالت دوم، حالتی است که قطر سوراخ بزرگ‌تر یا مساوی قطر لوله می‌باشد. به عبارت دیگر حالت دوم برای مدل‌سازی شکست کامل لوله کاربرد دارد و اصطلاحاً مدل «لوله» نامیده می‌شود. شکل‌های (الف) و (ب)، به ترتیب نشان‌دهنده طرح‌واره مدل‌های سوراخ و لوله می‌باشند [۱۸].



شکل ۲-۸- طرح‌واره؛ (الف) مدل سوراخ، (ب) مدل لوله، در نشت گاز

### ۳-۵-۲- بررسی نظری نشت گاز

میزان جریان نشت یافته از سوراخ به نوع جریان خروجی بستگی دارد. بدین صورت که دو حالت ممکن است اتفاق بیافتد. حالت اول حالتی است که مقدار سرعت در هنگام خروج برابر سرعت صوت شده است که در این حالت عدد ماخ در مقطع خروجی برابر با یک بوده و این حالت به اصطلاح جریان خفه شده (چوک شده)<sup>۱۷</sup> گفته می شود. در حالت دوم، مقدار سرعت در مقطع خروجی از سرعت صوت کمتر می باشد و به عبارت دیگر جریان خروجی از نوع جریان مادون صوت<sup>۱۸</sup> می باشد. بر این اساس در مقطع خروجی، یا سرعت برابر صوت می شود و یا فشار برابر فشار اتمسفر خواهد بود. یعنی در حالت اول، یک جریان صوتی<sup>۱۹</sup> با فشاری بیشتر از فشار اتمسفر در سوراخ خواهیم داشت و در حالت دوم یک جریان مادون صوت با فشاری معادل فشار اتمسفر در محل نشت جریان داریم.

ملاک تشخیص اینکه در مقطع خروجی چه نوع جریانی وجود خواهد داشت، بر اساس کمیتی به نام نسبت فشار بحرانی<sup>۲۰</sup> می باشد که به صورت زیر تعریف می شود:

$$CPR = \frac{p_a}{p_{\gamma cr}} = \left( \frac{\gamma}{\gamma + 1} \right)^{\frac{\gamma}{\gamma - 1}} \quad (2-2)$$

در این رابطه  $p_a$  بیانگر محیط بیرون و  $p_{\gamma cr}$  فشار بحرانی نقطه ۲ می باشد. بر اساس این رابطه، در صورتی که فشار نقطه ۲، بزرگتر از فشار بحرانی در این نقطه باشد ( $p_2 > p_{\gamma cr}$ )، در لوله خفگی رخداده و سرعت تخلیه به سرعت صوت می رسد؛ اما در نقطه مقابل، اگر  $p_2 < p_{\gamma cr}$  باشد، یک جریان مادون صوت خواهیم داشت. به عبارت دیگر:

$$\begin{cases} p_2 > p_{\gamma cr} \Rightarrow \text{جریان صوتی} \\ p_2 < p_{\gamma cr} \Rightarrow \text{جریان مادون صوت} \end{cases}$$

<sup>17</sup> Choked Flow

<sup>18</sup> Subsonic

<sup>19</sup> Sonic

<sup>20</sup> Critical Pressure Ratio (CPR)

طبق مطالعات و بررسی‌های انجام شده، در سوراخ‌های با قطر کوچک، جریان خروجی به صورت جریان صوتی می‌باشد و در این حالت مقدار دبی آن قدر افزایش پیدا می‌کند که به یک مقدار حد اکثر می‌رسد و از آن به بعد ثابت شده و به یک حالت پایا می‌رسد [۱۹].

با افزایش میزان قطر سوراخ، بسته به شرایط مرزی موجود در نقطه ابتدای خط لوله، اگر قطر سوراخ از یک مقدار معین بیشتر شود، جریان از حالت صوتی به جریان مادون صوت تبدیل می‌گردد. به این مقدار قطر سوراخ که از آن به بعد جریان به صورت مادون صوت در می‌آید، قطر بحرانی<sup>۲۱</sup> گفته می‌شود [۲۰].

بر اساس موارد ذکر شده می‌توان به این نتیجه رسید که میزان جریان تخلیه شده در یک خط لوله با شرایط مرزی معین در نقطه ابتدایی، به دو عامل بستگی دارد که عبارتنداز:

۱- سیال عامل و فاز آن: با توجه به فاز ماده خروجی، مدل‌های مختلفی برای تخلیه وجود دارد. لذا فاز و نوع سیال خروجی از اهمیت زیادی برخوردار است. در این پژوهش جریان گازی مدنظر می‌باشد.

۲- سطح مقطع خروج جریان: مقدار ماده رها شده به قطر سوراخ ایجاد شده در سطح لوله - و در مسائل گذرا، علاوه بر آن به مدت زمان نشستی - بستگی دارد. دبی گاز خروجی از سوراخ رابطه مستقیم با اندازه نشستی - و مدت زمان نشستی - دارد. در این پژوهش مسأله نشت گاز به ازای مقادیر مختلفی از قطر لوله و قطر سوراخ بررسی می‌گردد.

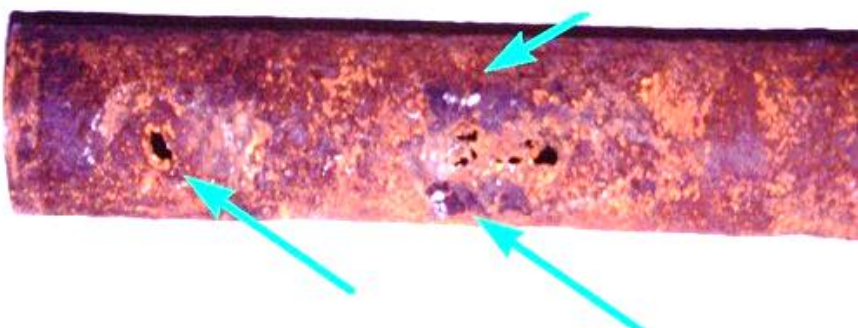
۳- فشار خط لوله: دبی حجمی گاز نشت یافته از سوراخ، با افزایش فشار نیز افزایش یافته و به عبارت دیگر یک رابطه مستقیم با فشار دارد. تأثیر فشار خط لوله در پژوهش حاضر، برای مقادیر مختلفی از فشار نقطه ابتدایی مورد بررسی قرار خواهد گرفت.

<sup>21</sup> Critical Diameter

## ۴-۵-۲- علت‌های نشت گاز

نشت گاز به علت‌های مختلف در لوله‌ها و تأسیسات گازی روی می‌دهد که مهم‌ترین آن‌ها عبارت است از:

**الف- خوردگی:** در اثر نقص در عایق‌کاری و یا اجرا نکردن حفاظت کاتدی صحیح سطوح خارجی لوله‌ها، امکان بروز خوردگی وجود دارد. گرچه خوردگی‌ها به طور عمدی در سطوح خارجی لوله‌ها اتفاق می‌افتد ولی امکان بروز خوردگی داخلی چه در لوله‌ها و چه در ظروف عملیاتی به علت وجود ترکیبات خورنده‌ای مانند ئیدروژن سولفوره و آب نیز وجود دارد. در شکل (۹-۲) خوردگی‌های ایجاد شده بر سطح خارجی یک لوله با علامت پیکان مشخص شده است [۲۱].



شکل ۹-۲- ایجاد خوردگی بر سطح لوله [۲۲]

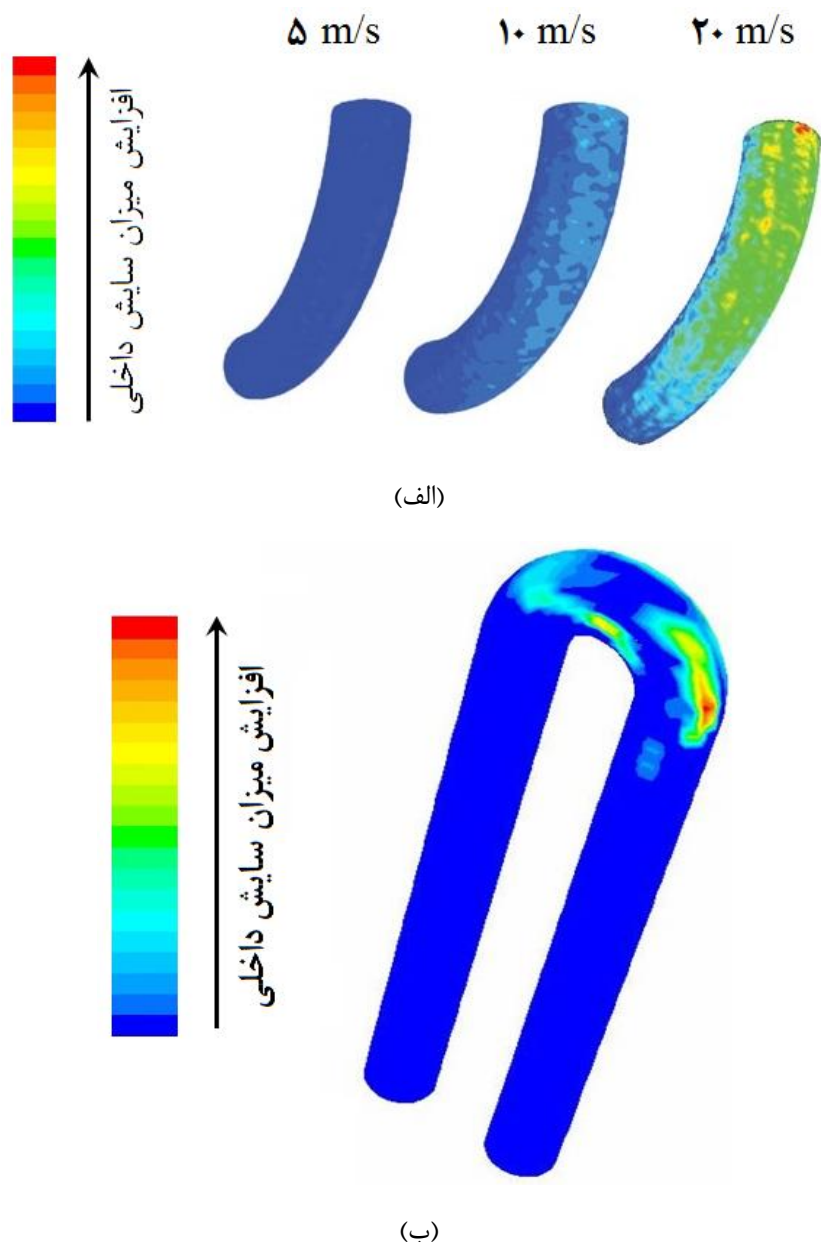
**ب- سایش داخلی:** در اثر وجود ناخالصی‌های همراه با گاز پدیده‌ی سایش اتفاق می‌افتد. به‌طور معمول در محل خم لوله‌ها و یا در شیرهای کاهش‌دهنده فشار به علت افزایش سرعت گاز، میزان سایش بیش‌تر است. شکل‌های (۱۰-۲-الف) و (۱۰-۲-ب) به ترتیب نشان‌دهنده تأثیر سرعت جریان داخل لوله و میزان خم لوله بر سایش داخلی می‌باشد.

**چ- عوامل خارجی:** مانند ضربه‌های مکانیکی، تماس با کابل برق و یا جریانات القایی.

د- نقص در ساختار متابولوژیکی لوله، اتصالات، شیرها و سایر متعلقات.

ه- نقص در اجرا و نصب شیرها و سایر اتصالات فلنجی و همچنین (زوهدای).

و- نقص در جوش لوله‌ها و اتصالات جوشی [۲۱].



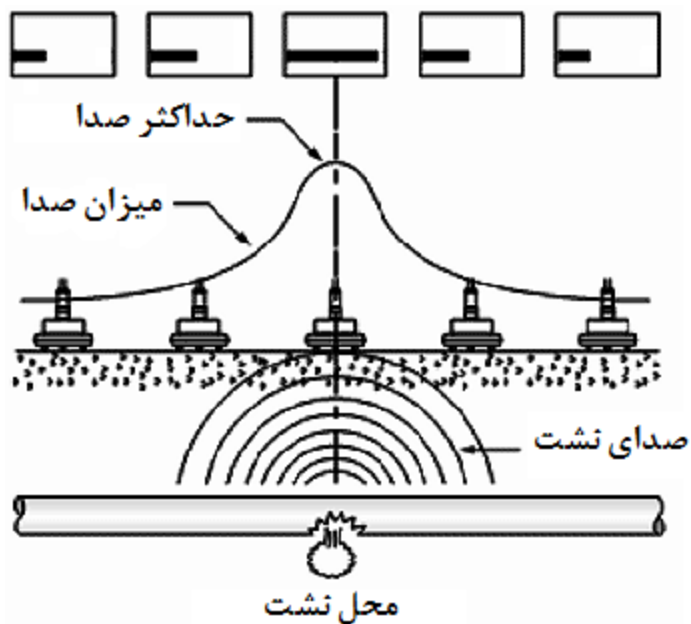
شکل ۲-۱۰- تأثیر؛ (الف) سرعت جریان درون لوله، (ب) خم لوله، بر میزان سایش داخلی [۲۳]

## ۵-۵-۲- روشهای نشتیابی گاز

### الف- نشتیابی در لوله‌ها و اتصالات روکار

برای پیشگیری از وقوع نشت‌های احتمالی در لوله و اتصالات روکار اقدامات زیر باید به‌طور مرتب انجام شود:

۱- مسیر خطوط لوله گاز به‌صورت عینی بازرسی و با توجه به بو و صدای گاز، تحت نظرارت همیشگی قرار گیرد. شکل (۱۱-۲) نشان‌دهنده نشتیابی بر اساس صدای نشت می‌باشد که با نزدیک شدن به محل نشت، صدای نشت به سمت حداکثر مقدار خود می‌رود [۲۴].



شکل ۱۱-۲- نشتیابی بر اساس صدای گاز [۲۵]

۲- هر شش ماه یکبار تمام مسیرها از نزدیک بازرسی و سرجوش‌ها و اتصالات و شیرها به‌وسیله کف صابون نشتیابی شوند. در تأسیسات گازی نشتیابی به کمک دستگاه‌های گازسنجد انجام می‌شود. در شکل (۱۲-۲)، نشتیابی توسط کف صابون به تصویر کشیده شده است.

۳- هر دو سال یکبار کلیه خطوط روکار گاز به وسیله بستن شیرها و جدا کردن قسمت‌های مختلف از یکدیگر از نظر افت فشار بازبینی شود [۲۴].



شکل ۱۲-۲- نشت‌یابی به وسیله کف صابون [۲۶]

#### ب- نشت‌یابی در لوله‌های مدفون

۱- بازدید مسیر لوله‌کشی: مسیر لوله‌های گاز باید به طور متناوب بازرگانی شود و به محض احساس بوی گاز یا علائم نشان‌دهنده نشت گاز نسبت به بررسی دقیق‌تر آن اقدام کرده و در صورت اطمینان از وجود نشتی رفع شود.

۲- نشت‌یابی دوره‌ای: در این گونه نشت‌یابی که در خطوط لوله کوتاه مانند لوله‌های زیرزمینی گاز مربوط به کارخانه‌ها و مصرف‌کننده‌های تجاری توصیه می‌گردد، هر دو سال یکبار تمام شیرهای مصرف‌کننده بسته و فشار محبوس داخل شبکه به دقت اندازه‌گیری و برای مدت چند ساعت امتحان شود و در صورت وجود افت فشار برای تعیین محل نشتی اقدام شود.

۳- نشت یابی خطوط انتقال گاز: خطوط لوله سراسری انتقال گاز و شبکه‌های گازرسانی به وسیله دستگاهها نشت یاب «اف.آی.دی» نشت یابی می‌شوند.

#### چ- دستگاه‌های نشت یاب «اف.آی.دی»

این دستگاهها وسایل بسیار حساسی هستند که برای تشخیص نشت گاز در لوله‌های توکار استفاده می‌شود و انواع مختلفی از آن‌ها وجود دارند. «اف.آی.دی» نوعی نشت یاب مورد استفاده در شرکت ملی گاز است که بر اساس یونیزاسیون شعله ئیدروژن کار می‌کند؛ به این صورت که در داخل دستگاه یک محفظه احتراق با سوخت ئیدروژن وجود دارد که هوای لازم را از محیط اطراف جذب می‌کند و به محض ورود کمترین مقدار ئیدروکربن‌های گازی به داخل محفظه، یونیزاسیون محیط اطراف شعله تغییر می‌کند و نتیجه به صورت علائم بصری و صوتی دیده می‌شود.

میزان نشت گاز هر قدر جزئی باشد سرانجام به سطح زمین خواهد رسید؛ لذا این دستگاهها با دقت بالایی که دارند قادر به تشخیص آن خواهند بود. دقت دستگاه‌های نشت یاب در حد جزء در میلیون «پی.پی.ام» بوده و از حساسیت بالایی برخوردارند، به طوری که هنگام استفاده در شهرها و یا محوطه‌های صنعتی باید قبل از آن برای میزان ئیدروکربن‌های موجود در هوای آن محیط، کالیبره شوند

.[۲۷]



# فصل سوم

مرواری بر پژوهش‌های

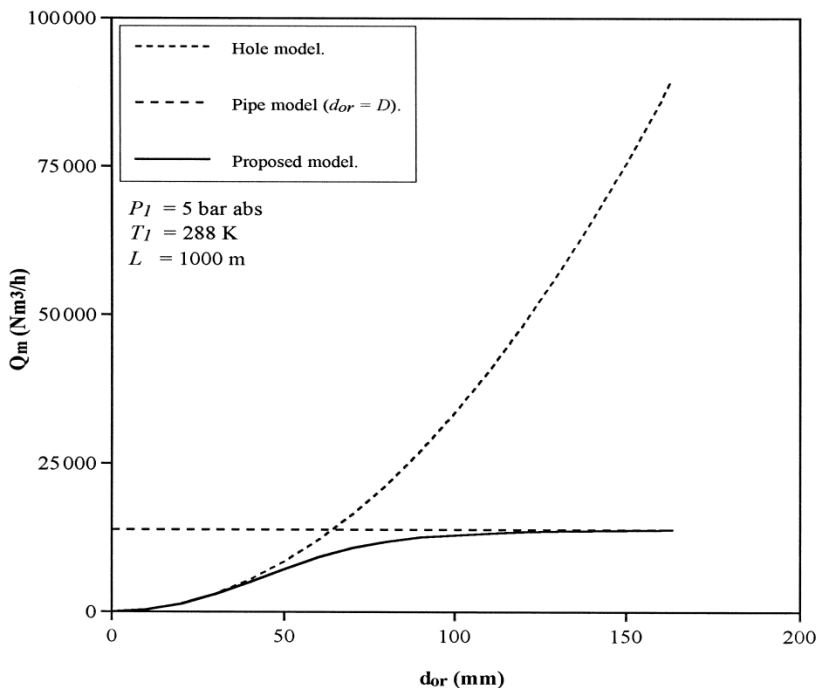
گذشته

## ۱-۳- تاریخچه

از جمله مهم‌ترین المان‌های موجود در مسیر جریان گاز می‌توان به لوله‌های مستقیم اشاره نمود. سطح مقطع این لوله‌ها به‌جز در نقاطی که از تبدیل‌ها و اتصالات استفاده می‌شود، معمولاً ثابت بوده و جریان درون این لوله‌ها را می‌توان به صورت جریان مغشوش با اصطکاک در نظر گرفت. در سال ۱۹۷۹ تحقیقی توسط فینچام و گلدواتر [۲۸] انجام شد که در آن به مرور انواع روش‌های شبیه‌سازی جریان گاز درون لوله (همانند روش‌هایی چون تفاضل محدود، مشخصه‌ها و گلرکین) پرداخته شده است. همچنین لونسپیل [۲۹] در سال ۱۹۸۴ در کتاب خود با عنوان جریان مهندسی و تبادل حرارت، به بررسی و مدل‌سازی ریاضی جریان گاز درون لوله در حالت‌های تراکم‌پذیر و تراکم‌ناپذیر پرداخته است. تحقیق‌های انجام گرفته در زمینه‌های مرتبط با نشت گاز را می‌توان به دو دسته‌ی تعیین محل وقوع نشت (نشت‌یابی) و محاسبه میزان نشت تقسیم نمود. جهت تعیین محل نشت، روش‌های مختلفی توسط محققین توسعه داده شده است. تحقیق‌های صورت گرفته توسط بیورک و همکاران [۳۰]، بازیاس و همکاران [۳۱]، منگ و همکاران [۳۲]، موروای و همکاران [۳۳] و ژنگ و همکاران [۳۴] از جمله مهم‌ترین تحقیق‌هایی می‌باشند که در سال‌های اخیر در زمینه نشت‌یابی انجام شده است.

آسیب‌های واردشده به لوله‌های گاز را می‌توان به دو نوع شکستگی جزئی و شکستگی کامل تقسیم نمود. از آنجایی که اکثر آسیب‌دیدگی‌های خطوط لوله گاز به صورت ایجاد سوراخی با قطر کوچک‌تر از قطر لوله می‌باشد، تحقیق‌های انجام گرفته در زمینه محاسبه نشت گاز نیز غالباً در حوزه شکستگی-های جزئی انجام گرفته‌اند. یکی از نخستین تحقیق‌های انجام گرفته در زمینه مدل‌سازی نشت گاز توسط وودوارد و مودان [۳۵] در سال ۱۹۹۱ به صورت یک مدل برای محاسبه نرخ تخلیه مایع و گاز از سوراخ در مجراهای فرآیند، توسعه داده شده که در آن به محاسبه کاهش فشار به عنوان تابعی از زمان پرداخته شده است. در تحقیقی دیگر، الورونمی و ایماید [۳۶] در سال ۱۹۹۳ یک مدل ریاضی از مسئله شکستگی لوله ارائه داده‌اند. مدل مورد بررسی در تحقیق آن‌ها شامل جریان ناپایای نشتی از

انتهای شکسته‌ی یک لوله آسیب‌دیده با فرض جریان هم‌دما، می‌باشد. مقادیر نرخ جریان خروجی از شکستگی انتهای لوله در تحقیق آن‌ها، تقریباً ۱۸ درصد کمتر از نتایجی است که با فرض جریان بی-دررو با همان شرایط به دست می‌آید؛ اما نتایج تحقیق آن‌ها تطابق خوبی با تحقیق صورت گرفته توسط لانگ و فُنلوب [۳۷] در شرایط هم‌دما دارد. منتیل و همکارانش [۳۸] در تحقیقی به مدل‌سازی جریان نشت گاز از خط لوله‌ای با قطر mm ۱۶۳/۶ واقع در محدوده سطوح فشار پایین و متوسط (فشار bar ۵) پرداخته‌اند. آن‌ها جریان درون لوله را به صورت جریان بی‌دررو در نظر گرفته و مدل پیشنهادی خود را برای هر دو حالت جریان پایا و ناپایا بررسی کرده و گاز متان با معادله حالت گاز ایده‌آل (با  $c_p$  ثابت) را به عنوان گاز طبیعی فرض نموده‌اند. بررسی‌های آن‌ها نشان داد که فرض گاز ایده‌آل با  $c_p$  ثابت برای خطوط گاز با سطح فشار پایین و متوسط نتایج مناسبی را در بر خواهد داشت. مدل ارائه شده توسط منتیل و همکاران [۳۸] با وجود اینکه یکی از مدل‌های پایه در جریان نشت گاز طبیعی می‌باشد اما نواقصی نیز دارد که هنوز نیز برخی از این نواقص در اکثر مدل‌های ارائه شده برای جریان نشت گاز به چشم می‌خورد. مهم‌ترین این نواقص در نظر نگرفتن طول لوله بعد از سوراخ می‌باشد. به عبارت دیگر در مدل ارائه شده توسط منتیل و همکاران [۳۸]، لوله به صورت یک مخزن بسته در نظر گرفته شده است که سوراخی در انتهای مخزن وجود دارد و جریان گاز از این سوراخ به اتمسفر تخلیه می‌شود. در نظر نگرفتن طول لوله بعد از سوراخ باعث در نظر گرفته نشدن جریان گاز برگشتی از سمت پایین دست لوله به سمت سوراخ و به دنبال آن دور شدن نتایج از حالت واقعی می‌گردد. نقص دیگر مدل آن‌ها مدل‌سازی لوله به صورت یک بعدی می‌باشد که در واقع فقط جریان محوری در آن مدل در نظر گرفته شده است. نمودار (۱-۳) نشان‌دهنده نمودار مربوط به دبی حجمی نرمال شده نشستی بر حسب قطر سوراخ بوده و مربوط به تحقیق منتیل و همکاران [۳۸] می‌باشد. همانطور که در این شکل مشاهده می‌شود، در محدوده سوراخ‌های با قطر کوچک، دبی حجمی گاز نشت‌یافته تقریباً به صورت یک تابع درجه دوم با قطر سوراخ تغییر پیدا می‌کند.



نمودار ۳-۱- دبی حجمی نشت یافته بر حسب قطر سوراخ در تحقیق منتیل و همکاران [۳۸]

یوها و همکارانش [۳۹] در سال ۲۰۰۳ مدل و فرضیه‌های پیشنهادی توسط منتیل [۳۸] را با اعمال ضریب تراکم‌پذیری ثابت  $0/9$  در معادله حالت برای فشارهای بالا بررسی کردند. آن‌ها علاوه بر نتایج به دست آمده در تحقیق منتیل و همکاران [۳۸]، به این نتیجه دست یافتند که نشت گاز از سوراخ‌های کوچک را می‌توان به صورت یک فرآیند حالت پایدار در نظر گرفت.

جو و اهن [۴۰] در سال ۲۰۰۳ یک مدل ساده صریح برای محاسبه گاز نشت یافته از سوراخ در یک لوله حاوی گاز خطرناک پرفسار با استفاده از معادله حالت گاز ایده‌آل ارائه کرد و با مدل تجربی به دست آمده از حادثه واقعی، آن را اعتبارسنجی کردند. آن‌ها سوراخ را در یک لوله بسته که توسط یک نازل همگرا به یک مخزن متصل می‌باشد در نظر گرفته و جریان را در نازل و سوراخ به صورت جریان آیزنتروپیک و جریان در لوله را به صورت بی‌درو در نظر گرفته‌اند. همچنین اتلاف اصطکاکی در نازل و سوراخ را در مقایسه با اتلاف اصطکاکی لوله ناچیز فرض کردند. آن‌ها برای محاسبه نرخ گاز نشت یافته از سوراخ، از تغییرات انرژی جنبشی گاز در معادله مومنتوم صرف نظر کردند و به این نتیجه

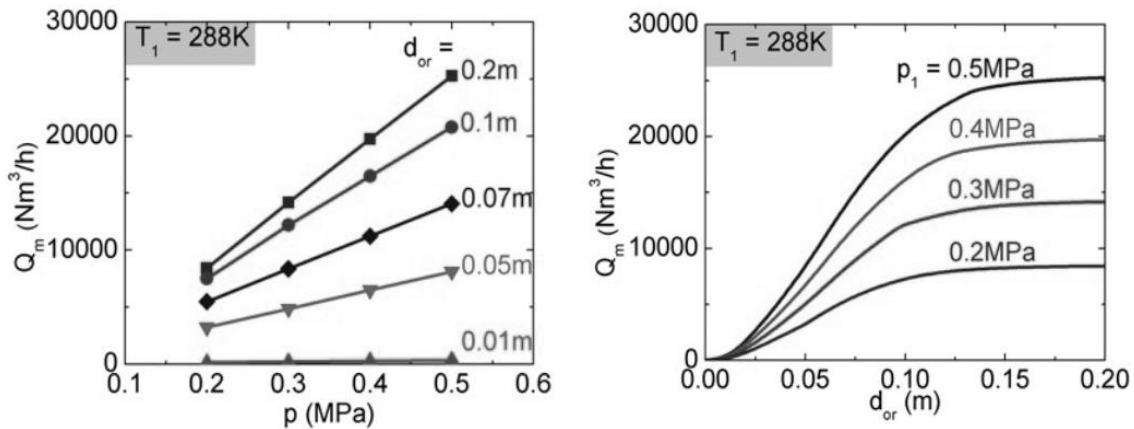
رسیده‌اند که مدل ساده صریح پیشنهادی، از مدل تئوری نرخ تخلیه گاز را کمی بیشتر نشان می‌دهد که برای نسبت گرمای ویژه  $1/42$ ، مقدار این انحراف از  $0\text{--}20\%$  متغیر می‌باشد.

لائو و همکارانش [۴۱] در سال ۲۰۰۶ با تغییراتی در مدل پیشنهادی جو و همکارش [۴۰]، یک فرمول ساده صریح جدید با خطای کمتر برای محاسبه نرخ خروج گاز از سوراخ ارائه کرده‌اند. آن‌ها در معادله مومنتوم داخل لوله با جایگذاری سرعت از معادله بقاء جرم و حذف جملات لگاریتمی در کمیت‌های بی‌بعد، فرمولی جدید برای تعیین نرخ خروجی گاز ارائه کرده و به این نتیجه رسیده‌اند که انحراف مدل از مدل تئوری برای نسبت گرمای ویژه برابر  $1/42$  کمتر از  $7\%$  می‌باشد.

در سال ۲۰۱۴، لو و همکارانش [۴۲] به تحلیل تئوری نشت گاز طبیعی در خطوط لوله شهری فشار متوسط پرداخته‌اند و مدل پیشنهادی خود را برای دو حالت پایا و گذرا (ناپایا) مورد بررسی قرار داده‌اند. به دلیل اینکه فشار سیستم مورد بررسی آن‌ها در محدوده فشار متوسط بود، آن‌ها از فرض گاز ایده‌آل برای سیال مدل خود استفاده کردند و جریان درون لوله را به صورت آدیاباتیک و جریان در سوراخ را به صورت آیزنتروپیک در نظر گرفته‌اند. همچنین شبیه‌سازی جریان را به صورت یک‌بعدی انجام داده‌اند. نتایج تحقیق آن‌ها در حالت جریان پایا، به دلیل مشابه بودن مدل با تحقیق منتیل و همکارانش [۳۸]، تقریباً مشابه می‌باشد و نمودار (۲-۳) نشان‌دهنده نتایج پژوهش آن‌ها در حالت پایا است؛ اما در حالت ناپایا به بررسی نحوه تغییرات فشار، دما و چگالی با گذشت زمان پرداخته‌اند. در فشار ورودی  $Mpa\ 0/0.5$  و قطر سوراخ  $m\ 0/0.5$ ، نتیجه کار آن‌ها بدین صورت است که در ابتدا جریان به صورت جریان صوتی می‌باشد و با گذشت زمان، تقریباً پس از گذشت  $sec\ 20$ ، جریان از حالت صوتی به جریان مادون صوت تبدیل می‌گردد. با بررسی تغییرات فشار بر حسب زمان، مشاهده می‌شود که در لحظه آغاز، فشار نقطه  $3$  ( محل سوراخ<sup>۲۲</sup>) بزرگ‌تر از فشار اتمسفر است و با گذشت زمان فشار کاهش می‌یابد تا در نهایت فشار نقطه  $3$  به فشار اتمسفر می‌رسد که از این لحظه به بعد، جریان

<sup>22</sup> هندسه و شماره نقاط اشاره شده در این قسمت از متن، مطابق با شکل (۲-۸-الف) می‌باشد

از حالت صوتی به مادون صوت تبدیل می‌شود. زمانی که فشار نقطه ۲ هم به فشار اتمسفر می‌رسد، هنوز فشار نقطه ۱ بزرگ‌تر از فشار اتمسفر است و در این لحظه، هنوز تخلیه جریان وجود دارد. همچنین در لحظه اتمام جریان نشتی، دمای نقاط ۱، ۲ و ۳ تقریباً به یک مقدار یکسان می‌رسند.



نمودار ۳-۲-دبی حجمی نشت یافته بر حسب قطر سوراخ و فشار در تحقیق لو و همکاران [۴۲]

برخی از محققین برای گسسته‌سازی معادله‌های حاکم بر مسئله از روش مشخصه‌ها استفاده نموده‌اند. اوکه و همکارانش [۴۳] در تحقیقی به محاسبه جریان نشتی گاز از یک لوله در یک فرآیند گذرا پرداخته‌اند و مدل خود را برای گاز طبیعی واقعی و به صورت مخلوطی از چندین هیدروکربن ارائه داده و از روش عددی مشخصه‌ها برای حل معادله‌های حاکم بر مسئله استفاده کرده‌اند و جریان در محل سوراخ را به صورت جریان آیزنتروپیک در نظر گرفته‌اند. آن‌ها با بررسی‌هایی که انجام داده‌اند به این نتیجه رسیده بودند که مدل سازی لوله به صورت یک مخزن بسته که جریان گاز از انتهای آن به بیرون تخلیه می‌شود، به دلیل ایجاد جریان‌های برگشتی در قسمت پایین دست لوله، مدل مناسبی نمی‌باشد. لذا در مدل سازی خود، لوله را به صورت یک مخزن در نظر نگرفته و طول لوله بعد از سوراخ را نیز در نظر گرفته و لوله را به سه بخش (قسمت بالا دست لوله، قسمت پایین دست لوله و یک حجم کنترل پیرامون سوراخ و در عرض قطر لوله؛ که این حجم کنترل مشترک بین قسمت‌های بالا دست و پایین دست می‌باشد) تقسیم‌بندی کرده‌اند. علاوه بر این، شبیه‌سازی جریان درون لوله در قسمت‌های بالا-

دست و پایین دست را به صورت یک بعدی محوری انجام داده و شبیه سازی جریان در قسمت حجم کنترل پیرامون سوراخ را به صورت دو بعدی در دستگاه مختصات کارتزین انجام داده اند و در حجم کنترل علاوه بر جریان محوری، جریان شعاعی را نیز در نظر گرفته اند. همچنین مدل خود را در دو حالت باز بودن و بسته بودن انتهای لوله بررسی نموده اند.

در سال ۱۳۸۸، تحقیقی در زمینه شبیه سازی نشتی خطوط لوله گاز با استفاده از روش مشخصه ها توسط نورالهی و همکاران [۴۴] انجام شد. در این تحقیق از روش یک بعدی مشخصه ها برای شبیه سازی جریان گاز تراکم پذیر درون لوله و محاسبه دبی نشتی استفاده شده است. همچنین فرض بر آن است که جریان درون لوله، همونتروپیک (جریان همونتروپیک جریانی است که دارای تغییرات آنتروپی صفر برای مجموع نقاط آن باشد ولی ممکن است در هر نقطه تغییر آنتروپی داشته باشیم) بوده و لذا حل معادله بقاء جرم و بقاء مومنتوم به اضافه فرض آنتروپی ثابت در کل جریان، برای شبیه سازی جریان کافی می باشند. مدل مورد بررسی در این تحقیق لوله ای به طول ۲۵۰ متر می باشد که در وسط آن سوراخی با سطح مقطع ۱ سانتی متر مربع وجود دارد و فشار و سرعت اولیه به ترتیب ۳۰ بار و ۴۱ فوت بر ثانیه می باشد. همچنین شرط مرزی بالا دست، مخزن با فشار ثابت در نظر گرفته شده است و شرط مرزی پایین دست در سه حالت مختلف، انتهای باز، شیر با ضربی افت فشار ثابت، انتهای بسته بررسی شده است.

کوستووسکی و اسکرک [۴۵] در سال ۲۰۱۲ به بررسی جریان در لوله های آسیب دیده شبکه توزیع گاز طبیعی پرداخته اند و در مدل پیشنهادی خود، لوله آسیب دیده را به صورت باز بودن دیوار کناری در نظر گرفته اند. آنها جریان داخل لوله را در حالت های جریان دما ثابت و جریان بی دارو شبیه سازی کرده و هر یک از این دو حالت را برای گاز کامل و گاز واقعی بررسی کرده و اثر ضربی تخلیه را در دبی خروجی گاز مورد تحلیل قرار داده اند. آنها برای به دست آوردن خواص گاز واقعی، از معادله حالت بندیکت-وب-روبین استفاده کرده و به این نتیجه رسیده اند که در فشار متوسط، تفاوت بین

مدل گاز کامل و گاز واقعی قابل صرفنظر کردن می‌باشد و می‌توان برای سادگی در این حالت از مدل گاز کامل استفاده کرد ولی برای فشارهای بالا این تقریب صحیح نمی‌باشد.

نوری بروجردی در سال [۴۶] ۲۰۱۱ به شبیه‌سازی عددی جریان تراکم‌پذیر، گذرا و بی‌دررو گاز در یک خط لوله طولانی با انتهای بسته و با استفاده از روش تفاضل محدود پرداخته است. یک سوراخ در فاصله‌ای معین از نقطه خط لوله ایجاد شده و باعث می‌شود که خط لوله به دو بخش فشار بالا و فشار پایین تقسیم شود. او برای گسسته‌سازی معادله‌های حاکم بر مسئله، برای مشتقات شامل چگالی از روش تفاضل مرکزی، برای جملات سرعت تفاضل مرکزی و برای مشتقات شامل عبارت‌های دما از روش تفاضل پیش‌رو مرتبه اول استفاده کرده است. نتایج تحقیق وی بیانگر این است که در لحظات اولیه پس از شکستگی، افت فشار قابل توجهی در محل سوراخ رخ می‌دهد و جریان به صورت جریان چوک شده خواهد بود و سرعت خروجی به سرعت صوت می‌رسد. با گذشت زمان این روند کاهش فشار ادامه پیدا کرده و جریان خروجی به یک جریان مادون صوت می‌رسد و در نهایت فشار سوراخ به فشار محیط رسیده و از این لحظه به بعد دیگر افت فشاری نخواهیم داشت و جریان به صورت یک جریان پایا در می‌آید و دبی جریان نشست‌یافته نیز به یک مقدار ثابت می‌رسد.

مولودی و ابوالفضلی اصفهانی [۴۷] به ارائه روابط بی‌بعد برای محاسبه دبی جرمی گاز نشست‌یافته در حالت‌های شکست جزئی و کامل، پرداخته‌اند. آن‌ها مدل پیشنهادی خود را برای خطوط لوله گاز با سطوح فشار مختلف بررسی نموده‌اند و معادلات حاکم بر مسئله را به صورت عددی و با استفاده از روش مک‌کورمک<sup>۲۳</sup> حل نموده‌اند. معادله پیشنهادی آن‌ها برای شکست جزئی، فقط بر حسب کمیت نسبت قطر بی‌بعد شده (نسبت قطر سوراخ به قطر لوله) بوده و به صورت یک تابع چندجمله‌ای درجه دوم می‌باشد. برای شکست کامل نیز یک رابطه همبسته<sup>۲۴</sup> دو متغیره، بر حسب کمیت‌های نسبت قطر

<sup>23</sup> MacCormack's method

<sup>24</sup> Correlation

بی بعد شده و همچنین عبارت اصطکاک بی بعد شده (نسبت حاصل ضرب ضریب اصطکاک در طول لوله به قطر لوله)، توسعه داده‌اند.

در حالت لوله مدفون در خاک، تحقیق‌های انجام گرفته بسیار محدود می‌باشد. در این زمینه، یک مدل دو بعدی نشست یک سیال از یک منبع گرمای (لوله) به درون یک ناحیه متخلخل بر اساس روش المان محدود، توسط نیتیاراسو [۴۸] ارائه شده است. در این تحقیق، آب به عنوان سیال عبوری از بین ذرات جامد ناحیه متخلخل در نظر گرفته شده است و لوله به عنوان یک منبع گرم و محیط متخلخل اطرافِ منبع، سرد فرض شده است. برای ساده‌سازی مدل مورد بررسی، یک سوراخ دیگر به صورت قرینه نسبت به محور عمودی (محور  $y$ ) فرض شده است و لذا مدل‌سازی به صورت تقارن نسبت به محور عمودی انجام شده است. نتایج این تحقیق نشان دهنده آن است که علاوه بر عدد بی بعد ریلی<sup>۲۵</sup>، اندازه سوراخ تأثیر قابل توجهی در انتقال جرم از سوراخ دارد.

## ۲-۳- رابطه هندبوک GPSA

در هندبوک مهندسی گاز (GPSA) [۴۹] رابطه‌ای برای تخمین دبی حجمی هدر رفت گاز از یک اوریفیس (سوراخ) که در انتهای یک لوله عمودی نصب شده، ارائه گردیده است. شکل (۱-۳) نشان دهنده طرح‌واره دستگاه اندازه‌گیری دبی خروجی از اوریفیس می‌باشد. همان‌طور که مشاهده می‌شود بر انتهای یک لوله عمودی و بین دو عدد فلنج، یک اوریفیس نصب شده است که میزان گاز تخلیه شده به محیط اطراف را توسط یک دستگاه نگارنده قابل حمل اندازه‌گیری می‌کند.

تنها رابطه‌ای که تا کنون کمیت‌های مختلف را برای محاسبه هدر رفت گاز از یک سوراخ شامل می‌شود، رابطه (۱-۳) می‌باشد که بر اساس آزمایش‌های مربوط به این دستگاه می‌باشد. بر اساس شرایطی که در این آزمایش حاکم است (نظیر عمودی بودن لوله و استفاده از اروفیس به جای سوراخ در انتهای

<sup>۲۵</sup> Rayleigh number

لوله)، نتایج حاصل از رابطه (۱-۳) به صورت تقریبی بوده و فقط جهت تخمین حدود هدررفت می‌تواند مورد استفاده قرار گیرد. لذا نتایج آن از دقت مناسبی برخوردار نبوده و با حادثه واقعی نشت گاز اختلاف دارد.

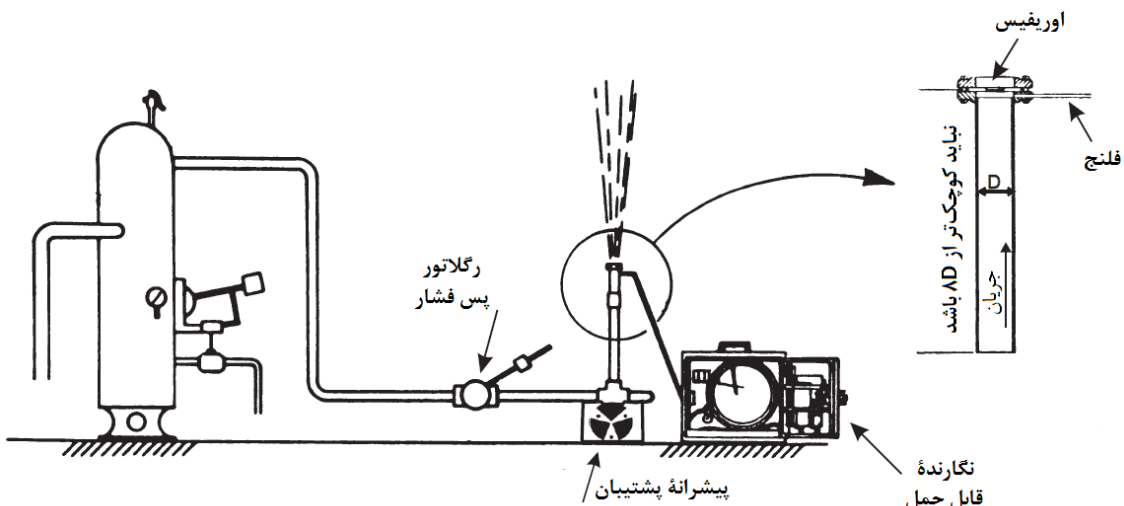
$$Q_d = 1633 \cdot (d_{orf})^{\frac{1}{4}} (1 + \beta^{\frac{1}{4}}) \sqrt{H(29/32 + \cdot / 3H)} \cdot F_{tf} \cdot C_g \quad (1-3)$$

$$\beta = \frac{d_{orf}}{D_p} \quad (2-3)$$

$$F_{tf} = \sqrt{\frac{520}{460 + T_f}} \quad (3-3)$$

$$C_g = \sqrt{\frac{\cdot / 6}{G}} \quad (4-3)$$

در این روابط،  $Q_d$  دبی حجمی گاز نشت یافته،  $d_{orf}(in)$  قطر سوراخ،  $D_p(in)$  قطر لوله،  $\beta$  ثابت اوریفیس،  $H(inHg)$  فشار ابتدای خط،  $F_{tf}$  ضریب تصحیح دما،  $C_g$  ضریب تصحیح وزن مخصوص گاز،  $T_f(^{\circ}F)$  دمای متوسط گاز و  $G$  وزن مخصوص گاز می‌باشد.



شکل ۳-۱ - مدل مورد بررسی در هندبوک GPSA جهت ارائه رابطه دبی حجمی گاز تخلیه شده به محیط [۴۹]

## فصل پنجم

معادله های حاکم و

شیوه حل

## ۱-۴- کلیات

حرکت سیال و خصوصیات آن در مکانیک سیالات توسط معادلات دیفرانسیل با مشتقهای جزئی بیان می‌شود. بسیاری از قوانین طبیعت (در فیزیک، شیمی و نجوم) طبیعی‌ترین بیان خود را در زبان معادلات دیفرانسیل می‌یابند. در هر روند طبیعی، متغیرهای مربوطه و میزان تغییرات آن‌ها به وسیله اصول علمی اساسی حاکم بر آن روند به یکدیگر مربوط می‌شوند.

لذا برای بررسی هر نوع حرکتی ابتدا باید معادلات حاکم بر آن را مشخص کرد. معادله کلی حاکم بر حرکت، قانون دوم نیوتون می‌باشد. حالت خاص این معادله برای حرکت سیال، معادلات ناویر-استوکس<sup>۲۶</sup> نام دارد.

## ۲-۴- فرضیات

جهت بررسی و مدل‌سازی نشت گاز طبیعی در مطالعه حاضر از فرضیات قابل قبول و نزدیک به فرآیند واقعی به شرح ذیل استفاده شده است.

۱- گاز طبیعی به صورت متان خالص فرض شده است. همان‌طور که در فصل دوم نیز اشاره شد، همواره درصد متان در گاز طبیعی بسیار بالا می‌باشد به‌طوریکه تقریباً بیش از ۹۰٪ وزنی گاز طبیعی را تشکیل می‌دهد؛ بنابراین معادل نمودن خواص گاز طبیعی با متان قابل قبول بوده و دور از واقعیت نمی‌باشد.

۲- خواص گاز متان با فرض گاز ایده‌آل محاسبه شده است. در این خصوص باید توجه نمود که خط لوله مورد بررسی در این پژوهش در خطوط توزیع گاز درون‌شهری با سطح فشار پایین و متوسط واقع بوده و قطر لوله نسبتاً کوچک می‌باشد و به همین جهت فرض گاز ایده‌آل ( $c_p$  ثابت) جوابگوی شرایط

<sup>26</sup> Navier-Stokes

کاری مسئله می‌باشد [۳۸، ۳۹ و ۴۲]؛ بنابراین این مسئله متفاوت از لوله‌های طویل با سطح فشار بالا [۳۶ و ۵۰] می‌باشد که در آن‌ها افت فشار در طول خط لوله قابل توجه است. برای اعتباربخشی به مطالب یادشده، بر اساس نتایج پژوهش انجام‌گرفته توسط جابری [۵۱]، اختلاف بین فرض گاز ایده‌آل نسبت به گاز واقعی در مسئله محاسبه نشت گاز در خطوط انتقال بین‌شهری (سطح فشار بالا)، خطوط شبکه تغذیه (سطح فشار متوسط) و خطوط توزیع گاز درون‌شهری (سطح فشار پایین) به ترتیب معادل ۹/۲۶٪، ۱/۶۷٪ و ۰/۴۱٪ می‌باشد.

۳- فرآیند پایا بوده و جریان تراکم‌پذیر است. به دلیل کوچک بودن قطر سوراخ در برابر قطر لوله، نشت گاز تأثیر چندانی بر فشار گاز درون لوله ندارد و نرخ نشت گاز را نسبت به زمان می‌توان ثابت فرض نمود [۳۹].

۴- به دلیل بالا بودن سرعت گاز و بر اساس عدد رینولدز، جریان به صورت آشفته می‌باشد.

۵- در حالت لوله مدفون، خاک به صورت یک ناحیه متخلخل در نظر گرفته شده است.

### ۳-۴- روابط حاکم

جهت یافتن توزیع سرعت، فشار و دما در محیط حل، از اصول دینامیک سیالات محاسباتی استفاده شده است. بر این اساس فضای درون لوله و فضای خاک به تعداد زیادی گره محاسباتی تقسیم شده و به این ترتیب مدل شبکه‌بندی شده مورد نیاز حاصل گردیده است. به دلیل تراکم‌پذیر بودن سیال مورد نظر، جهت دست‌یابی به هدف مذکور یک دستگاه معادلات به‌طور همزمان در کل دامنه محاسباتی حل می‌گردد که این معادلات عبارتند از:

(۱) معادله پیوستگی (پایستگی جرم)؛

(۲) معادله مومنتوم (پایستگی اندازه حرکت)؛

۳) معادله انرژی (پایستگی انرژی);

۴) معادله حالت.

لازم به ذکر است که نتیجه حل این دستگاه معادلات، دستیابی به مجھول‌های زیر می‌باشد:

(۱) سرعت؛

(۲) دما؛

(۳) فشار؛

(۴) چگالی.

### ۱-۳-۴- روابط حاکم بر جریان درون لوله

در این پژوهش هندسه موردنظر در دو حالت دوبعدی و سهبعدی بررسی خواهد شد. معادله مومنتوم در حالت دوبعدی به دو معادله (معادله مومنتوم در جهت‌های محوری و شعاعی) و در حالت سهبعدی به سه معادله (معادله مومنتوم در جهت‌های محوری، شعاعی و محیطی) تقسیم می‌شود. لذا در حالت دوبعدی یک دستگاه پنج معادله-پنج مجھول و در حالت سهبعدی یک دستگاه شش معادله-شش مجھول خواهیم داشت.

از اصل بقای جرم، معادله پیوستگی به صورت معادله (۱-۴) به دست می‌آید [۵۲ و ۵۳]:

$$\frac{\partial}{\partial x_i} (\rho u_i) = . \quad (1-4)$$

معادله (۲-۴) بیانگر فرم کلی معادله مومنتوم می‌باشد [۵۲ و ۵۳].

$$\frac{\partial}{\partial x_j} (\rho u_i u_j) = -\frac{\partial p}{\partial x_i} + \frac{\partial \bar{\tau}_{ij}}{\partial x_j} + \frac{\partial}{\partial x_j} (-\rho \bar{u}_i \bar{u}_j) + \rho g_i \quad (2-4)$$

در این معادله، عبارت  $(\rho \bar{u}_i \bar{u}_j)$  به عنوان مؤلفه‌های تنش رینولدز شناخته می‌شود که با استفاده از یکی از مدل‌های آشفتگی که در ادامه اشاره خواهد شد، به دست می‌آید.

با اعمال قانون پایستگی انرژی، معادله انرژی به صورت زیر به دست می‌آید [۵۲ و ۵۳]:

$$\frac{\partial}{\partial x_i} [u_i(\rho E + p)] = \frac{\partial}{\partial x_j} \left[ k_{eff} \frac{\partial T}{\partial x_j} + u_i (\bar{\tau}_{ij})_{eff} \right] \quad (3-4)$$

$$(\bar{\tau}_{ij})_{eff} = \mu_{eff} \left[ \left( \frac{\partial u_i}{\partial x_j} + \frac{\partial u_j}{\partial x_i} \right) - \frac{2}{3} \delta_{ij} \frac{\partial u_l}{\partial x_l} \right] \quad (4-4)$$

$$E = h - \frac{p}{\rho} + \frac{u^2}{2} \quad (5-4)$$

در معادله (۳-۴)، ضریب هدایت حرارتی موثر بوده و مقدار این ضریب برابر  $k_t$  می‌باشد؛ که در آن  $k_t$  ضریب هدایت حرارتی آشفته می‌باشد و بر اساس مدل آشفتگی استفاده شده، تعیین می‌گردد و در مدل‌های آشفتگی کا-اپسیلون<sup>۲۷</sup> به صورت  $k_t = \frac{c_p \mu_t}{Pr_t}$ <sup>۲۸</sup> تعریف می‌شود که در آن  $Pr_t$  معرف عدد بی بعد پرانتل آشفته<sup>۲۹</sup> می‌باشد. دو جمله سمت راست معادله (۳-۴) نیز به ترتیب معرف انتقال انرژی به دلیل انتقال حرارت هدایتی و اتلاف گرانروی<sup>۲۹</sup> سیال می‌باشد.

در معادله (۵-۴)، آنتالپی محسوس می‌باشد که با استفاده از رابطه (۶-۴) قابل محاسبه می‌باشد

[۵۴]

$$h_j = c_p(T - T_{ref}) = c_p(T - 298.15) \quad (6-4)$$

همان‌طور که اشاره شد، به دلیل تراکم‌پذیر بودن سیال مورد بررسی در پژوهش حاضر، معادله حالت نیز یکی از معادلات حاکم بر مسئله می‌باشد که رابطه (۷-۴) نشان‌دهنده معادله حالت گاز ایده‌آل می‌باشد [۵۵].

<sup>27</sup> k-epsilon (k-ε)

<sup>28</sup> Turbulent Prandtl Number

<sup>29</sup> Viscous Dissipation

$$pv = RT \quad (7-4)$$

### ۴-۳-۲- روابط حاکم بر جریان درون خاک

برای شبیه‌سازی خاک، یک ناحیه متخلخل در اطراف لوله تعریف شده است. به‌طور کلی معادله‌های جریان در ناحیه متخلخل به صورت مستقل از ناحیه درون لوله تعریف و حل می‌شوند. معادله‌های حاکم بر ناحیه متخلخل (معادله‌های پیوستگی، مومنتوم و انرژی) به ترتیب به صورت معادله‌های ۴-۹ و ۱۰-۴ می‌باشند [۵۶ و ۵۴].

$$\frac{\partial}{\partial x_i} (\gamma \rho u_i) = . \quad (8-4)$$

$$\frac{\partial}{\partial x_j} (\gamma \rho u_i u_j) = -\gamma \frac{\partial p}{\partial x_i} + \frac{\partial(\bar{\tau}_{ij})}{\partial x_j} + \gamma \rho g_i - \left( \frac{\mu}{\alpha} + \frac{C_\gamma \rho}{\gamma} |u_i| \right) u_i \quad (9-4)$$

$$\frac{\partial}{\partial x_i} [u_i (\rho_f E_f + p)] = \frac{\partial}{\partial x_j} \left[ k_{eff} \frac{\partial T}{\partial x_j} + u_i (\bar{\tau}_{ij})_{eff} \right] \quad (10-4)$$

که در این معادله‌ها،  $\gamma$  میزان تخلخل<sup>۳۰</sup> می‌باشد که عبارت است از سهم سیال عبوری از میان ماده متخلخل نسبت به کل ناحیه متخلخل و عددی بین ۰ تا ۱ می‌باشد؛ به عنوان مثال اگر بخواهیم ناحیه متخلخلی متتشکل از ۸۰ درصد ماده جامد و ۲۰ درصد سیال عبوری از بین مواد جامد تعریف نماییم، باید  $\gamma = 0/2$  در نظر بگیریم.

در آخرین جمله سمت راست معادله ۹-۴، عبارت اول  $(\frac{\mu}{\alpha})$  و دوم  $(\frac{C_\gamma \rho}{\gamma})$  به ترتیب بیان گر نیروی پسای ویسکوز و نیروی پسای اینرسی می‌باشند و  $\alpha$  نفوذپذیری ماده متخلخل می‌باشد. همچنین در معادله ۱۰-۴، ضریب هدایت حرارتی موثر  $k_{eff}$  به صورت زیر تعریف می‌شود.

$$k_{eff} = \gamma k_f + (1 - \gamma) k_s \quad (11-4)$$

---

<sup>30</sup> Porosity

## ۴-۴- مفهوم جریان آشفته و معادله‌های مربوط به آن

در این بخش ابتدا به بیان مقدمه‌ای در مورد مفهوم جریان آشفته پرداخته می‌شود و در قسمت‌های بعدی این بخش نیز به معرفی انواع روش‌های مدل‌سازی جریان آشفته پرداخته خواهد شد.

جریان آرام به عنوان جریانی تعریف می‌شود که در آن سیال به صورت لایه‌لایه حرکت می‌کند و هر لایه به آرامی بر لایه مجاور خود فقط به دلیل تبادل مولکولی اندازه حرکت می‌لغزد و هرگونه تمایل جهت ناپایداری، اغتشاش و تلاطم به وسیله نیروهای برشی ناشی از لزجت که در مقابل حرکت نسبی لایه‌های سیال مقاومت می‌کنند خنثی و تضعیف خواهد شد. در مقابل جریان آرام، در جریان آشفته حرکت سیال آشفته و درهم بوده و تبادل اندازه حرکت به دلیل حرکت‌های متقطع صورت می‌گیرد. ماهیت جریان یا به عبارت دیگر آرام یا آشفته بودن آن و موقعیت نسبی آن در یک مقیاس که نشان‌دهنده اهمیت نسبی جریان آشفته به آرام است، توسط عدد رینولدز<sup>۳۱</sup> نشان داده می‌شود.

در طبیعت، جریان به صورت آرام وجود ندارد و در حقیقت تمامی جریان‌ها در مهندسی، آشفته می‌باشند و مدل کردن این آشفتگی که بسیار پیچیده می‌باشد توسط معادلات ریاضی انجام می‌شود. آزمایش‌هایی که در گذشته انجام شده است نشان می‌دهد که در اعداد رینولدز پایین‌تر از عدد رینولدز بحرانی، جریان به صورت آرام یا لایه‌ای می‌باشد ولی در جریان آشفته انتقال جرم به صورت ماکروسکوپی از لایه به لایه دیگر خواهد بود. به عنوان مثال برای جریان درون لوله، هنگامی که عدد رینولدز جریان کوچک‌تر از  $2300 < Re_D < 2300$  باشد ()، جریان به صورت کاملاً توسعه‌یافته خواهد بود و جریان آشفته هنگامی رخ می‌دهد که عدد رینولدز بزرگ‌تر از  $4000 > Re_D > 4000$  باشد (). در حد فاصل اعداد رینولدز  $2300 < Re_D < 4000$  ()، بسته به کمیت‌های مختلفی همچون زبری لوله و یکنواختی جریان، هریک از انواع جریان آرام و یا آشفته می‌تواند رخ دهد. جریان‌هایی که عدد رینولدز آن‌ها خیلی بزرگ باشد ( $Re_D \approx 10000$ ) جریان‌های کاملاً آشفته نامیده می‌شوند [۵۷].

<sup>۳۱</sup> Reynolds Number (Re)

## ۱-۴-۴- روش‌های مدل‌سازی آشفتگی

تاکنون مدل‌های آشفتگی مختلفی ارائه شده‌اند که هر یک برای رژیم خاص جریانی و حتی در ناحیه‌ای خاص از میدان جریان معتبر و دقیق می‌باشند. هدف نهایی تمام مدل‌های اغتشاشی، محاسبه اندازه تنش رینولدز  $\rho \bar{u}_i \bar{u}_j$  در نقاط مختلف جریان است. در جدول (۱-۴) به دسته‌بندی مدل‌های آشفتگی پرداخته شده است.

جدول ۱-۴- مدل‌های آشفتگی مختلف جهت حل جریان [۵۸]

روابط اساسی	مدل‌های بر پایه RANS			RSM	LES
	مدل‌های لزجت گردابی	مدل‌های یک معادله‌ای	مدل‌های دو معادله‌ای		
- بوزینسک <sup>۳۲</sup> - لاندر <sup>۳۳</sup> - اسپزیال <sup>۳۴</sup>	مدل‌های صفر معادله‌ای - طول اختلاط اتوماتیک <sup>۴۲</sup> - طول اختلاط تعريف شده توسط کاربر <sup>۴۳</sup>	مدل‌های یک معادله‌ای - اسپالارت-آلماراس <sup>۴۱</sup>	مدل‌های دو معادله‌ای - کا-اپسیلون استاندارد <sup>۳۵</sup> - کا-اپسیلون بسط یافته <sup>۳۶</sup> - کا-اپسیلون RNG <sup>۳۷</sup> - کا-اپسیلون غیرابزوتروپیک <sup>۳۸</sup> - کا-اپسیلون ویلکوکس <sup>۳۹</sup> - کا-امگا SST <sup>۴۰</sup>	Reynolds Stress Models	Large Eddy Simulation

مدل‌های آشفتگی موجود را می‌توان از دو منظر نگریست:

الف) روابط حاکم بر لزجت گردابی<sup>۴۴</sup>

ب) مدل‌های لزجت گردابی<sup>۴۵</sup>

<sup>32</sup> Boussinesq

<sup>33</sup> Launder

<sup>34</sup> Speziale

<sup>35</sup> Standard  $k - \varepsilon$

<sup>36</sup> Extended  $k - \varepsilon$

<sup>37</sup> RNG  $k - \varepsilon$

<sup>38</sup> Anisotropic  $k - \varepsilon$

<sup>39</sup> Wilcox  $k - \omega$

<sup>40</sup> SST  $k - \omega$

<sup>41</sup> Spalart-Allmaras

<sup>42</sup> Automatic Mixing Length

<sup>43</sup> User-specified Mixing Length

<sup>44</sup> Eddy-Viscosity Constitutive Relation

<sup>45</sup> Eddy-Viscosity Models

روابط اساسی حاکم بر لزجت گردابی از یک کمیت منفرد که اصطلاحاً لزجت آشفته  $\mu_t$  نامیده می‌شود، برای بیان رابطه بین تنش‌های رینولوز موجود در معادله‌های RANS و پروفیل‌های موجود در میدان جریان متوسط استفاده می‌کنند. از سویی دیگر مدل‌های لزجت گردابی نیز برای محاسبه  $\mu_t$  معرفی شده در روابط اساسی لزجت گردابی استفاده می‌شود.

#### ۴-۱-۱-۴- روابط حاکم بر لزجت گردابی

روابط اساسی حاکم بر لزجت گردابی شامل سه رابطه است که عبارت‌اند از:

۱) رابطه بوزینسک

۲) رابطه لاندر

۳) رابطه اسپزیال

در این پژوهش از رابطه بوزینسک که رابطه پایه و مبنا در مفهوم لزجت گردابی می‌باشد، استفاده شده است. این رابطه بر پایه این اصل بنا شده است که مؤلفه‌های تنش‌های رینولوز متناسب با گرادیان‌های سرعت متوسط می‌باشند؛ یعنی:

$$-\rho \overline{u_i u_j} = 2\mu_t S_{ij} - \frac{1}{3} \left( \rho k + \mu_t \frac{\partial u_k}{\partial x_k} \right) \delta_{ij} \quad (8-4)$$

$$S_{ij} = \frac{1}{2} \left( \frac{\partial u_i}{\partial x_j} + \frac{\partial u_j}{\partial x_i} \right) \quad (9-4)$$

روابط لاندر و اسپزیال نیز در حقیقت بسط رابطه بوزینسک برای پیش‌بینی رفتارهای غیرایزوتروپی آشفته هستند.

مقادیر متوسط جریان و مشتقات مربوط به آن، از حل معادله‌های متوسط ناویر-استوکس در داخل میدان جریان به دست می‌آید.

برای تخمین  $t \mu$  در معادله بالا از مدل‌های اغتشاشی استفاده می‌شود که در ادامه به هر یک از آن‌ها خواهیم پرداخت.

#### ۴-۱-۲-۲- مدل‌های لزجت گردابی

می‌توان هر یک از سه رابطه اساسی را با هر یک از شش مدل دو معادله‌ای ترکیب نمود تا به ترکیب جامعی برای مدل‌سازی جریان آشفته دست یافت. تنها محدودیتی در این باره وجود دارد این است که برای مدل کا-اپسیلون غیرایزوتروپیک فقط اجازه استفاده از یکی از دو رابطه اساسی غیرایزوتروپ (یعنی روابط لاندر و یا اسپزیال) را خواهیم داشت. با توجه به شکل (۱-۴) می‌توان دید بهتری در مورد کارایی هر یک از مدل‌ها پیدا کرد.

همانطور که اشاره شد هدف هر مدل لزجت گردابی، توصیف رابطه بین  $t \mu$  و کمیت‌های قابل اندازه‌گیری جریان و یا کمیت‌های محاسبه شده میدان جریان است.

مدل‌های صفر معادله‌ای، تنها از روابط و معادله‌های جبری جهت توصیف رابطه بین  $t \mu$  و خواص محاسبه شده و یا قابل اندازه‌گیری استفاده می‌کنند. مدل‌های یک معادله‌ای از یک معادله انتقال با مشتقات جزئی (PDE) اضافی نیز در این بین استفاده می‌کنند. مدل‌های دو معادله‌ای نیز شامل دو معادله با مشتقات جزئی اضافی هستند.

واضح است که هیچ مدل آشفتگی وجود ندارد که برای تمامی مسائل مهندسی جوابگو باشد. انتخاب مدل از بین مدل‌های موجود، به فیزیک جریان مورد مطالعه، وجود یا عدم وجود رژیم‌های مختلف جریان، میزان دقت مورد نیاز، امکانات محاسباتی سختافزاری و نرمافزاری، زمان موردنیاز برای رسیدن به جواب معقول و ... بستگی دارد.

از لحاظ محاسبات و خواص همگرایی می‌توان انتظار داشت که در استفاده از مدل‌های صفر معادله‌ای، رفتاری شبیه به رفتار جریانات آرام را شاهد باشیم به‌طوری که در برخی موارد این مدل‌ها بهنام مدل جریان آرام نیز خوانده می‌شوند. حل عددی با استفاده از این مدل‌ها با سرعت بیشتری همگرا می‌شود و در تکرارهای کمتری به جواب می‌رسیم.

در مدل‌های یک معادله‌ای یکی از دو مقیاس مهم در جریان آشفته، از میان زمان مقیاس جریان آشفته و طول مقیاس جریان آشفته و یا ترکیبی از این دو با استفاده از یک معادله انتقالی به دست می‌آید. معمولاً برای انرژی جنبشی آشفته<sup>۴۶</sup>، از یک معادله انتقالی استفاده می‌شود.

مدل اسپالارت-آلماراس یک مدل تک معادله‌ای ساده است که یک معادله مدل شده انتقال را برای به‌دست آوردن  $t_u$  حل می‌کند. این مدل در مسائلی که نمی‌توان از شبکه بسیار ریز استفاده کرد و همچنین در نزدیکی دیوارهایی که گرادیان فشار معکوس دارند، نتایج خوبی ارائه می‌دهد. این مدل در ابتدا برای جریان‌هایی با اعداد رینولدز پایین ارائه شد، یعنی استفاده مؤثر از این مدل تنها محدود به نواحی متأثر از لزجت در داخل لایه مرزی و نواحی مشابه است.

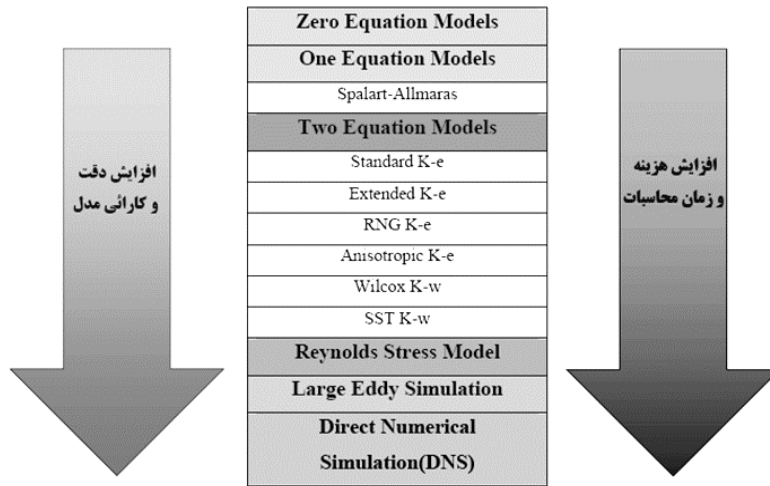
مدل‌های دو معادله‌ای به عنوان زیربنای بسیاری از تحقیق‌ها مربوط به مدل‌سازی جریان آشفته، مخصوصاً در سال‌های اخیر مورد توجه قرار گرفته‌اند. ساده‌ترین مدل‌های کامل آشفتگی، مدل‌های دو معادله‌ای هستند که در آن‌ها حل دو معادله انتقال جداگانه باعث تعیین مقیاس لزجت آشفتگی<sup>۴۶</sup> و مقیاس طول آشفتگی<sup>۴۷</sup> به صورت مستقل می‌شود. نقطه آغاز تمام مدل‌های دو معادله‌ای، استفاده از تقریب بوزینسک و معادله انتقال برای انرژی جنبشی آشفتگی<sup>۴۸</sup> می‌باشد. انتخاب متغیر دوم دلخواه بوده و تاکنون پیشنهادهای بسیاری برای این متغیر ارائه شده است [۵۸].

---

<sup>۴۶</sup>Turbulent Viscosity Scale

<sup>۴۷</sup>Turbulent Length Scale

شکل (۴-۱) نشان دهنده خلاصه‌ای از مقایسه بین مدل‌های آشفتگی مختلف از نظر دقیق و هزینه محاسباتی می‌باشد.



شکل ۴-۱ - مقایسه بین مدل‌های آشفتگی مختلف [۵۸]

## ۲-۴-۴- مدل‌سازی آشفتگی در پژوهش حاضر

در این پژوهش برای شبیه‌سازی آشفتگی از مدل آشفتگی کا-اپسیلون استاندارد استفاده شده است که یک مدل بسیار مناسب برای جریان‌های رینولدز-بالا<sup>۴۸</sup> می‌باشد [۵۹]. برای شبیه‌سازی رفتار نزدیک دیواره نیز از تابع دیواره استاندارد<sup>۴۹</sup> بهره گرفته شده است. دو معادله انتقال اضافی (معادلات  $k$  و  $\varepsilon$ ) در این مدل آشفتگی به ترتیب به صورت معادلات زیر هستند [۵۲ و ۵۴]:

$$\frac{\partial}{\partial x_i} (\rho k u_i) = \frac{\partial}{\partial x_j} \left[ \left( \mu + \frac{\mu_t}{\sigma_k} \right) \frac{\partial k}{\partial x_j} \right] + G_k + G_b - \rho \varepsilon - Y_M \quad (10-4)$$

$$\frac{\partial}{\partial x_i} (\rho \varepsilon u_i) = \frac{\partial}{\partial x_j} \left[ \left( \mu + \frac{\mu_t}{\sigma_\varepsilon} \right) \frac{\partial \varepsilon}{\partial x_j} \right] + C_{1\varepsilon} \frac{\varepsilon}{k} (G_k) - C_{\gamma\varepsilon} \rho \frac{\varepsilon^2}{k} \quad (11-4)$$

در این معادله‌ها،  $G_k$  تولید انرژی جنبشی آشفتگی ناشی از گرادیان‌های سرعت متوسط می‌باشد و با استفاده از رابطه (۱۲-۴) به دست می‌آید [۵۲].

<sup>48</sup> High-Reynolds

<sup>49</sup> Standard Wall Function

$$G_k = -\rho \overline{u_i u_j} \frac{\partial u_j}{\partial x_i} \quad (12-4)$$

برای محاسبه  $G_k$  در یک روش سازگار با فرضیه بوزینسک، می‌توان از رابطه (13-4) استفاده کرد

.[۵۲]

$$G_k = \mu_t S^r \quad (13-4)$$

$$S \equiv \sqrt{2S_{ij}S_{ij}} \quad (14-4)$$

با جایگذاری  $S_{ij}$  از رابطه (9-4)، رابطه (13-4) به صورت (15-4) در می‌آید که به عنوان رابطه نهایی

جهت محاسبه  $G_k$  مورد استفاده قرار می‌گیرد. لازم به ذکر است که برای حالت جریان دو بعدی، رابطه

(15-4) به صورت رابطه (16-4) ساده می‌گردد.

$$G_k = 2\mu_t \left[ \left( \frac{\partial u}{\partial x} \right)^r + \left( \frac{\partial v}{\partial y} \right)^r + \left( \frac{\partial w}{\partial z} \right)^r \right] + \left( \frac{\partial u}{\partial y} + \frac{\partial v}{\partial x} \right)^r + \left( \frac{\partial u}{\partial z} + \frac{\partial w}{\partial x} \right)^r + \left( \frac{\partial w}{\partial y} + \frac{\partial v}{\partial z} \right)^r \quad (15-4)$$

$$G_k = 2\mu_t \left[ \left( \frac{\partial u}{\partial x} \right)^r + \left( \frac{\partial v}{\partial y} \right)^r \right] + \left( \frac{\partial u}{\partial y} + \frac{\partial v}{\partial x} \right)^r \quad (16-4)$$

سایر کمیت‌های موجود در معادلات (10-4) و (11-4)،  $G_b$  و  $Y_M$  هستند که به ترتیب بیانگر تولید

انرژی جنبشی آشفتگی ناشی از شناوری<sup>۵۰</sup> و سهم اتساع نوسانی<sup>۵۱</sup> در آشفتگی تراکم‌پذیر از نرخ اتلاف

کل<sup>۵۲</sup> می‌باشند و با استفاده از روابط زیر تعیین می‌شوند [۵۴].

$$G_b = -g_i \frac{\mu_t}{\rho \Pr_t} \frac{\partial \rho}{\partial x_i} \quad (17-4)$$

$$Y_M = 2\rho \varepsilon Ma_t^r \quad (18-4)$$

$$Ma_t = \sqrt{\frac{k}{a^r}} \quad (19-4)$$

در معادله (19-4)،  $a$  بیانگر سرعت صوت بوده و به صورت  $a = \sqrt{\gamma RT}$  تعریف می‌شود.

<sup>50</sup> Buoyancy

<sup>51</sup> Fluctuating Dilatation

<sup>52</sup> Overall Dissipation Rate

در معادله‌های (۱۰-۴) و (۱۱-۴)،  $C_{۱\epsilon} = 1/۹۲$ ،  $C_{۲\epsilon} = 1/۴۴$  عده‌های ثابتی هستند. لزجت آشفته نیز

به صورت  $\sigma_t = \rho C_\mu \frac{k^3}{\epsilon}$  تعریف می‌شود که در آن  $C_\mu = ۰/۰۹$  می‌باشد. همچنین  $\sigma_k = ۱/۳$  و  $\sigma_\epsilon = ۱/۳$

به ترتیب بیان گر اعداد پرانتل آشفته برای  $k$  و  $\epsilon$  می‌باشند [۵۲ و ۵۴].

نکته بسیار مهمی که بایستی در نظر گرفته شود، آن است که تمام مدل‌های آشفتگی از معادلات حاکم بر جریانات تراکم‌ناپذیر در محاسبه کمیت‌های آشفته استفاده می‌نمایند. زیرا بر طبق نظریه مارکوین<sup>۵۳</sup>، تنها در جریان‌های فراصوت (Hyper-Sonic) با عدد ماخ بزرگ‌تر از ۵ است که کمیت‌های آشفتگی از تراکم‌پذیری تأثیر می‌پذیرند و در سرعت‌های پایین‌تر می‌توان در محاسبه کمیت‌های آشفتگی (نظیر مدل‌سازی تنش‌های رینولدز)، از معادلات آشفتگی حاکم بر جریانات تراکم‌ناپذیر استفاده نمود [۶۰].

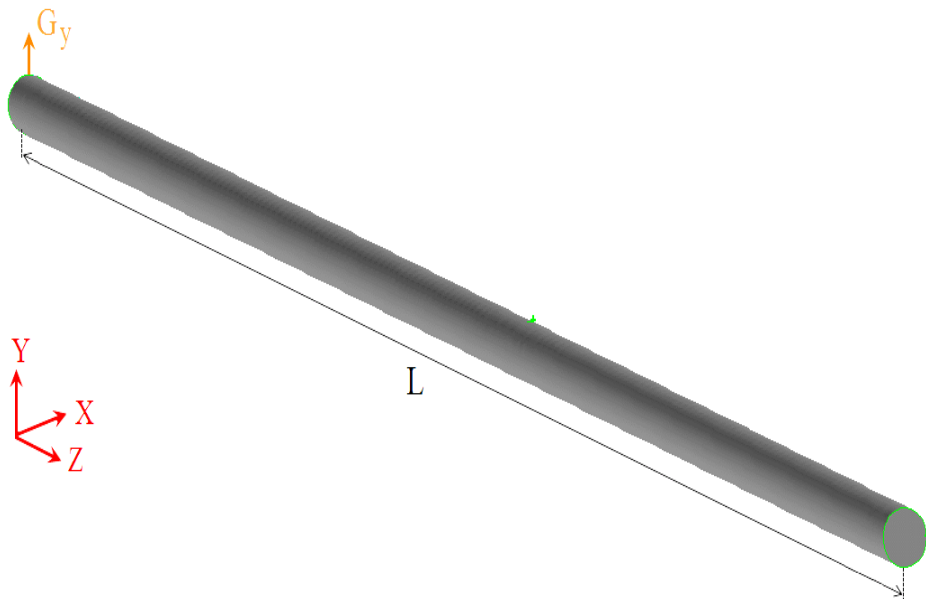
## ۴-۵- هندسه مورد بررسی و شبکه‌بندی

برای طراحی و شبکه‌بندی هندسه مورد بررسی در این پژوهش از نرم‌افزار گمبیت<sup>۵۴</sup> استفاده شده است. به دلیل طولانی بودن خطوط لوله گاز مدل‌سازی کل طول خطوط توزیع گاز محدود نمی‌باشد. لذا لوله‌ای به طول ۵ متر به عنوان محیط حل این تحقیق انتخاب شده است که در فاصله ۳ متری از نقطه ابتدایی هندسه، یک سوراخ در بالای سطح جانبی آن ایجاد شده است. در این پژوهش سه لوله پر کاربرد موجود در خطوط توزیع گاز با قطرهای نامی ۱۱۴/۶، ۱۶۳/۶ و ۲۰۴/۶ میلی‌متر مدل‌سازی شده‌اند. هندسه موردنظر در حالت سه‌بعدی و برای لوله روزمینی و لوله مدفون در خاک طراحی شده و در حالت مدفون، ارتفاع خاک بالای لوله برابر ۱/۵ متر در نظر گرفته شده و میزان تخلخل خاک نیز

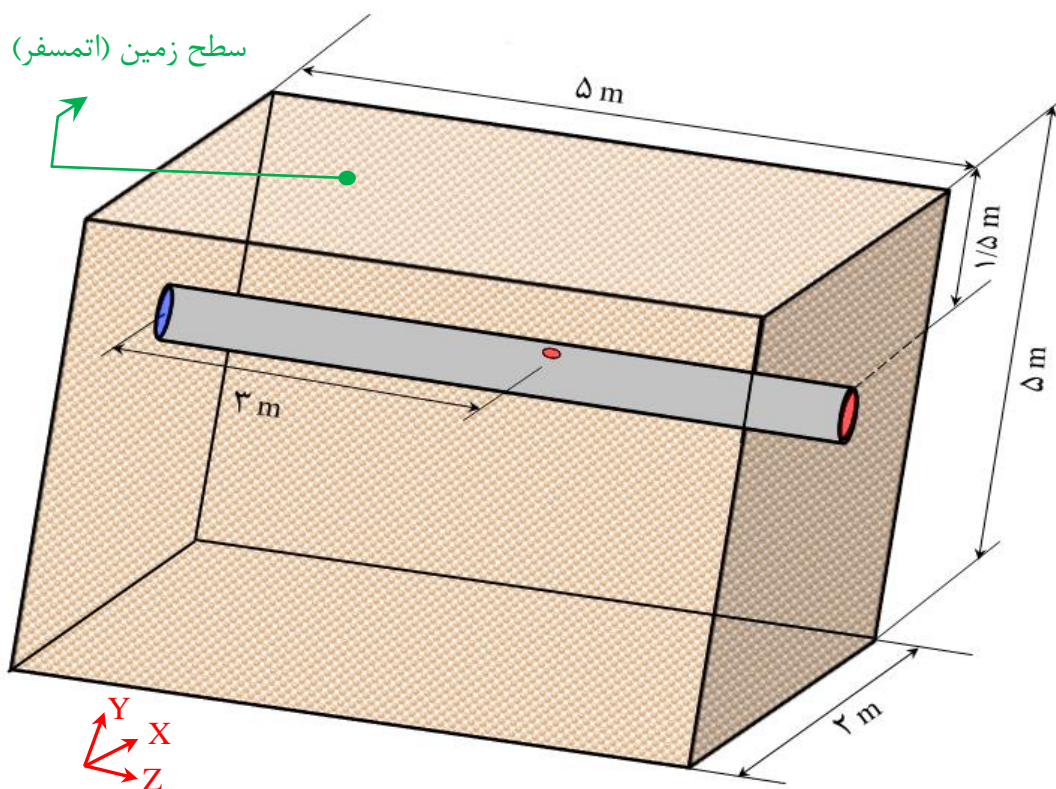
<sup>۵۳</sup> Morkovin's hypothesis

<sup>۵۴</sup> Gambit

برابر  $\gamma = 0.35$  فرض شده است. در شکل‌های (۴-۲) و (۴-۳) به ترتیب محیط حل سه‌بعدی در حالت‌های لوله روزمینی و مدفون در خاک نشان داده شده است.

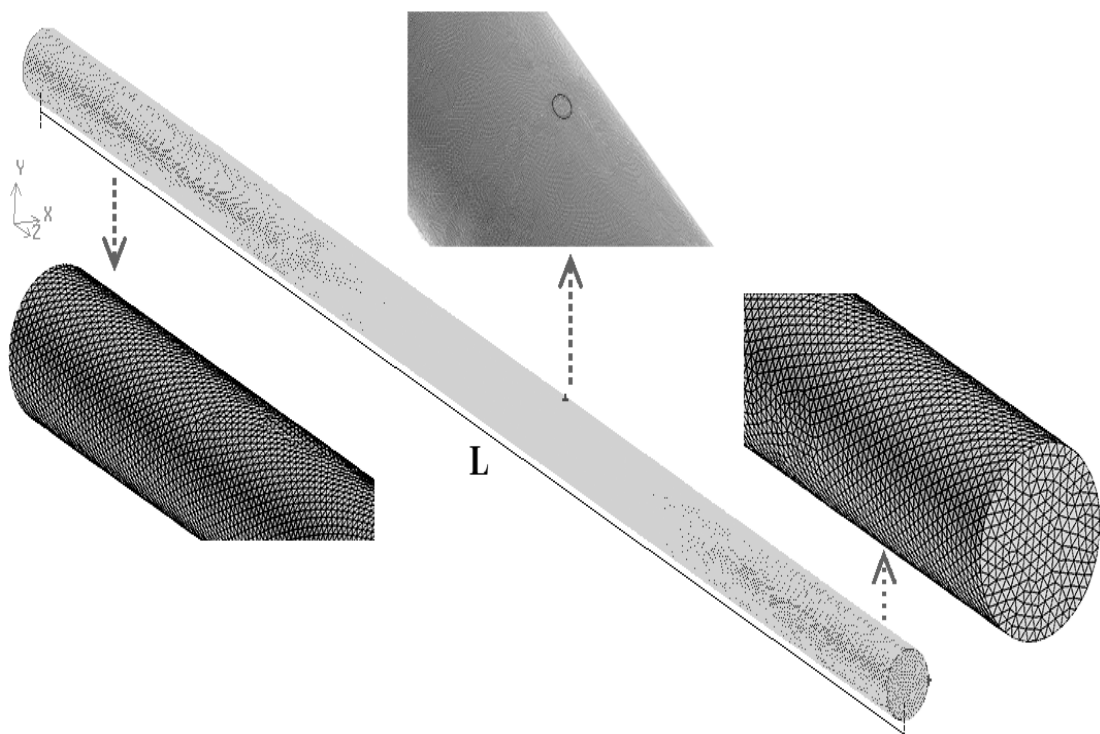


شکل ۴-۲- محیط حل در حالت لوله روزمینی



شکل ۴-۳- محیط حل در حالت لوله مدفون در خاک

شبکه‌بندی مدل‌های مورد بررسی با استفاده از شبکه‌های بی‌سازمان<sup>۵۵</sup> (سلول‌های مثلثی) انجام شده است. از آنجا که دیوارهای به عنوان منبع اصلی تشکیل حالت گردابی<sup>۵۶</sup> و آشفتگی<sup>۵۷</sup> می‌باشند و در نزدیکی دیوارهای کمیت‌هایی چون سرعت دارای گرادیان شدیدی هستند، مدل کردن صحیح جریان در نزدیکی دیواره اثر بسیار مهمی بر موفقیت‌آمیز بودن حل دارد. لذا در نزدیکی دیوارهای و همچنین سوراخ، شبکه‌بندی بسیار ریزتر از نواحی دیگر انتخاب شده است. شکل‌های (۴-۴) و (۵-۴) به ترتیب نشان‌دهنده هندسه شبکه‌بندی شده در حالت‌های لوله روزمینی و لوله مدفون می‌باشند.

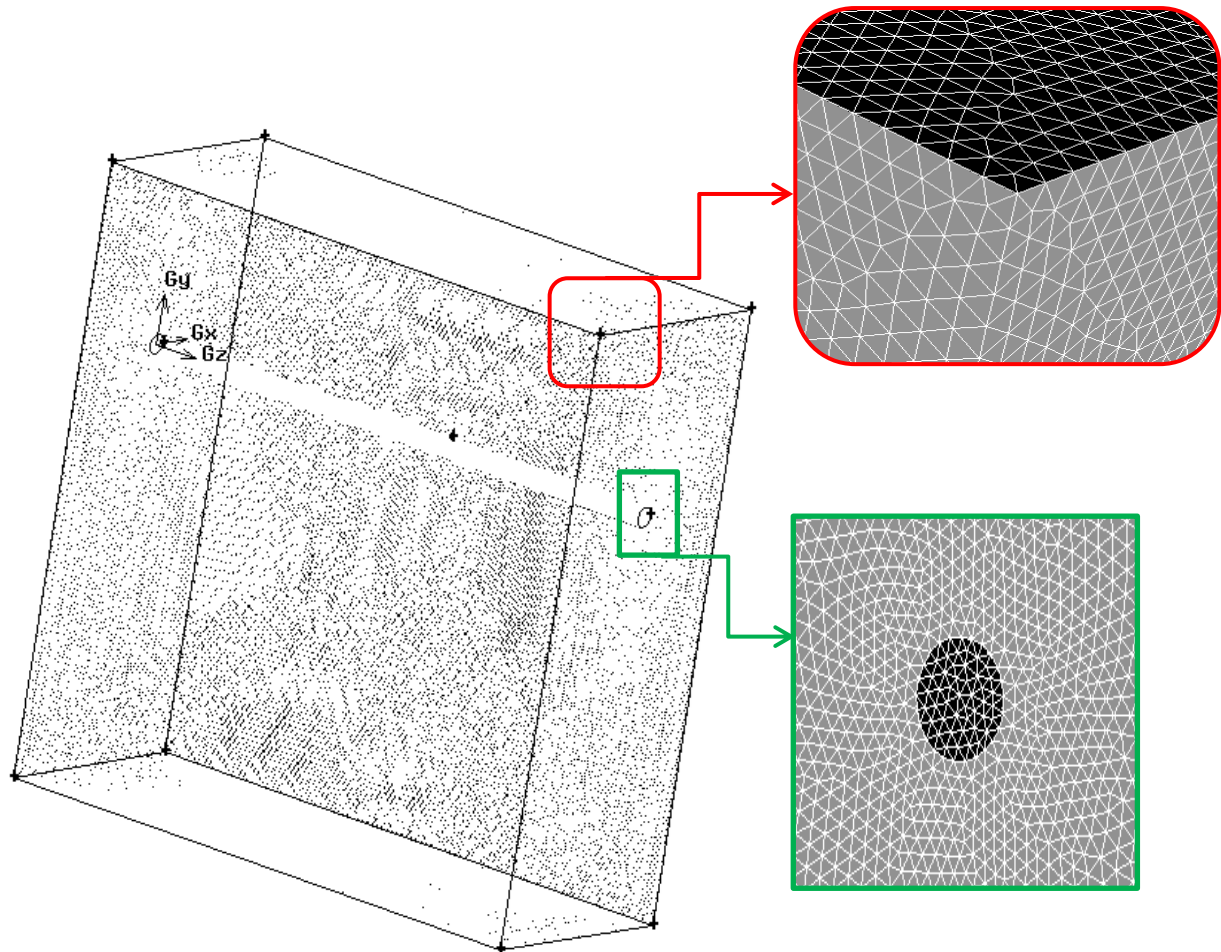


شکل ۴-۴- شبکه‌بندی محیط حل در حالت لوله روزمینی

<sup>۵۵</sup> Unstructured mesh

<sup>۵۶</sup> Vorticity

<sup>۵۷</sup> Turbulence



شکل ۴-۵- شبکه‌بندی محیط حل در حالت لوله مدفون در خاک

#### ۱-۵-۴- اعتبارسنجی شبکه

برای بررسی عدم وابستگی نتایج به تعداد سلول‌های به کاررفته در دامنه محاسباتی، چهار مدل مطالعاتی با تعداد سلول‌های مختلف برای یک نمونه با قطر لوله و قطر سوراخ مشابه، بررسی شده است. نتایج حاصل از این بررسی در جدول (۲-۴) برای حالت لوله روزمینی آورده شده است. این جدول برای لوله‌ای با قطر  $163/6$  میلی‌متر می‌باشد که سوراخی به قطر  $30$  میلی‌متر بر روی آن ایجاد شده و فشار ابتدای خط لوله  $5$  بار است. همان‌طور که مشاهده می‌شود، درصد اختلاف نسبی بین نتایج حاصل از هندسه‌های با تعداد  $599493$  سلول و  $1601839$  سلول، حدود  $3/2\%$  بوده و این اختلاف بین هندسه‌های با تعداد  $1601839$  سلول و  $1909518$  سلول، تقریباً  $0/27\%$  می‌باشد که

این مقدار اختلاف بسیار ناچیز و قابل قبول می‌باشد. بنابراین بهدلیل قابل صرفنظر بودن اختلاف، جهت کاهش هزینه‌های محاسباتی شبکه‌ای با تعداد سلول ۱۶۰۱۸۳۹ برای نمونه با مشخصات مذکور انتخاب شده است. لازم به ذکر است که بهدلیل کوچک بودن قطر سوراخ و قطر لوله در مقایسه با طول لوله، می‌توان این الگوی شبکه‌بندی برای سایر نمونه‌های مورد بررسی در پژوهش حاضر نیز گسترش داد و حدود تعداد سلول‌های به‌کاررفته در نمونه‌های مختلف پژوهش، تفاوت قابل توجهی ندارند.

جدول ۴-۲- تأثیر تعداد مش بر دبی جرمی گاز نشت‌یافته (برای حالت روزمنی)

تعداد سلول‌های محاسباتی در دامنه حل	دبی جرمی گاز نشت‌یافته (kg/s)
۲۴۰۲۰۵	۰/۶۴۳۳۰
۵۹۹۴۹۳	۰/۶۰۴۸۰
۱۶۰۱۸۳۹	۰/۵۸۵۳۲
۱۹۰۹۵۱۸	۰/۵۸۳۶۹

در مورد مدل مدفون نیز پس از انجام روند فوق، شبکه نهایی مورد بررسی برای لوله با قطر ۱۶۳/۶ میلی‌متر و قطر سوراخ ۳۰ میلی‌متر دارای تعداد ۲۹۱۸۳۷۷ سلول محاسباتی می‌باشد که دبی جرمی خروجی از سوراخ برای هندسه مذکور و با فشار ۵ بار، برابر ۰/۰۵۴۶۲ کیلوگرم بر ثانیه می‌باشد.

#### ۴-۶- شرایط مرزی و اولیه

در مقطع ورودی لوله، شرط مرزی از نوع فشار ورودی<sup>۵۸</sup> و در مقطع انتهای لوله از نوع فشار خروجی<sup>۵۹</sup> استفاده شده است. برای جدارهای لوله نیز شرط مرزی از نوع دیواره<sup>۶۰</sup> در نظر گرفته شده است. در

<sup>58</sup> Pressure Inlet

<sup>59</sup> Pressure Outlet

<sup>60</sup> Wall

حالت لوله مدفون در خاک، سطح خاک که در تماس با محیط اطراف می‌باشد، دارای شرط مرزی فشار خروجی می‌باشد. شرط مرزی سوراخ نیز در حالت لوله روزمینی از نوع فشار خروجی می‌باشد؛ اما در حالت لوله مدفون، از آنجایی که سوراخ یک مرز مشترک برای لوله و خاک می‌باشد، از شرط مرزی داخلی<sup>۶۱</sup> استفاده شده است. نوع شرایط مرزی استفاده شده در جدول (۳-۴) آورده شده است.

جدول ۳-۴ - نوع شرایط مرزی مورد استفاده در پژوهش

نوع شرط مرزی	مرز مورد نظر
فشار ورودی	ابتدای لوله
فشار خروجی	انتهای لوله
دیواره	سطح جانبی لوله
فشار خروجی	در حالت لوله رو زمینی
مرز داخلی	
فشار خروجی	سطح زمین (در حالت مدفون)

همچنین شرایط زیر در مسئله اعمال شده است:

- فشار گاز در ابتدای لوله به ازای مقادیر مختلفی در بازه ۳ الی ۵ بار بررسی شده است.
- دمای گاز در ابتدای لوله ۲۸۸ کلوین در نظر گرفته شده است.
- ضریب اصطکاک و افت فشار به ازای طول لوله به ترتیب بر اساس معادله کولبروک-وايت و معادله جریان عمومی بر حسب روابط (۲۰-۴) و (۲۱-۴) محاسبه گردیده‌اند. لوله مورد نظر نیز دارای زبری مطلق  $mm = 0.015$  می‌باشد [۶۱].

<sup>61</sup> Interior

$$\frac{1}{\sqrt{f}} = -2 \log \left( \frac{\epsilon}{3/\gamma D} + \frac{2/51}{Re \sqrt{f}} \right) \quad (20-4)$$

$$Q_b = 1/1494 \times 10^{-3} \left( \frac{T_b}{p_b} \right) \sqrt{\frac{p_1 - p_2}{G T_f Z L f}} D^{2/5} \quad (21-4)$$

$$Re = \frac{\rho u D}{\mu} \quad (22-4)$$

در روابط فوق،  $f$ ،  $\epsilon$ ،  $D$ ،  $Z$ ،  $T_f$ ،  $G$  و  $Re$  به ترتیب بیانگر ضریب اصطکاک، زبری مطلق لوله (mm)، قطر لوله (mm)، وزن مخصوص گاز (در این پژوهش برابر  $6/0$  در نظر گرفته شده است)، دمای جریان داخل لوله (دمای متوسط) (K)، ضریب تراکم‌پذیری گاز، طول لوله (km) و عدد رینولدز می‌باشد.

$p_b = 101 \text{ kPa}$  و  $T_b = 288 \text{ K}$  معرف دبی جریان گاز نرمال شده در شرایط استاندارد (atm=1 kPa=1 atm) و  $15^\circ\text{C}$  ( $288 \text{ K}$ ) بر حسب  $\text{m}^3/\text{day}$  و بین دو نقطه دلخواه ۱ (نقطه ابتدایی) و ۲ (نقطه انتهایی) از یک لوله صاف با فشارهای  $p_1$  و  $p_2$  (بر حسب kPa) می‌باشد.

## ۷-۴- شبیه‌سازی خاک

همان‌طور که قبلاً اشاره شد، برای شبیه‌سازی خاک، از تعریف یک ناحیه متخلخل استفاده شده است که خواص خاک مورد مطالعه در این پژوهش در جدول (۴-۴) ارائه شده است. همچنین سیال عبوری از بین ذرات خاک، هوا در نظر گرفته شده است.

---

<sup>62</sup>  $Q_b = Q \times \frac{\rho(T, p)}{\rho(15^\circ\text{C}, 1 \text{ atm})} = \frac{\dot{m}}{\rho(15^\circ\text{C}, 1 \text{ atm})}$

جدول ۴-۴- خواص خاک مورد استفاده در پژوهش حاضر [۶۲]

مقدار	خاصیت (واحد)
$1/6 \times 10^{-9}$	نفوذپذیری ( $m^3/s$ )
۲/۹	ضریب هدایت حرارتی ( $W/mK$ )
۷۳۲/۶۹	ظرفیت حرارتی ( $J/kgK$ )
۲۶۵۰	چگالی ( $kg/m^3$ )

ضرایب مورد نیاز برای مدل کردن مقاومت محیط متخلخل در برابر حرکت سیال به دو صورت تجربی و یا از خواص ماده متخلخل تعریف می‌شود. مقاومت ویسکوز<sup>۶۳</sup> و مقاومت اینرسی<sup>۶۴</sup> ضرایبی هستند که از خواص ماده متخلخل مورد استفاده به دست می‌آیند. مقاومت ویسکوز به صورت معکوس نفوذ-پذیری ماده متخلخل ( $\frac{1}{\alpha}$ ) تعریف می‌شود. مقاومت اینرسی برای رژیم جریان آرام بسیار ناچیز و قابل صرف نظر است. همچنین در صورت در دست نبودن خواص ماده متخلخل، می‌توان از ضرایب  $C_1$  و  $C_2$  که از داده‌های آزمایشگاهی به دست می‌آیند، استفاده کرد.

یک روش دیگر برای تعیین ضرایب مقاومت‌های ویسکوز و اینرسی، استفاده از فرمول‌های تجربی می-باشد. به عنوان نمونه، یک فرمول تجربی توسط ارگان [۶۳] برای محاسبه این ضرایب ارائه شده است که در این فرمول، مقاومت‌های ویسکوز و اینرسی به عنوان تابعی از قطر ذرات متخلخل و میزان تخلخل بوده و به صورت روابط (۲۳-۴) و (۲۴-۴) می‌باشد. لازم به ذکر است که در این روابط  $\alpha$  نفوذپذیری،  $C_1$  میزان تخلخل و  $d_p$  قطر ذرات متخلخل بوده و مقدار مقاومت‌های ویسکوز و اینرسی به ترتیب معادل  $\frac{1}{\alpha}$  و  $C_2$  می‌باشند.

<sup>63</sup> Viscous Resistance

<sup>64</sup> Inertial Resistance

$$\alpha = \frac{d_p}{150} \cdot \frac{\gamma^3}{(1-\gamma)^2} \quad (23-4)$$

$$C_\gamma = \frac{3/5}{d_p} \cdot \frac{(1-\gamma)}{\gamma^2} \quad (24-4)$$

پس از جایگذاری مقادیر مربوط به مشخصات خاک مورد بررسی در پژوهش (که در قسمت‌های قبل اشاره گردید) و استفاده از روابط فوق، مقادیر مقاومت‌های ویسکوز و اینرسی مورد استفاده در پژوهش حاضر به ترتیب  $m^{-2}$  و  $m^{-1}$  خواهد بود.

## ۴-۸-۱- فرآیند حل عددی

معادلات حاکم بر مسئله با استفاده از روش بادسو<sup>۶۵</sup> گسته‌سازی شده‌اند. ارتباط بین جملات سرعت و فشار نیز از طریق الگوریتم سیمپل صورت گرفته است. حل‌گر مسئله نیز از نوع مبتنی بر فشار<sup>۶۶</sup> انتخاب شده است. نمودار (۴-۱) همگرایی دبی جرمی خروجی از سوراخی با قطر mm ۳۰ در لوله با قطر mm ۱۶۳/۶ و فشار bar ۵ در حالت‌های روزمینی و مدفون را نشان می‌دهد. با بررسی حالت‌های مختلف گسته‌سازی روش بادسو مشاهده شد که در مواردی که سیال تراکم‌پذیر می‌باشد و یا فشار کاری بالا می‌باشد، جهت همگرایی بهتر و صحیح بودن جواب‌ها، بهتر است ابتدا معادلات حاکم بر مسئله به صورت مرتبه اول گسته‌سازی شده و پس از این که حل مسئله با گسته‌سازی مرتبه اول به همگرایی رسید، در ادامه کار از گسته‌سازی مرتبه دوم استفاده نمود. همان‌طور که در نمودار (۴-۱-الف) مشاهده می‌شود، در ابتدای کار، کلیه معادلات حاکم بر مسئله، با روش بادسو مرتبه اول گسته‌سازی و به تعداد ۱۵۰۰ تکرار با این روش حل شده‌اند. با اینکه پس از ۱۵۰۰ تکرار به روش مرتبه اول، جواب به همگرایی رسیده است، اما این جواب صحت کافی ندارد. در ادامه کار، از تکرار ۱۵۰۰ تا ۶۰۰۰، جملات شامل عبارت‌های چگالی با استفاده از روش بادسو مرتبه دوم گسته‌سازی

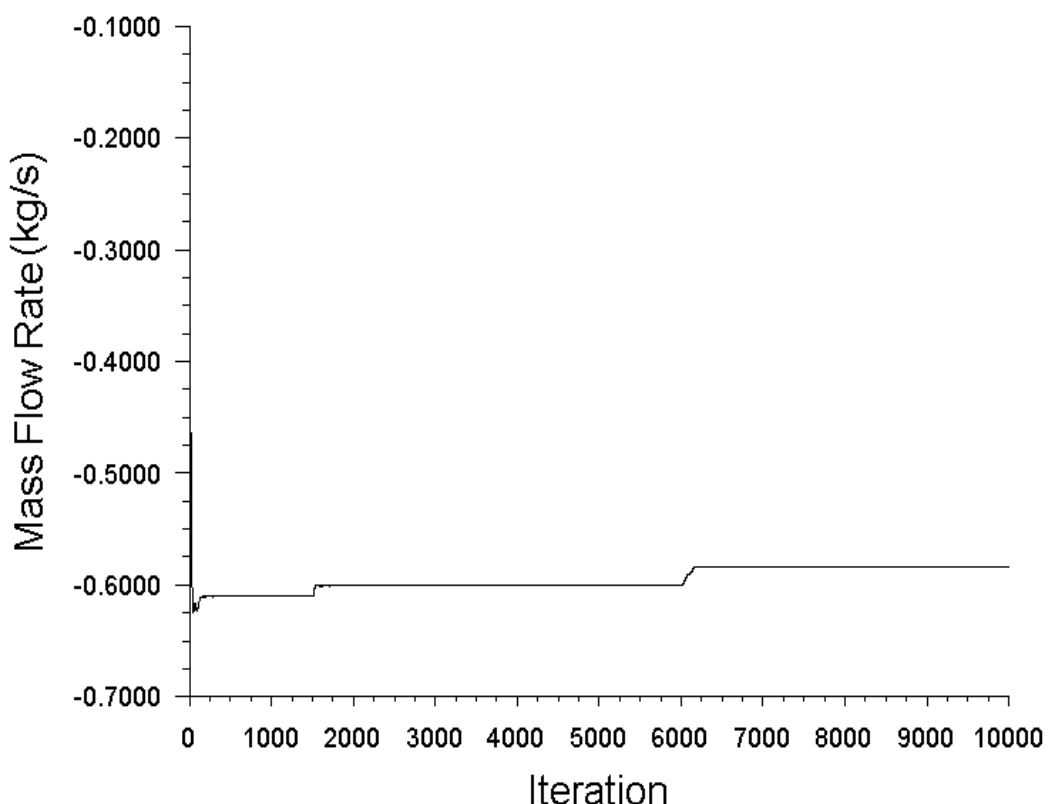
<sup>۶۵</sup> Upwind

<sup>۶۶</sup> Pressure Based

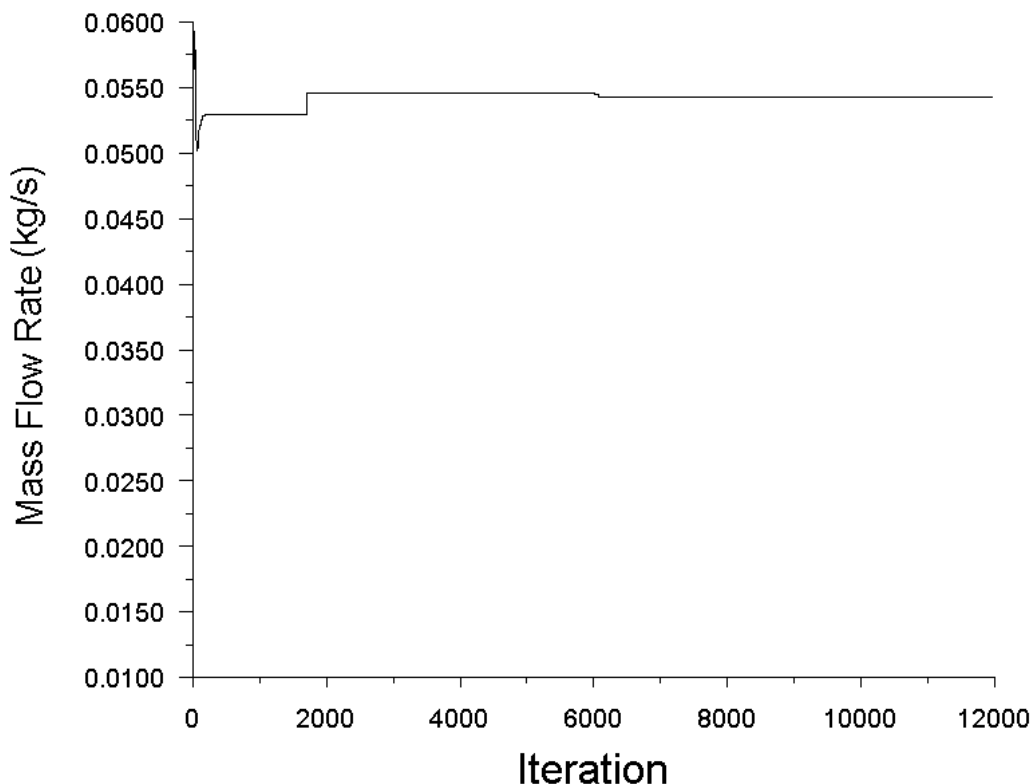
شده و از تکرار ۶۰۰۰ تا ۹۰۰۰ معادله مونتوم نیز به صورت مرتبه دوم گسته‌سازی شده است. در انتهای نیز از تکرار ۹۰۰۰ الی ۱۰۰۰۰، معادله انرژی با روش بادسو مرتبه دوم گسته‌سازی شده است.

این روش گسته‌سازی به خاطر تراکم پذیر بودن سیال مورد نظر و تغییرات ناگهانی متغیرها در نزدیکی سوراخ، مورد استفاده قرار گرفته و باعث می‌شود نتایج به صورت واقعی همگرا شوند.

موارد اشاره شده در فوق، برای لوله مدفون در نمودار (۴-۱-ب) مشاهده می‌شود به طوریکه برای نمونه با قطر لوله  $163/6\text{ mm}$ ، قطر سوراخ  $30\text{ mm}$  و فشار  $5\text{ bar}$  دبی جرمی گاز نشت یافته از سوراخ برابر  $0.054624666\text{ kg/s}$  و دبی جرمی گاز خروجی از سطح خاک (زمین) برابر  $0.054624572\text{ kg/s}$  می‌باشد که نشان دهنده این است که بالانس دبی جرمی با دقت بسیار بالایی برقرار می‌باشد.



(الف)



(ب)

نمودار ۴-۱- همگرایی دبی جرمی خروجی از سوراخ برای، (الف) لوله روزمنی، (ب) لوله مدفون

## ۹-۴- کمیت‌های مهم تأثیرگذار بر میزان نشت گاز طبیعی از خطوط

### توزیع گاز

کلیه کمیت‌هایی که می‌توانند در مسئله نشت گاز طبیعی دخالت داشته باشند شامل طول خط لوله، قطر لوله، قطر سوراخ، فشار خط لوله، افت فشار و دمای خط لوله می‌باشد که در ادامه بررسی می‌گردد که این عوامل در نشت گاز از خطوط لوله توزیع گاز تا چه میزان می‌توانند مؤثر باشند. در انتهای فصل بعد نیز یک رابطه همبسته برای محاسبه نشت گاز طبیعی بر اساس کمیت‌های مختلف تأثیرگذار بر پژوهش، ارائه خواهد شد.

## ۱-۹-۴- طول لوله، افت فشار و فشار نقطه ابتدایی

طول خط لوله تأثیر خود را در قالب افت فشار نشان می‌دهد. در این پژوهش زبری سطح داخلی لوله نیز در نظر گرفته شده است و به دنبال آن افت فشار در طول خط لوله نیز در محاسبات لحاظ شده است.

از طرفی دیگر پژوهش حاضر به بررسی میزان نشت گاز در خطوط توزیع گاز می‌پردازد و سطح فشار در این خطوط پایین می‌باشد و همچنین این خطوط گاز متفاوت از خطوط طویل انتقال گاز با لوله‌های با قطر بزرگ می‌باشد [۳۸]. لذا افت فشار در طول خط لوله ناچیز بوده و فقط شاهد تغییرات ناگهانی خواص در نزدیکی سوراخ هستیم و لذا می‌توان جهت کاهش هزینه‌های محاسباتی یک لوله با طول کمتر را به عنوان دامنه حل در نظر گرفت. بر اساس مطالب فوق، مدل محاسباتی این پژوهش لوله‌ای به طول ۵ متر انتخاب شده است و فشار نقطه ابتدایی به ازای مقادیر مختلف شامل ۳، ۳/۵، ۴، ۴/۵ و ۵ بار مورد بررسی قرار گرفته است.

## ۲-۹-۴- قطر لوله و سوراخ

قطر لوله و سوراخ از تأثیرگذارترین کمیت‌های مسئله نشت گاز در تمام خطوط انتقال و توزیع گاز می‌باشد و به دلیل اهمیت فراوان آن‌ها، مسئله به ازای مقادیر مختلفی از آن‌ها مدل‌سازی شده است. همان‌طور که پیش‌تر نیز بیان گردید، در این پژوهش مسئله به ازای لوله‌هایی با قطر ۱۱۴/۶، ۱۶۳/۶ و ۲۰۴/۶ میلی‌متر بررسی شده است که اصلی‌ترین و پرکاربردترین سایزهای لوله به کار رفته در خطوط توزیع گاز طبیعی می‌باشند. قطر سوراخ نیز سعی شده است به ازای مقادیر مختلفی بررسی گردد تا پژوهش حاضر کامل و جامع باشد.

### ۴-۹-۳- دمای خط لوله

بر اساس نتایج تحقیق لو و همکاران [۴۲]، بهدلیل تغییرات ناچیز دما در طول خطوط لوله توزیع گاز طبیعی، تأثیر دمای نقطه ابتدایی در میزان نشت گاز قابل صرفنظر می‌باشد.

بر اساس مطالب فوق، کمیت‌های مؤثر بر میزان نشت گاز طبیعی در خطوط توزیع گاز شامل قطر لوله، قطر سوراخ و فشار نقطه ابتدایی می‌باشد که در فصل بعدی نحوه تأثیر این کمیت‌ها به صورت کامل مورد بررسی قرار گرفته و یک رابطه همبسته کاربردی جهت محاسبه آن ارائه خواهد شد.

## فصل پنجم

نتائج

## ۱-۵- معتبرسازی حل

حل عددی مربوط به فرآیند نشت گاز با شرایط مرزی اشاره شده در جدول (۴-۳)، صورت پذیرفته شده است و در این بخش به مقایسه نتایج حاصل از این شبیه‌سازی با مطالعات پیشین پرداخته خواهد شد.

جهت اعتبارسنجی مدل موردنظر، نتایج حاصل از این پژوهش با نتایج حاصل از مطالعات منتیل و همکاران [۳۸] و همچنین نتایج حاصل از رابطه (۳-۱) مقایسه شده است. بر این اساس در این بخش شرایط مرزی و اولیه کاملاً مشابه با پژوهش مذکور (منتیل) انتخاب شده‌اند.

همان‌طور که در پیشینه تحقیق نیز اشاره گردید، در تحقیق منتیل و همکاران [۳۸] طولی برای لوله بعد از سوراخ در نظر گرفته نشده و در واقع لوله گاز همانند یک مخزن مدل‌سازی شده بود.

در نمودار (۱-۵) به مقایسه نتایج مربوط به دبی حجمی نرمال شده خروجی از سوراخ بین این تحقیق و تحقیق انجام‌شده توسط منتیل و همکاران [۳۸] و همچنین رابطه (۳-۱) پرداخته شده است.

همان‌طور که مشاهده می‌شود نحوه تغییرات دبی نشتی مطابق با پژوهش‌های پیشین می‌باشد که نشان‌دهنده صحت مدل‌سازی انجام‌شده می‌باشد. از سوی دیگر با مقایسه حالت‌های مختلف موجود در نمودار (۱-۵) مشخص می‌گردد که در نظر گرفتن طول لوله بعد از سوراخ باعث افزایش میزان دبی

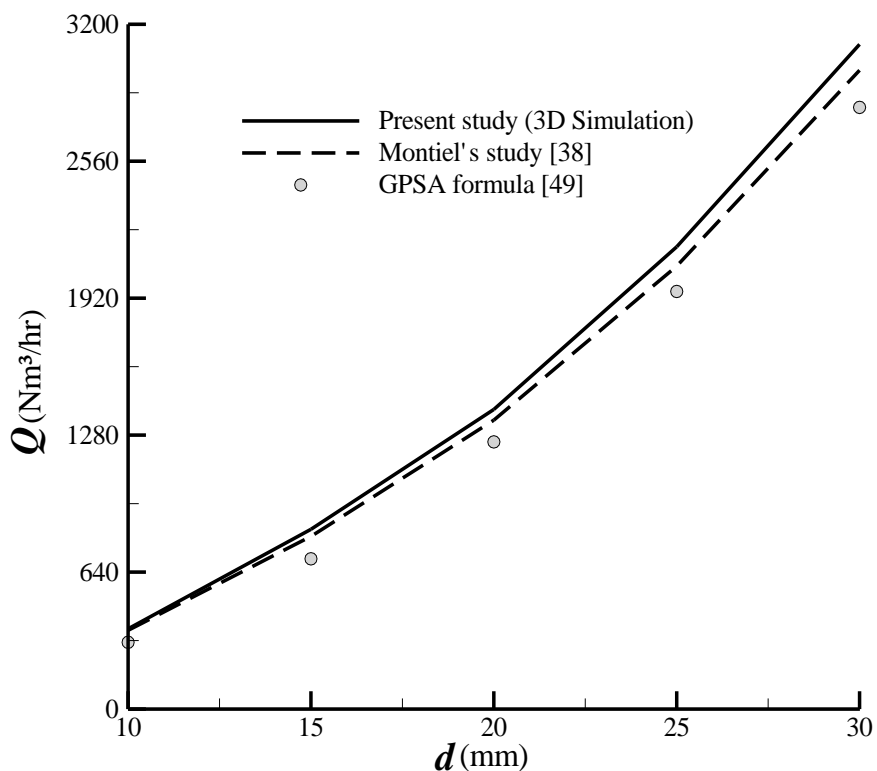
حجمی گاز نشت‌یافته از سوراخ نسبت به تحقیق منتیل [۳۸] می‌گردد که علت آن را می‌توان در برگشت جریان از طول لوله بعد از سوراخ دانست. از طرفی، با افزایش قطر سوراخ، فشار سوراخ افزایش یافته و به‌دبیال آن برگشت جریان از سمت پایین دست بیشتر خواهد شد و اختلاف نتیجه‌های دو

تحقیق کمی بیشتر می‌شود؛ به‌طوری‌که کمترین و بیشترین مقدار قدرمطلق درصد اختلاف نسبی<sup>۶۷</sup> بین نتایج پژوهش حاضر نسبت به نتایج تحقیق منتیل و همکاران [۳۸] به ترتیب برابر٪ ۲ و٪ ۵ بوده

<sup>67</sup> ۱۰۰٪ |نتیجه پژوهش منتیل / اختلاف نتایج بین دو پژوهش|

و در حالتی که این مقادیر با نتایج حاصل از فرمول GPSA [۴۹] مقایسه شود، کمترین و بیشترین درصد اختلاف نسبی برابر ۱۱٪ و ۲۰٪ خواهد بود.

در بخش (۲-۳) اشاره گردید که مدل و فرضیاتی که در رابطه (۱-۳) اعمال شده است، باعث می‌گردد که نتایج حاصل از این رابطه از حادثه واقعی نشت گاز به دور باشد. با مقایسه نتایج مربوط به رابطه (۱-۳) با نتایج پژوهش کنونی و مطالعات پیشین، مشاهده می‌شود که درصد اختلاف نسبی قابل توجه است و مطالب اشاره شده در بخش (۲-۳) تأیید می‌گرد.



نمودار ۵-۱- مقایسه دبی حجمی نشتی بین پژوهش حاضر (در حالت روزمنی)، پژوهش منتیل و فرمول GPSA

## ۵-۲- بررسی کمیت‌های تأثیرگذار بر میزان نشت گاز طبیعی

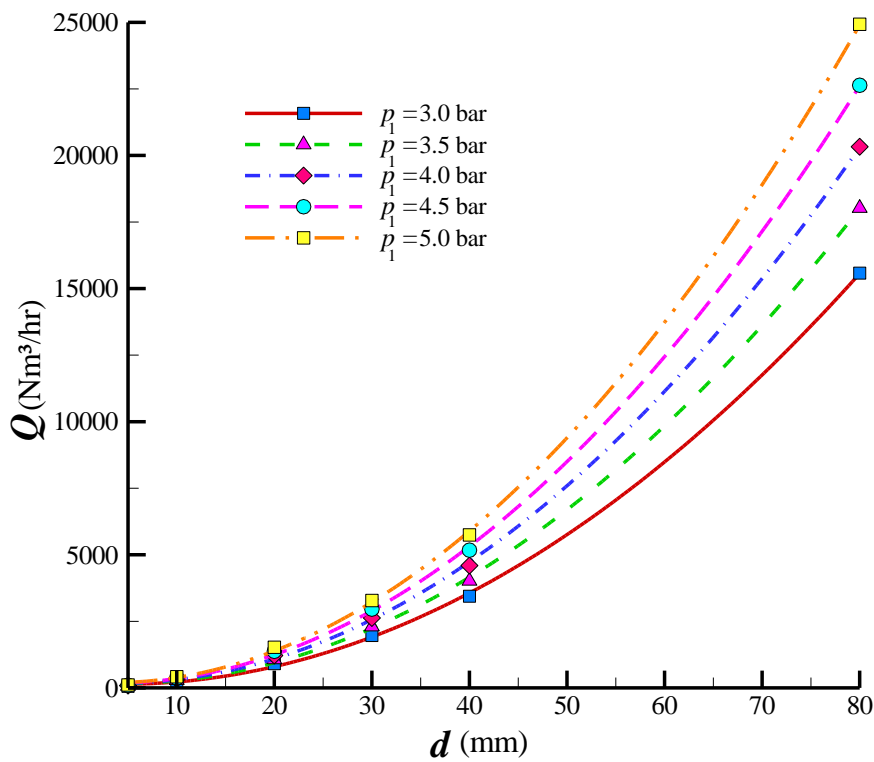
در فصل‌های پیشین فرضیات، روابط حاکم و کمیت‌های مؤثر بر میزان نشت گاز به تفصیل تشریح گردید. حال در این بخش به بررسی کامل تمام کمیت‌های مؤثر اشاره شده در فصل‌های قبل پرداخته

شده و میزان و نحوه تأثیر هر یک از این کمیت‌ها بررسی خواهد شد. نتایج نشستی برای سه لوله مختلف در خطوط توزیع گاز، بهارای فشارها و قطرهای سوراخ مختلف و در دو حالت لوله روزمنی و لوله مدفون در خاک ارائه خواهد شد.

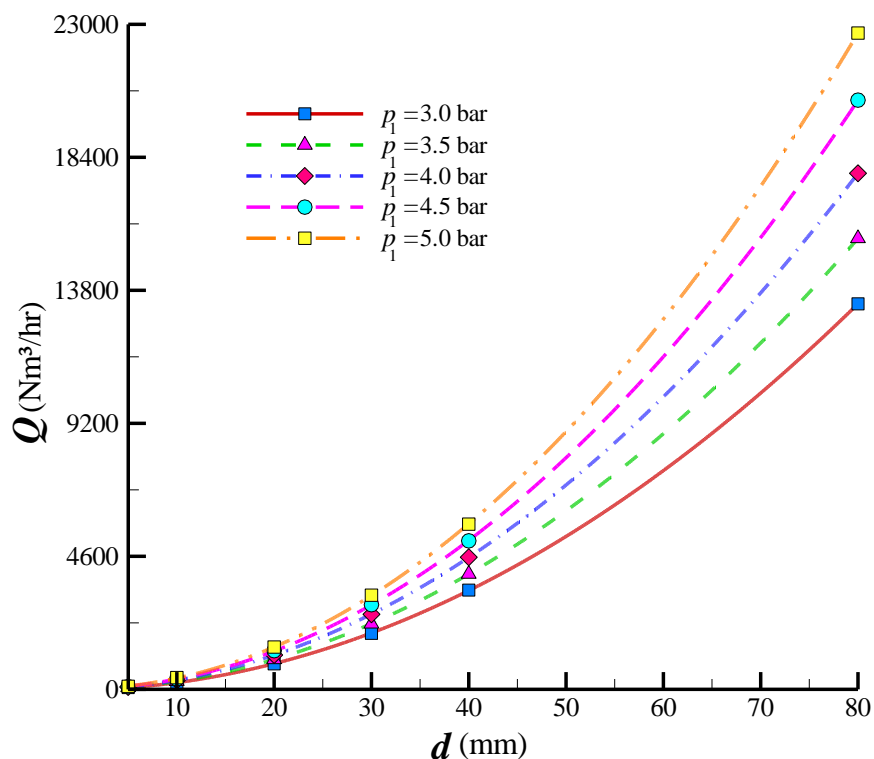
## ۱-۲-۵- بررسی تأثیر قطر لوله و قطر سوراخ بر میزان نشستی

نمودارهای (۲-۵)، (۳-۵) و (۴-۵) به ترتیب نشان‌دهنده نحوه تغییرات دبی حجمی نرمال شده گاز نشت یافته از سوراخ برای لوله‌های با قطر  $114/6$ ،  $163/6$  و  $204/6$  میلی‌متر در حالت لوله گاز رو-زمینی هستند. با مقایسه منحنی‌های مختلف موجود در این سه نمودار مشاهده می‌شود که دبی حجمی گاز نشت یافته از سوراخ با افزایش قطر سوراخ افزایش یافته و با افزایش قطر لوله کاهش می-یابد؛ یعنی دبی نشتی با قطر سوراخ رابطه مستقیم و با قطر لوله رابطه وارونه دارد. اگر حداقل مقدار موجود در محور عمودی این سه نمودار را با یکدیگر مقایسه نماییم، مشاهده می‌شود که این مقدار به ازای لوله با قطر  $114/6$  میلی‌متر برابر  $24928/1 \text{ Nm}^3/\text{hr}$  بوده و برای لوله با قطر  $204/6$  میلی‌متر به  $22339/8 \text{ Nm}^3/\text{hr}$  کاهش می‌یابد که دلالت بر وارونه بودن رابطه دبی نشتی با قطر لوله دارد.

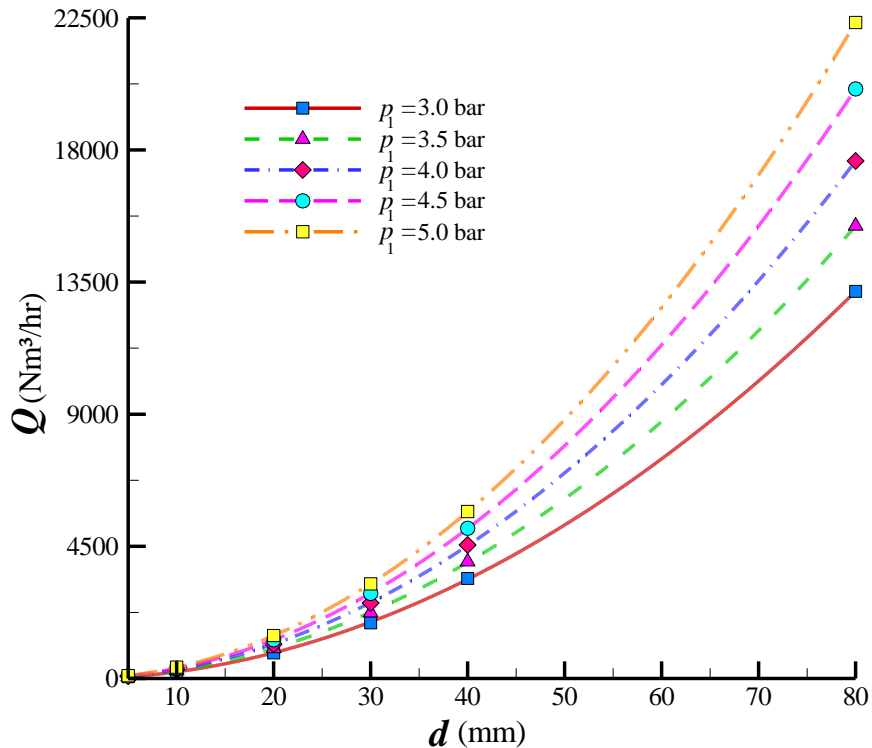
در مورد نحوه تأثیر این دو کمیت باید اشاره نمود که بررسی داده‌ها نشان می‌دهد که بهترین تابعی که می‌تواند با دقت مناسب این منحنی‌ها را برازش نماید، تابع درجه دوم می‌باشد. همچنانی بررسی‌ها نشان می‌دهد که دبی حجمی نشتی، با نسبت قطر سوراخ به قطر لوله نیز یک رابطه درجه چهار دارد. بر این اساس نحوه تغییرات کمیت‌های قطر لوله و قطر سوراخ در پژوهش کنونی نیز کاملاً منطبق با پژوهش‌های پیشین می‌باشد که صحت نتایج و بررسی‌ها را تأیید می‌نماید.



نمودار ۵-۲- تغییرات دبی حجمی نشتی بر حسب قطر سوراخ بهازای مقادیر مختلف فشار ورودی (لوله روزمینی به قطر ۱۱۴/۶ میلی‌متر)

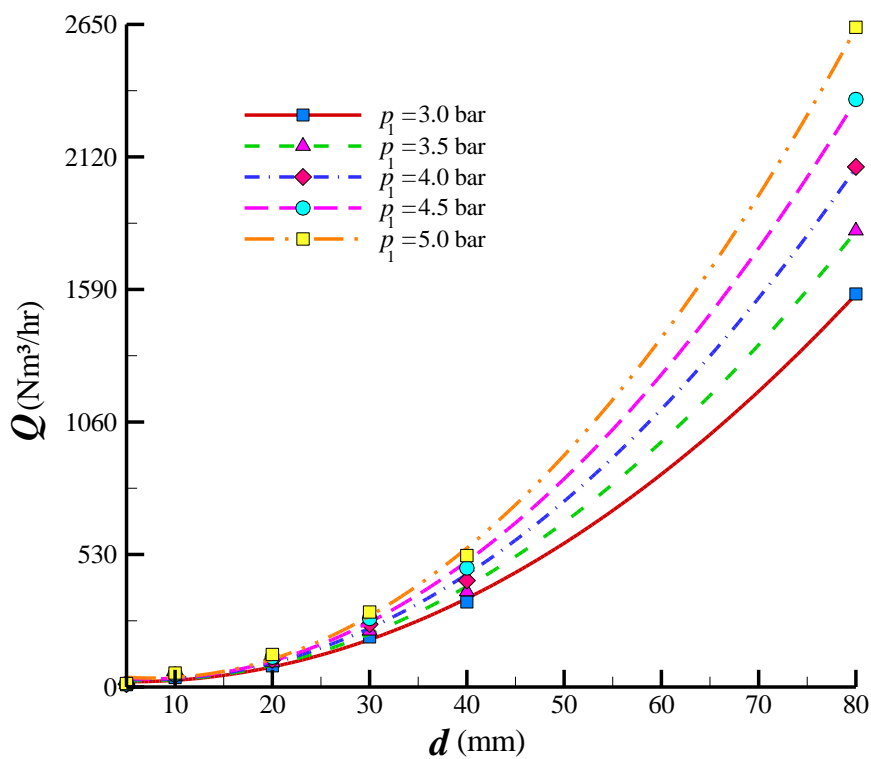


نمودار ۵-۳- تغییرات دبی حجمی نشتی بر حسب قطر سوراخ بهازای مقادیر مختلف فشار ورودی (لوله روزمینی به قطر ۱۶۳/۶ میلی‌متر)

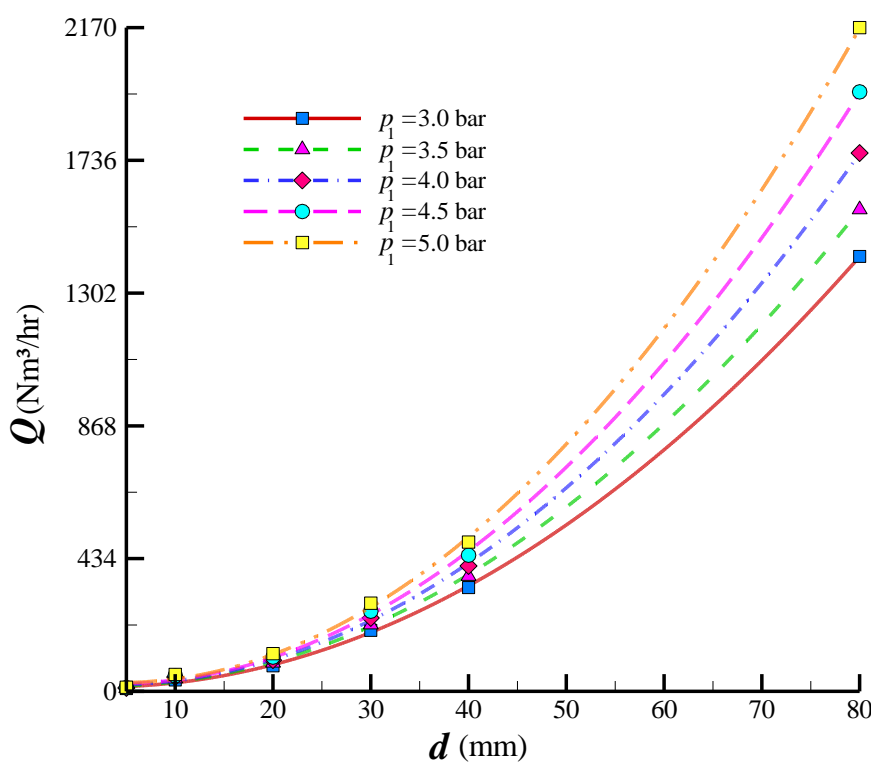


نمودار ۵-۴- تغییرات دبی حجمی نشتی بر حسب قطر سوراخ بهازای مقادیر مختلف فشار ورودی (لوله روزمینی به قطر ۲۰۴/۶ میلی‌متر)

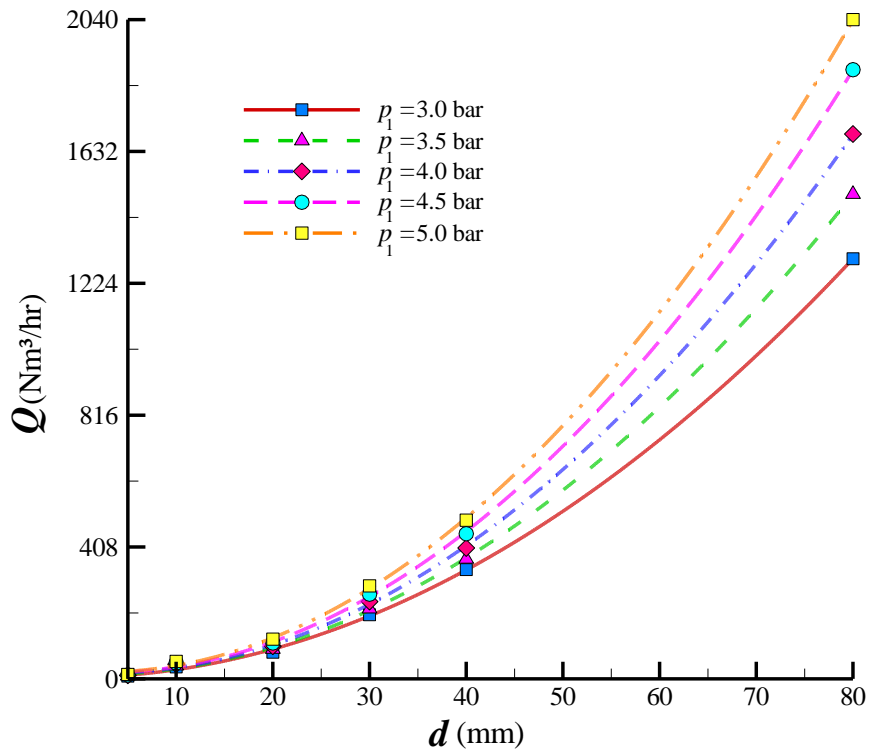
در نمودارهای (۵-۵)، (۶-۵) و (۷-۵) نیز به ترتیب نحوه تغییر دبی حجمی نرمال شده گاز نشت یافته از سوراخ بر حسب قطر سوراخ و برای حالت لوله‌های مدفون در خاک با قطرهای ۱۱۴/۶، ۱۶۳/۶ و ۲۰۴/۶ میلی‌متر، رسم شده است. به عنوان نمونه، همان‌طور که در نمودار (۷-۵) مشاهده می‌شود، میزان دبی نشتی برای لوله‌ای با قطر ۲۰۴/۶ میلی‌متر بهازای سوراخ با قطر ۸۰ میلی‌متر و فشار ۵ بار در حالت لوله مدفون برابر  $2040 \text{ Nm}^3/\text{hr}$  می‌باشد درحالی‌که این مقدار برای همین لوله اما در حالت روزمینی برابر  $22339/8 \text{ Nm}^3/\text{hr}$  بود که نشان‌دهنده کاهش چشم‌گیر مقدار دبی حجمی نشتی در حالت مدفون نسبت به حالت روزمینی بوده و علت آن نیز مقاومت خاک بالای لوله در حالت مدفون می‌باشد.



نمودار ۵-۵- تغییرات دبی حجمی نشتی بر حسب قطر سوراخ بهازای مقادیر مختلف فشار ورودی (لوله مدفون به قطر  $114/6$  میلی‌متر)



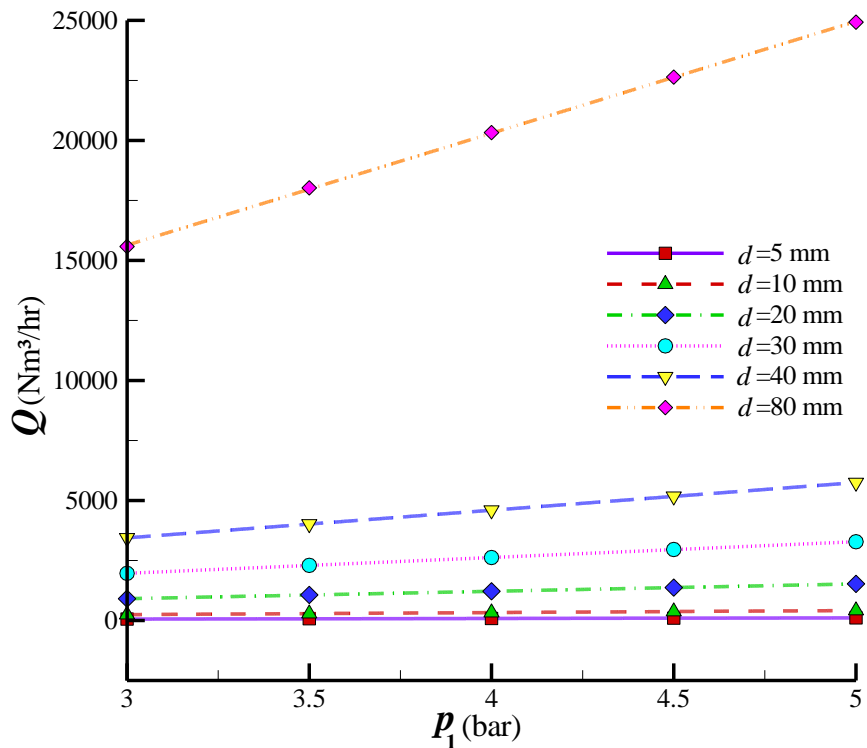
نمودار ۵-۶- تغییرات دبی حجمی نشتی بر حسب قطر سوراخ بهازای مقادیر مختلف فشار ورودی (لوله مدفون به قطر  $163/6$  میلی‌متر)



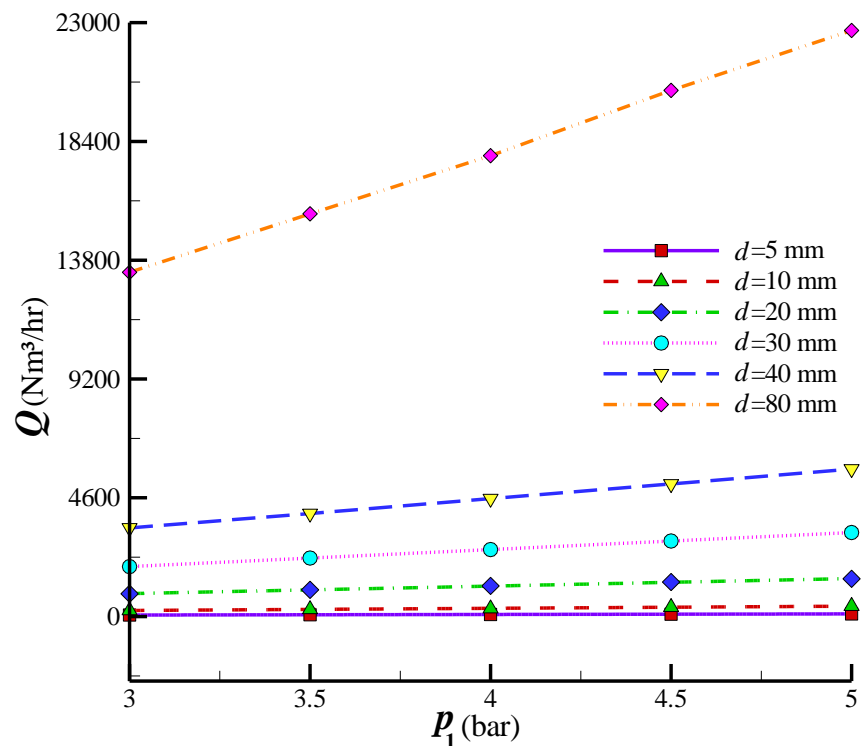
نمودار ۵-۷- تغییرات دبی حجمی نشتی بر حسب قطر سوراخ بهازای مقادیر مختلف فشار ورودی (لوله مدفون به قطر ۲۰۴/۶ میلی‌متر)

## ۲-۵-۲- بررسی تأثیر فشار نقطه ابتدایی بر میزان نشتی

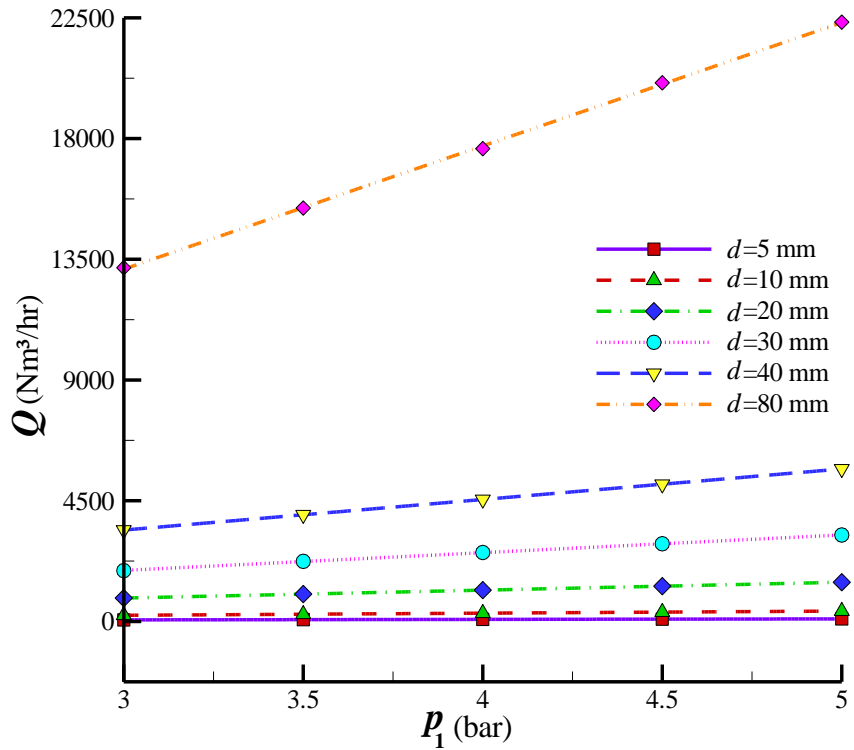
نمودارهای (۸-۵)، (۹-۵) و (۱۰-۵) نشان‌دهنده تغییرات دبی حجمی نشتی نرمال شده بر حسب فشار نقطه ابتدایی سوراخ‌های با قطر مختلف در حالت لوله روزمنی می‌باشد. نمودارها نشان‌دهنده این است که دبی حجمی گاز نشت یافته از سوراخ با فشار نقطه ابتدایی یک رابطه مستقیم خطی دارد. همان‌طور که در این نمودارها نیز مشاهده می‌شود، با بزرگ‌تر شدن قطر لوله، دبی حجمی نشتی کاهش پیدا می‌کند.



نمودار ۵-۸- تغییرات دبی حجمی نشتی بر حسب فشار ورودی بهازای مقادیر مختلف قطر سوراخ (لوله روزمینی به قطر ۱۱۴/۶ میلی‌متر)

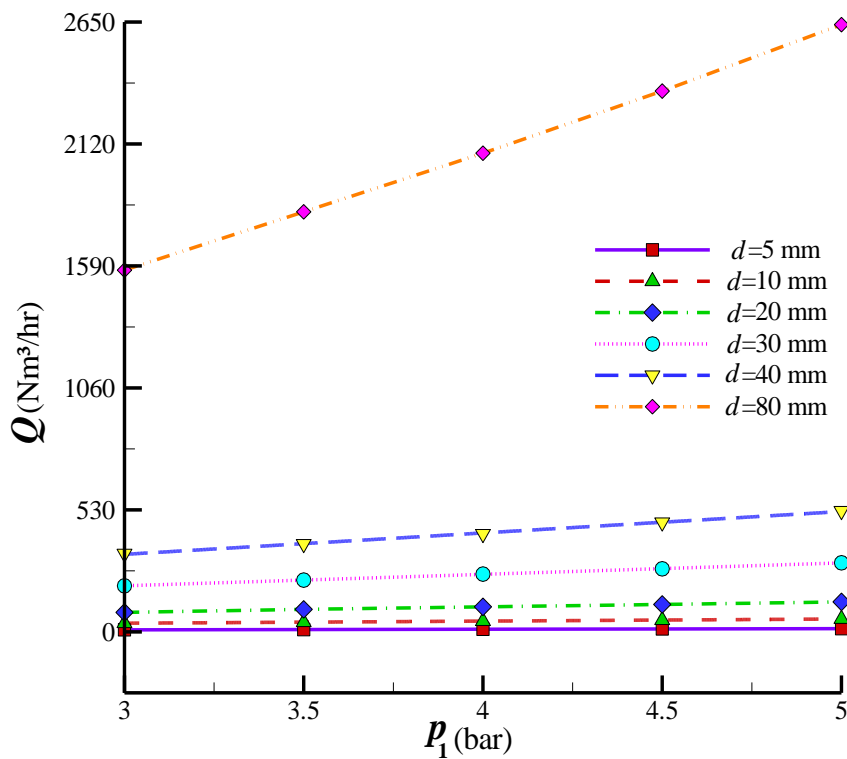


نمودار ۵-۹- تغییرات دبی حجمی نشتی بر حسب فشار ورودی بهازای مقادیر مختلف قطر سوراخ (لوله روزمینی به قطر ۱۶۳/۶ میلی‌متر)

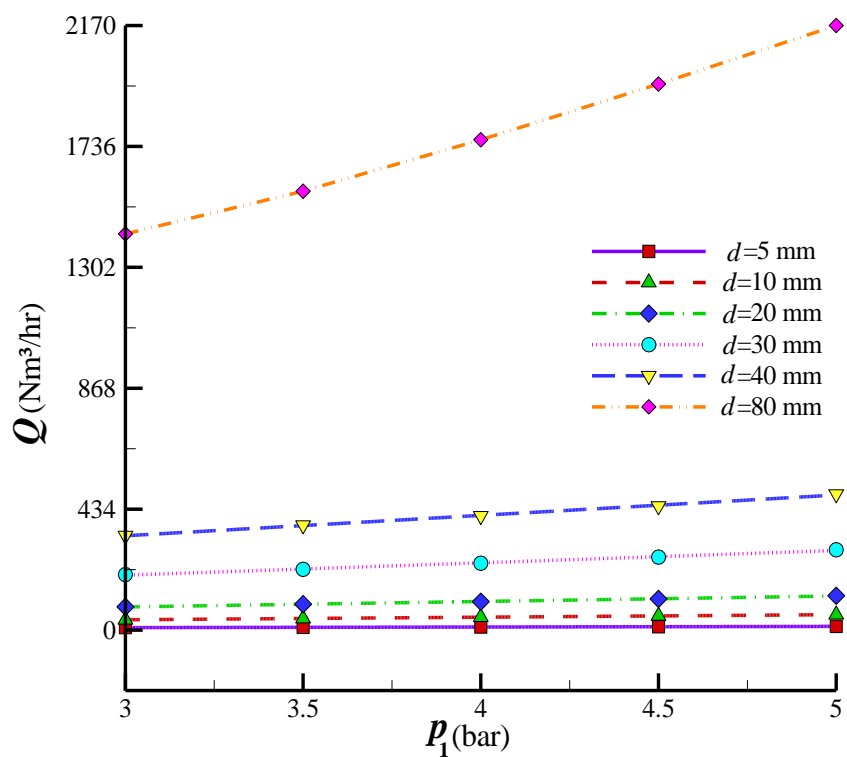


نمودار ۵-۱۰- تغییرات دبی حجمی نشتی بر حسب فشار ورودی بهازای مقادیر مختلف قطر سوراخ (لوله روزمینی به قطر ۲۰۴/۶ میلی متر)

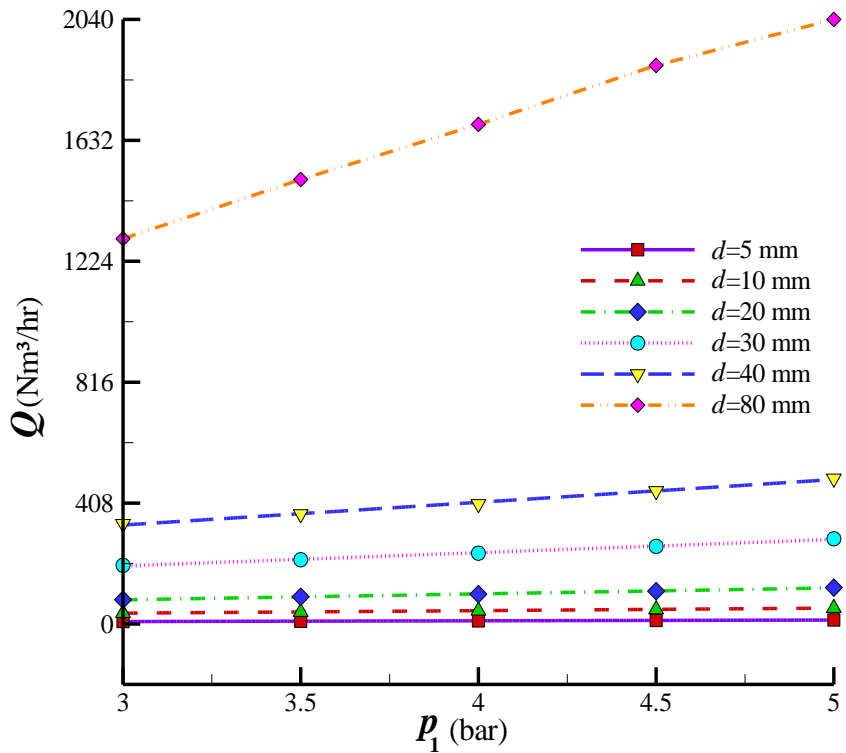
تغییرات دبی حجمی نرمال شده گاز نشت یافته از سوراخ بر حسب فشار نقطه ابتدایی در حالت لوله مدفون در خاک در نمودارهای (۱۱-۵)، (۱۲-۵) و (۱۳-۵) رسم شده است. در این نمودارها نیز با کاهش شدید دبی حجمی نشتی نسبت به حالت‌های مشابه لوله روزمینی روبرو هستیم که ناشی از مقاومت خاک می‌باشد. الگوی تغییرات نمودارهای نیز کاملاً منطبق با حالت لوله روزمینی بوده و به صورت رابطه خطی بوده و با افزایش فشار افزایش می‌یابد.



نمودار ۵-۱۱- تغییرات دبی حجمی نشتی بر حسب فشار ورودی بهازای مقادیر مختلف قطر سوراخ (لوله مدفون به قطر ۱۱۴/۶ میلی‌متر)



نمودار ۵-۱۲- تغییرات دبی حجمی نشتی بر حسب فشار ورودی بهازای مقادیر مختلف قطر سوراخ (لوله مدفون به قطر ۱۶۳/۶ میلی‌متر)



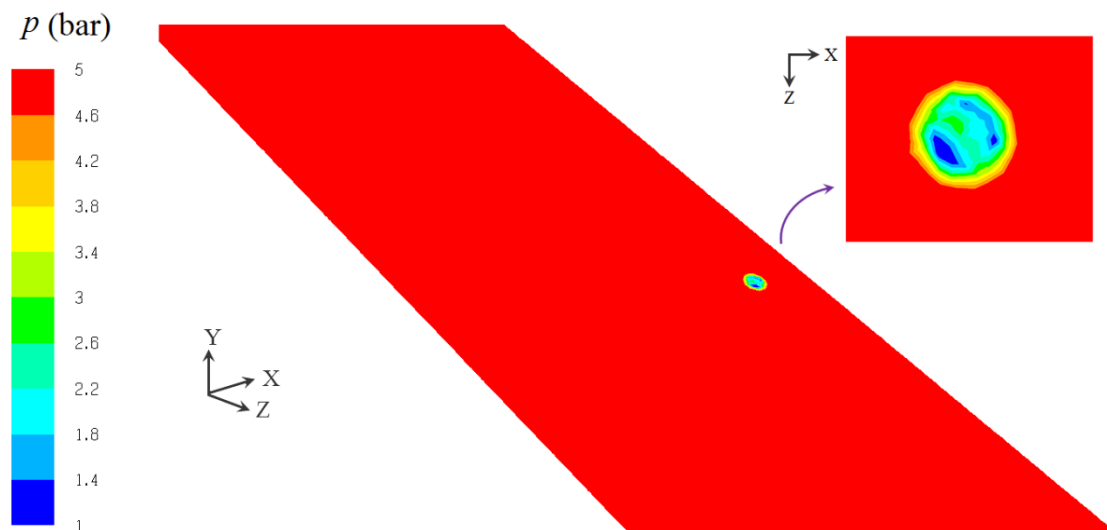
نمودار ۵-۱۳- تغییرات دبی حجمی نشتی بر حسب فشار ورودی بهازای مقادیر مختلف قطر سوراخ (لوله مدفون به قطر ۲۰۴/۶ میلی‌متر)

### ۳-۲-۵- بررسی توزیع کمیت‌ها در دامنه حل

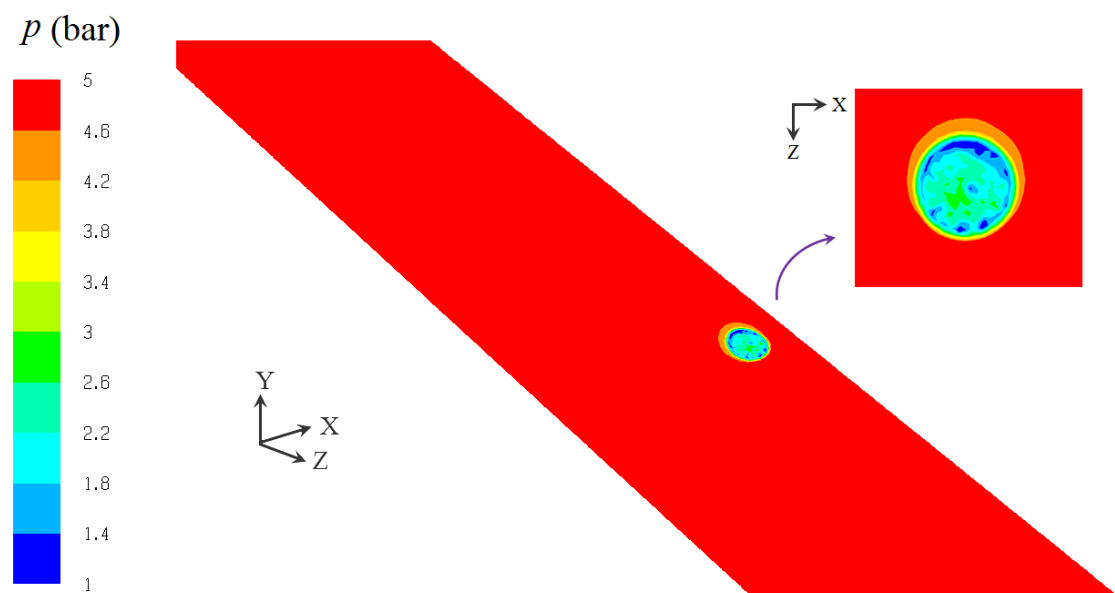
شکل‌های (۱-۵) و (۲-۵)، نشان‌دهنده توزیع فشار مطلق (کانتور فشار مطلق<sup>۶۸</sup>) در بخشی از طول لوله و همچنین پیرامون سوراخ برای نمونه‌هایی با قطر لوله ۱۶۳/۶ میلی‌متر، فشار نقطه ابتدایی ۵ بار مطلق و سوراخ‌هایی با قطر ۱۰ میلی‌متر ۳۰ میلی‌متر می‌باشد. همان‌طور که در بخش‌های قبل اشاره گردید، افت فشار در طول لوله بسیار کم و قابل صرف‌نظر می‌باشد که به‌علت کوچک بودن قطر سوراخ نسبت به قطر لوله و همچنین شرایط حاکم بر خطوط توزیع گاز طبیعی (پایین بودن سطح فشار و کوچک بودن قطر لوله) می‌باشد.

<sup>68</sup> Contour of absolute pressure

همان طور که مشاهده می شود، در نزدیکی مقطع آسیب دیده تغییرات ناگهانی فشار قابل ملاحظه می باشد که علت آن تغییر ناگهانی سطح مقطع در مقطع آسیب دیده می باشد. همین زیاد کوچک بودن سوراخ، باعث می شود که در مقطع آسیب دیده فشار از فشار محیط بزرگ تر باشد.



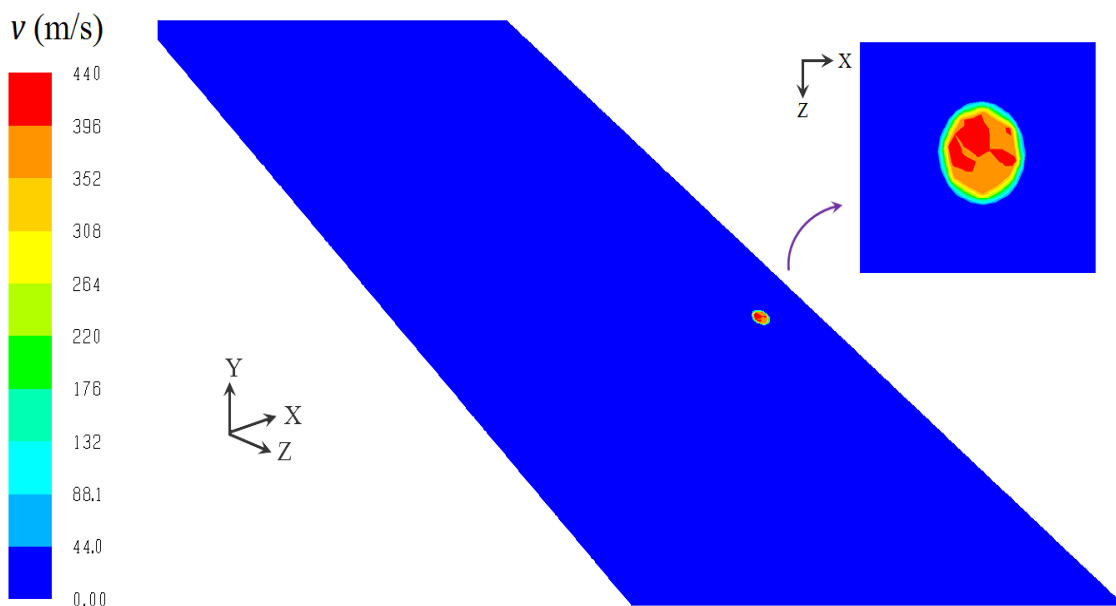
شکل ۱- توزیع فشار مطلق پیرامون سوراخ برای لوله روزمینی با  $p_1=5$  bar و  $d=10$  mm,  $D=163/6$  mm



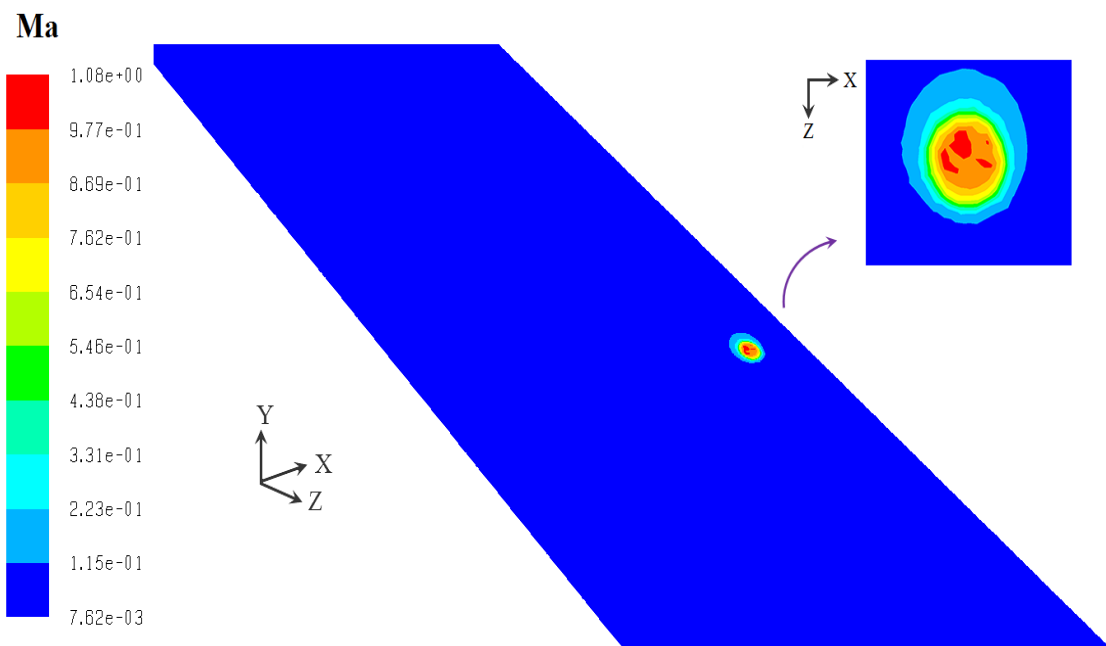
شکل ۲- توزیع فشار مطلق پیرامون سوراخ برای لوله روزمینی با  $p_1=5$  bar و  $d=30$  mm,  $D=163/6$  mm

با بررسی کلیه توزیع فشارهای مورد بررسی در پژوهش و مقایسه آن‌ها با یکدیگر، مشاهده شد که در قطرهای لوله و سوراخ بزرگ‌تر تغییرات و پراکندگی فشار در پیرامون سوراخ نسبت فشار خط لوله کم‌تر می‌شود؛ یعنی محدوده پیرامون سوراخ که در آن شاهد تغییرات شدید فشار هستیم، با افزایش قطرهای لوله و سوراخ کوچک‌تر می‌شود. همچنین بررسی نتایج نشان می‌دهد که با افزایش قطر سوراخ (به‌ازای مقادیر یکسانی برای قطر لوله و فشار نقطه ابتدایی)، اختلاف فشار مقطع آسیب‌دیده و فشار محیط بیش‌تر شده و اختلاف فشار نقطه ابتدایی و فشار مقطع آسیب‌دیده کم‌تر می‌شود.

دستاورد موارد اشاره شده در فوق، ایجاد یک موج انبساطی در داخل لوله است که باعث می‌شود که جریان گاز را به سمت سوراخ به حرکت درآورد. شکل (۳-۵)، نشان‌دهنده توزیع سرعت برای لوله‌ای روزمینی با قطر  $163/6$  میلی‌متر بوده که فشار نقطه ابتدای آن برابر ۵ بار مطلق است و سوراخی به قطر  $10$  میلی‌متر بر سطح جانبی آن ایجاد شده است. همان‌طور که در این شکل مشاهده می‌شود، در مقطع آسیب‌دیده برآیند (میانگین وزنی یا Mass-Weighted Average) سرعت جریان گاز تمام سلول‌های واقع بر روی مقطع تقریباً برابر سرعت صوت شده و مطابق شکل (۴-۵) عدد ماخ در مقطع آسیب‌دیده تقریباً برابر یک خواهد شد.

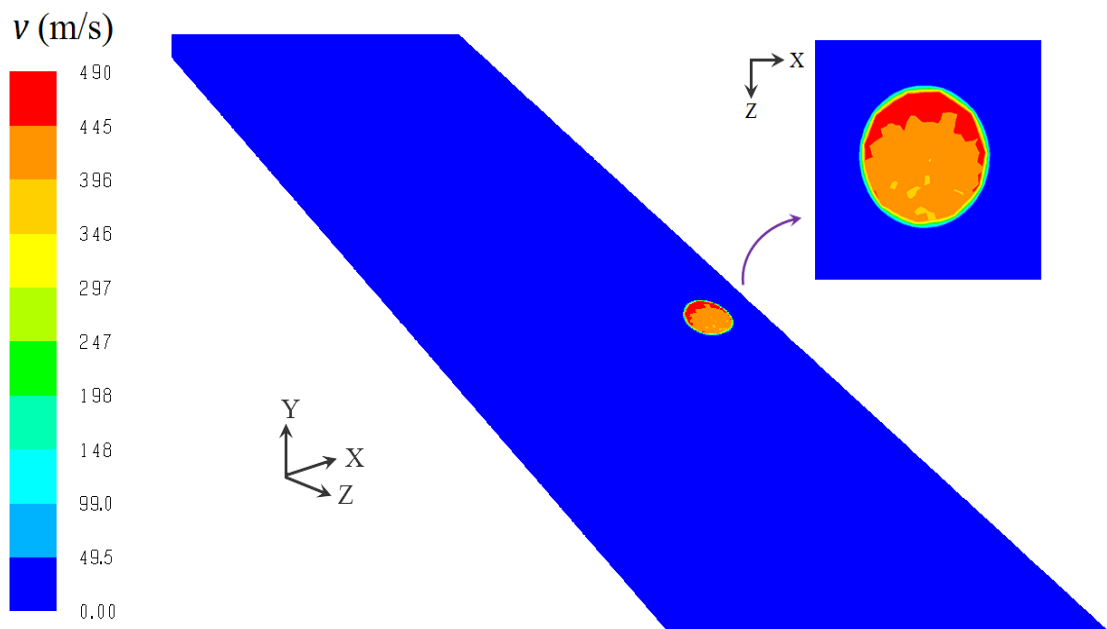


شکل ۳-۵- توزیع سرعت پیرامون سوراخ برای لوله روزمینی با  $p_1=5$  bar و  $d=10$  mm،  $D=163/6$  mm و



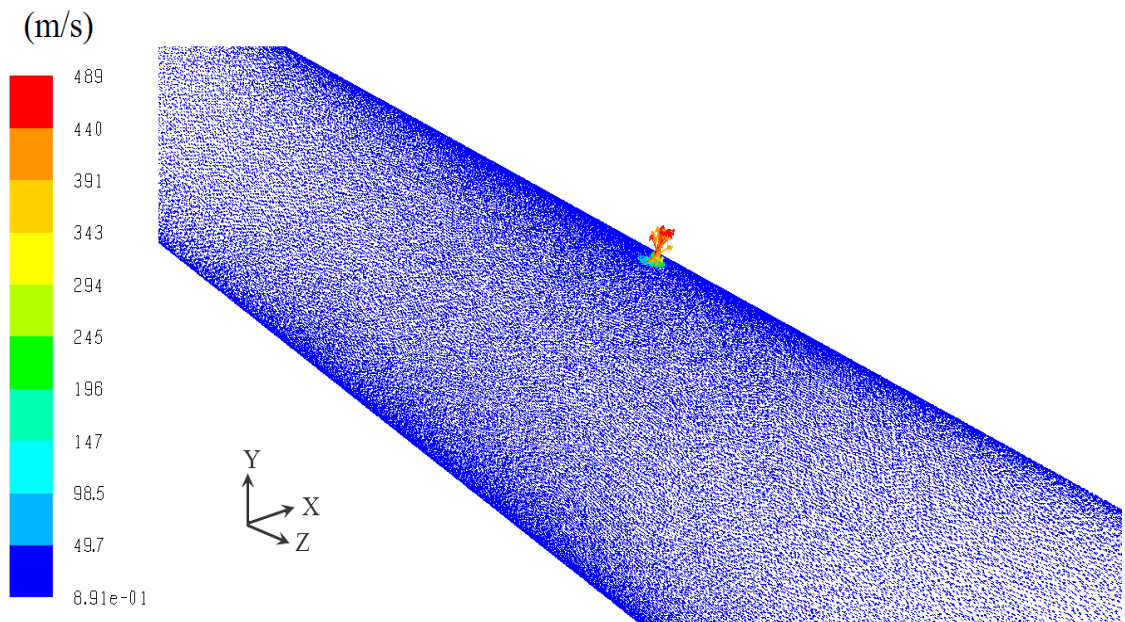
شکل ۵-۴- توزیع عدد ماخ پیرامون سوراخ برای لوله روزمینی با  $p_1=5$  bar و  $d=10$  mm و  $D=163/6$  mm

شکل (۵-۵) نیز نشان دهنده توزیع سرعت درون لوله و حول سوراخ برای لوله‌ای با قطر  $163/6$  mm و فشار نقطه ابتدایی ۵ bar است که سوراخی به قطر  $30$  mm بر سطح آن ایجاد شده است. با مقایسه شکل‌های (۳-۵) و (۵-۵) مشاهده می‌شود که سرعت جریان خروجی از مقطع آسیب‌دیده با افزایش قطر سوراخ افزایش می‌یابد که همین امر با افزایش دبی نشتی می‌گردد.

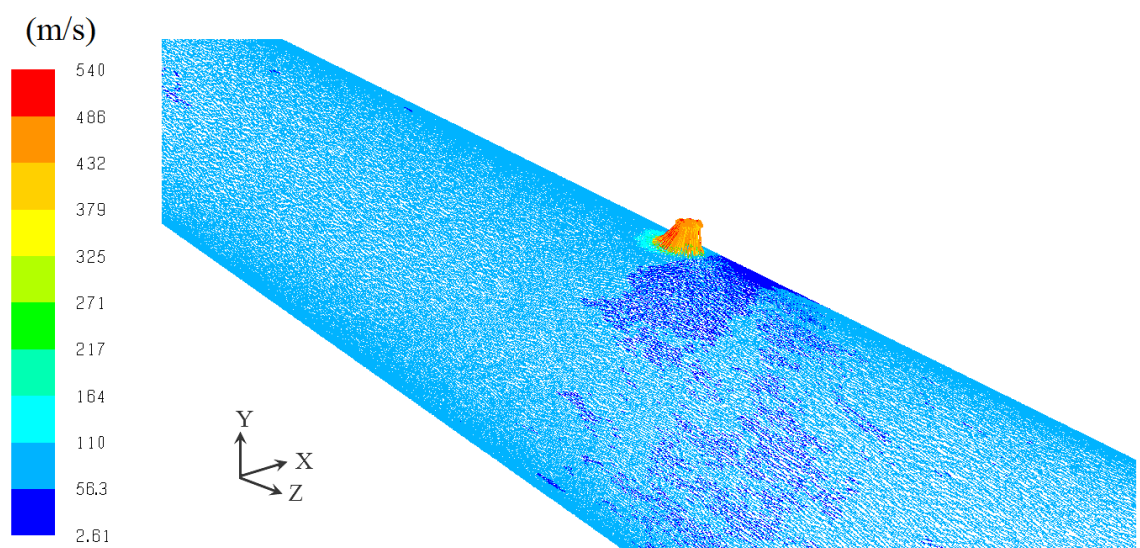


شکل ۵-۵- توزیع سرعت پیرامون سوراخ برای لوله روزمینی با  $p_1=5$  bar و  $d=30$  mm و  $D=163/6$  mm

در شکل های (۵-۶) و (۵-۷) نمونه هایی از بردار سرعت در مجاورت مقطع آسیب دیده رسم شده است.



شکل ۵-۶- بردارهای سرعت پیرامون سوراخ برای لوله روزمینی با  $p_1=5$  bar و  $d=10$  mm,  $D=163/6$  mm

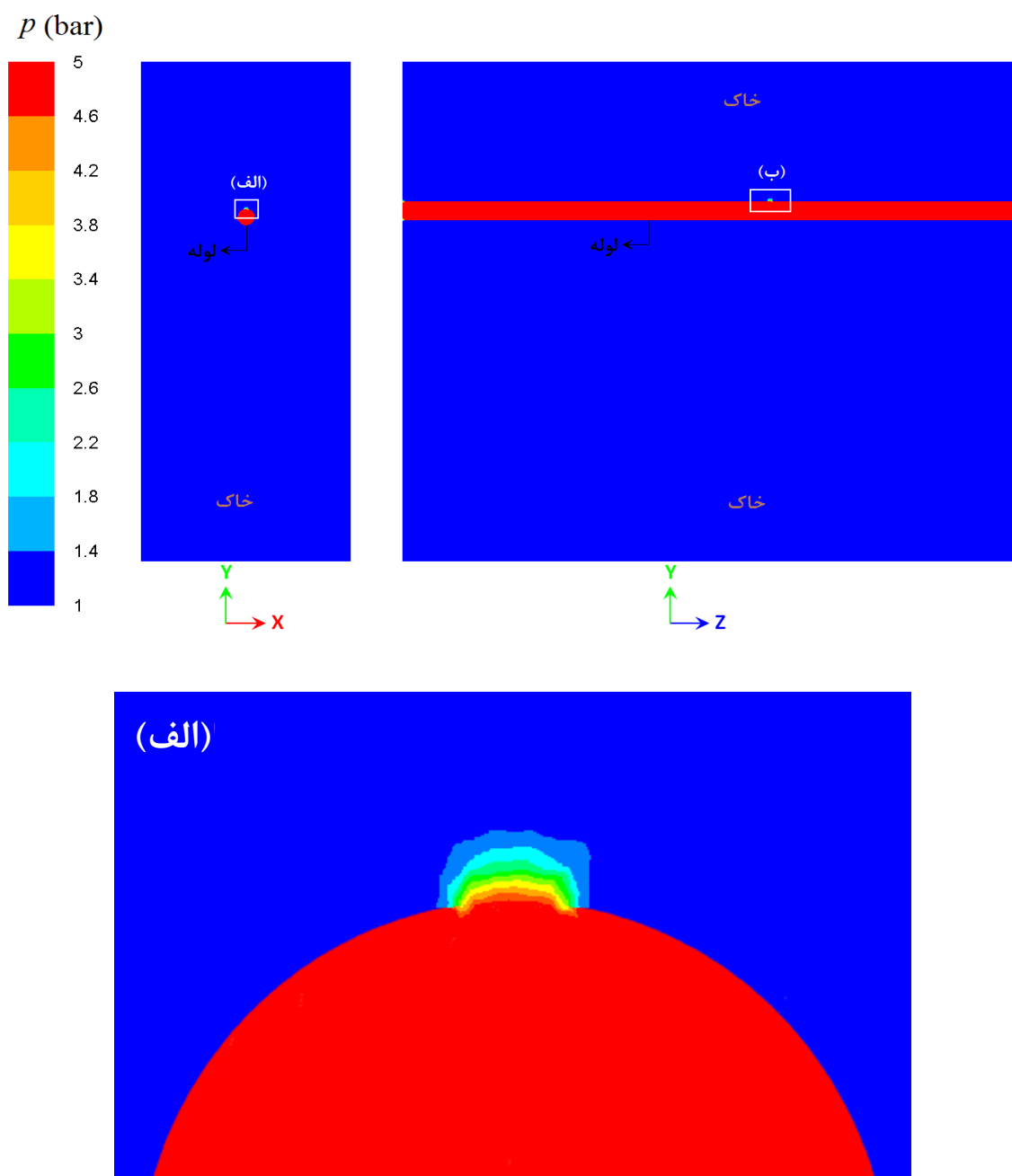


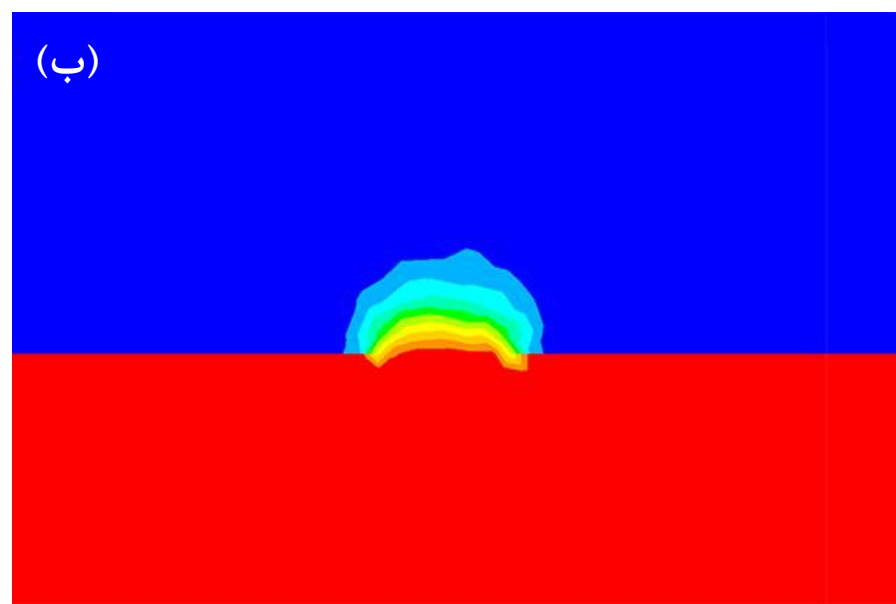
شکل ۵-۷- بردارهای سرعت پیرامون سوراخ برای لوله روزمینی با  $p_1=5$  bar و  $d=30$  mm,  $D=163/6$  mm

در این شکل ها شاهد برگشت مقداری گاز از سمت پایین دست لوله به سمت مقطع آسیب دیده هستیم که نشان دهنده تأثیر در نظر گرفتن طول لوله بعد از سوراخ هستند. از طرفی با مقایسه این شکل ها

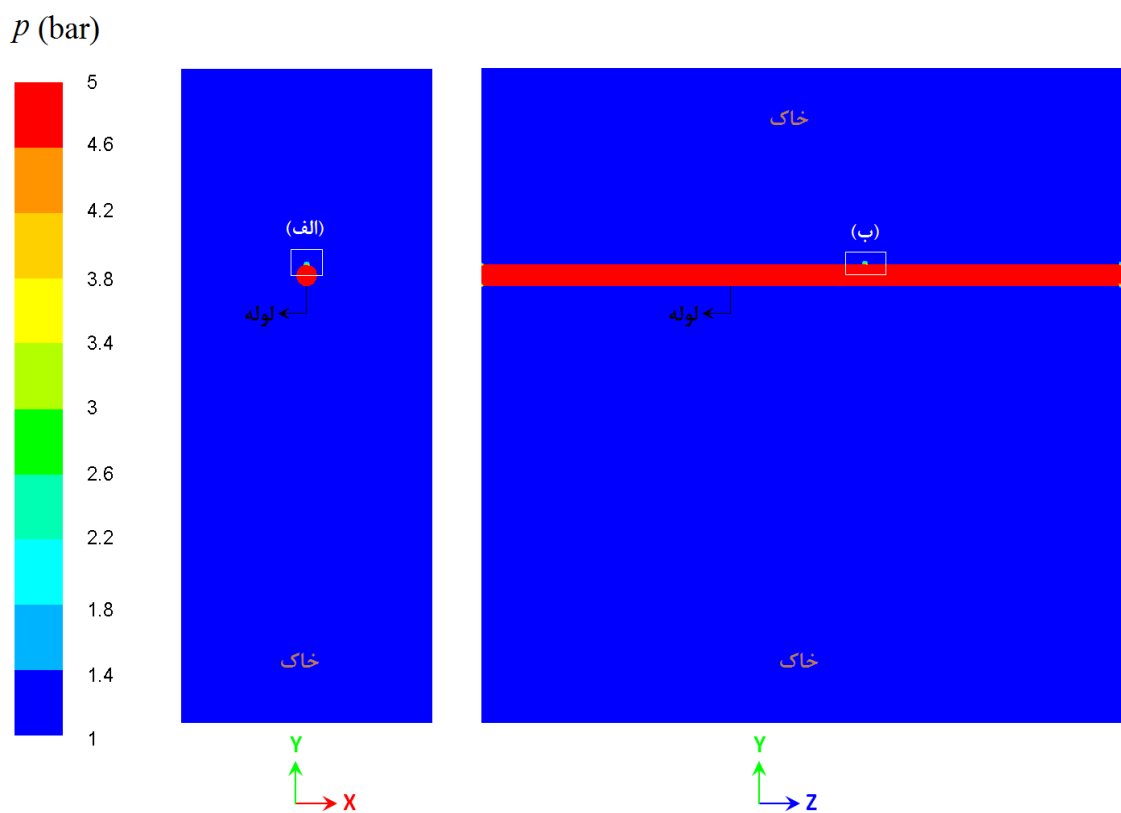
مشخص می‌شود که با افزایش قطر سوراخ میزان جریان برگشتی از سمت پایین دست افزایش می‌یابد. لذا با در نظر گرفتن این شکل‌ها، بزرگ‌تر بودن مقادیر دبی نسبت به حالتی که طول لوله بعد از سوراخ در نظر گرفته نشده است، کاملاً قابل درک و مشاهده است.

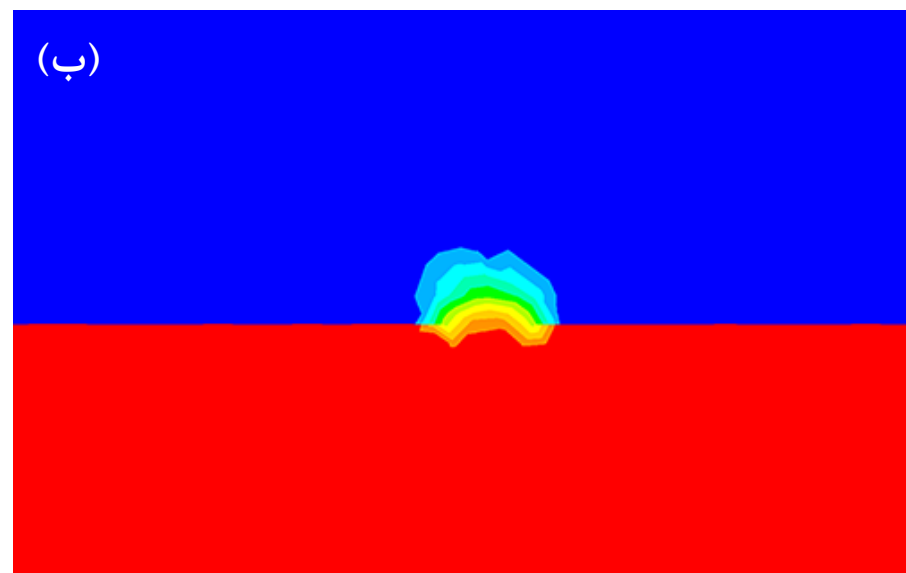
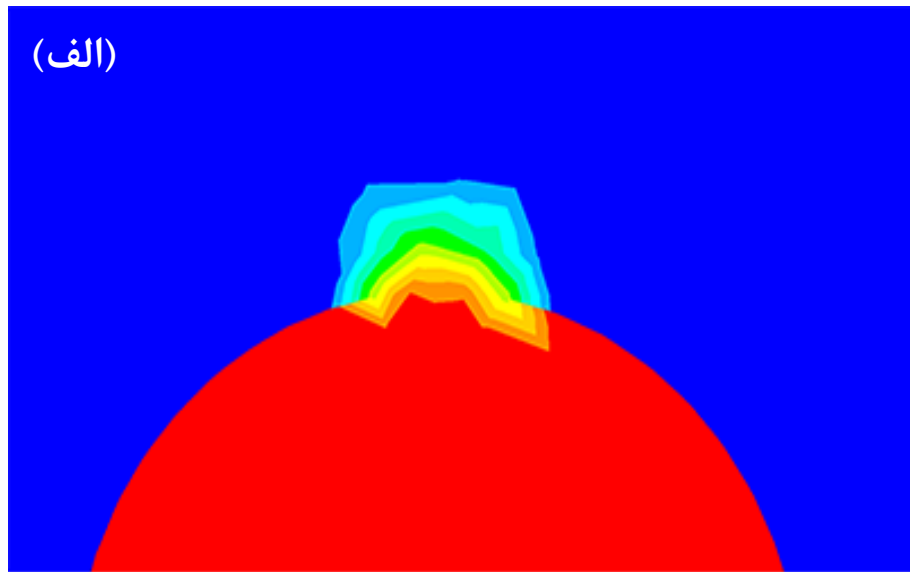
توزیع فشار مطلق درون لوله و خاک و در پیرامون سوراخ برای حالت لوله مدفون در شکل‌های (۸-۵) و (۹-۵) به عنوان نمونه رسم شده است. فشار ناشی از خاک بالای مقطع آسیب‌دیده، باعث می‌شود تا فشار در ورودی و خروجی مقطع آسیب‌دیده متفاوت باشد.





شکل ۵-۸- توزیع فشار مطلق در لوله مدفون و بزرگنمایی آن در پیرامون سوراخ در صفحه، (الف) xy, (ب) yz  
 $(p_1=5 \text{ bar})$  و  $d=10 \text{ mm}$ ,  $D=163/6 \text{ mm}$  گذرنده از مرکز سوراخ

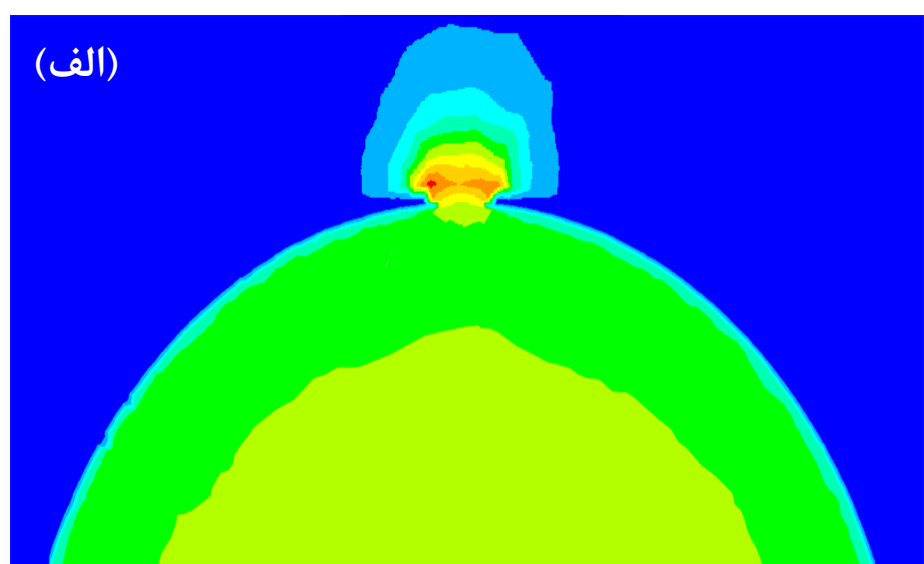
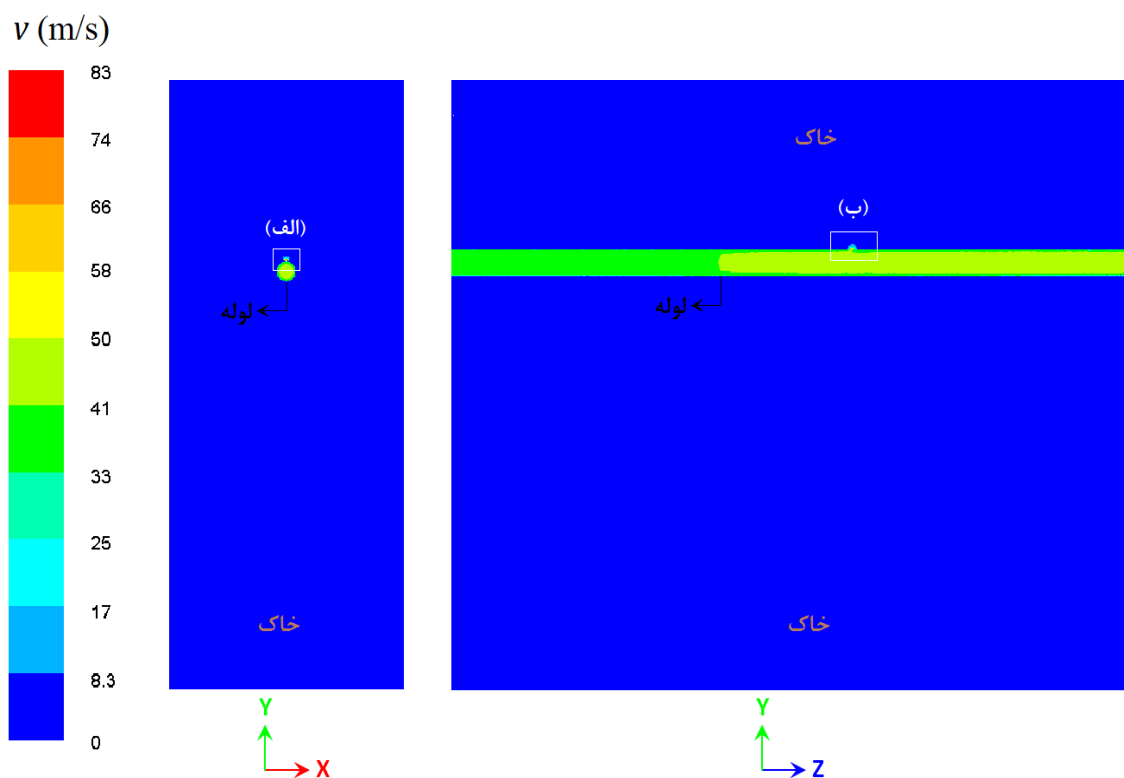


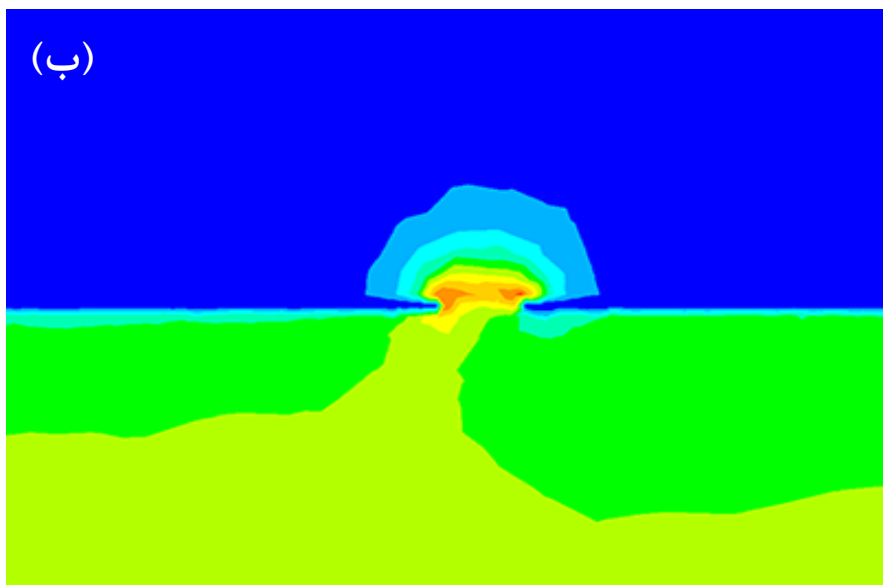


شکل ۵-۹- توزیع فشار مطلق در لوله مدفون و بزرگنمایی آن در پیرامون سوراخ در صفحه، (الف)  $xy$ , (ب)  $yz$ ,  
گذرنده از مرکز سوراخ ( $p_1=5$  bar و  $d=30$  mm  $D=163/6$  mm)

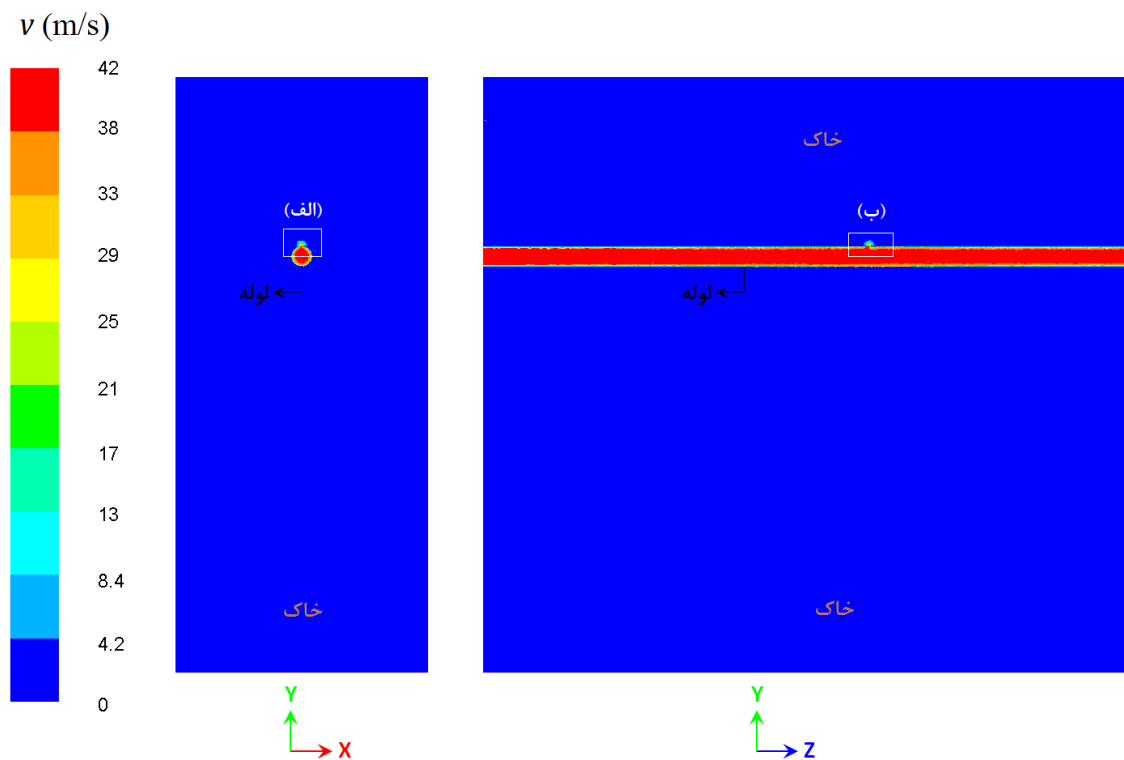
در حالت لوله مدفون در خاک، مقطع آسیب‌دیده یک مقطع مشترک بین لوله و خاک می‌باشد. شکل-های (۱۰-۵) و (۱۱-۵) مربوط به توزیع سرعت درون لوله و خاک در نزدیکی سوراخ برای لوله مدفون در خاک می‌باشد. مطابق این شکل‌ها، در حالت لوله مدفون در خاک، گاز خروجی از سوراخ به هنگام

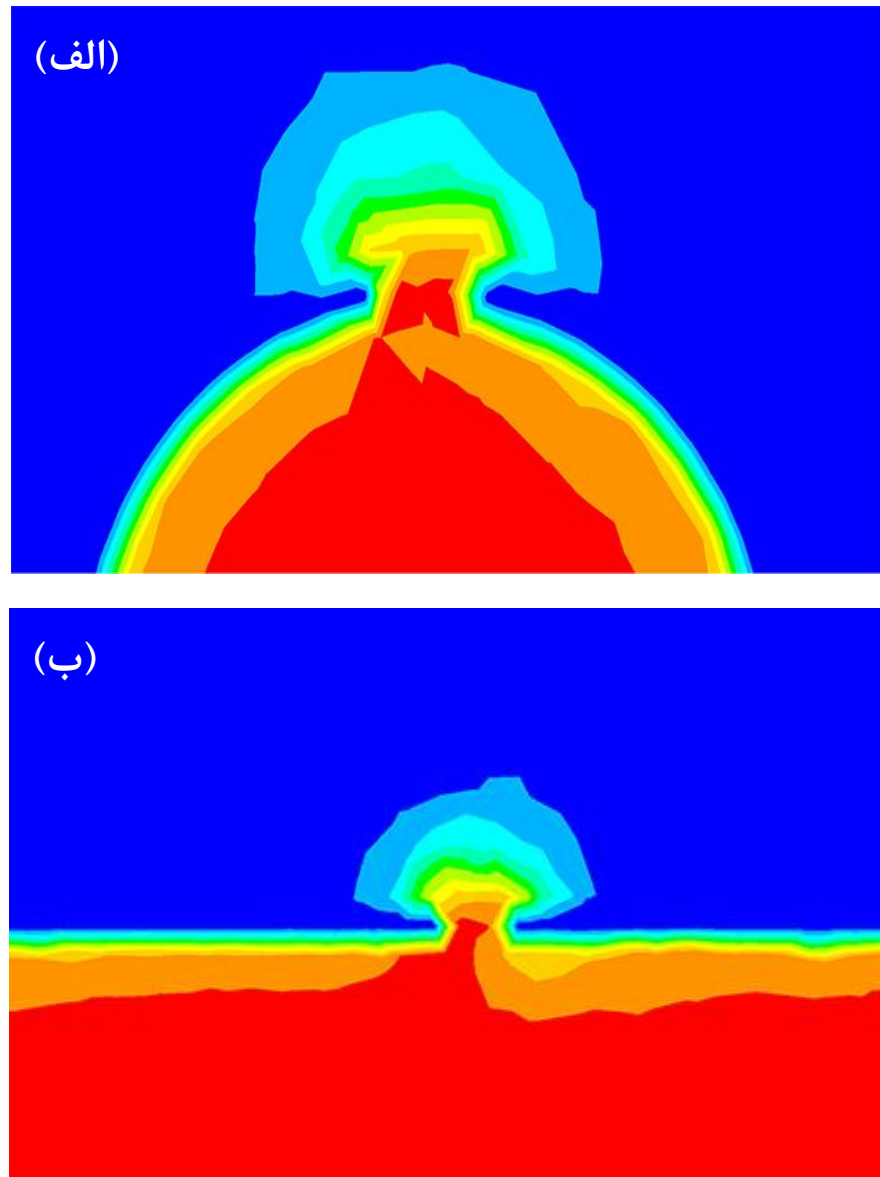
خروج از آن با مقاومت خاک روبرو شده و سرعت گاز در سوراخ به مقدار قابل توجهی نسبت به لوله روزمینی کاهش می‌یابد و شاهد یک جریان مادون صوت هستیم.





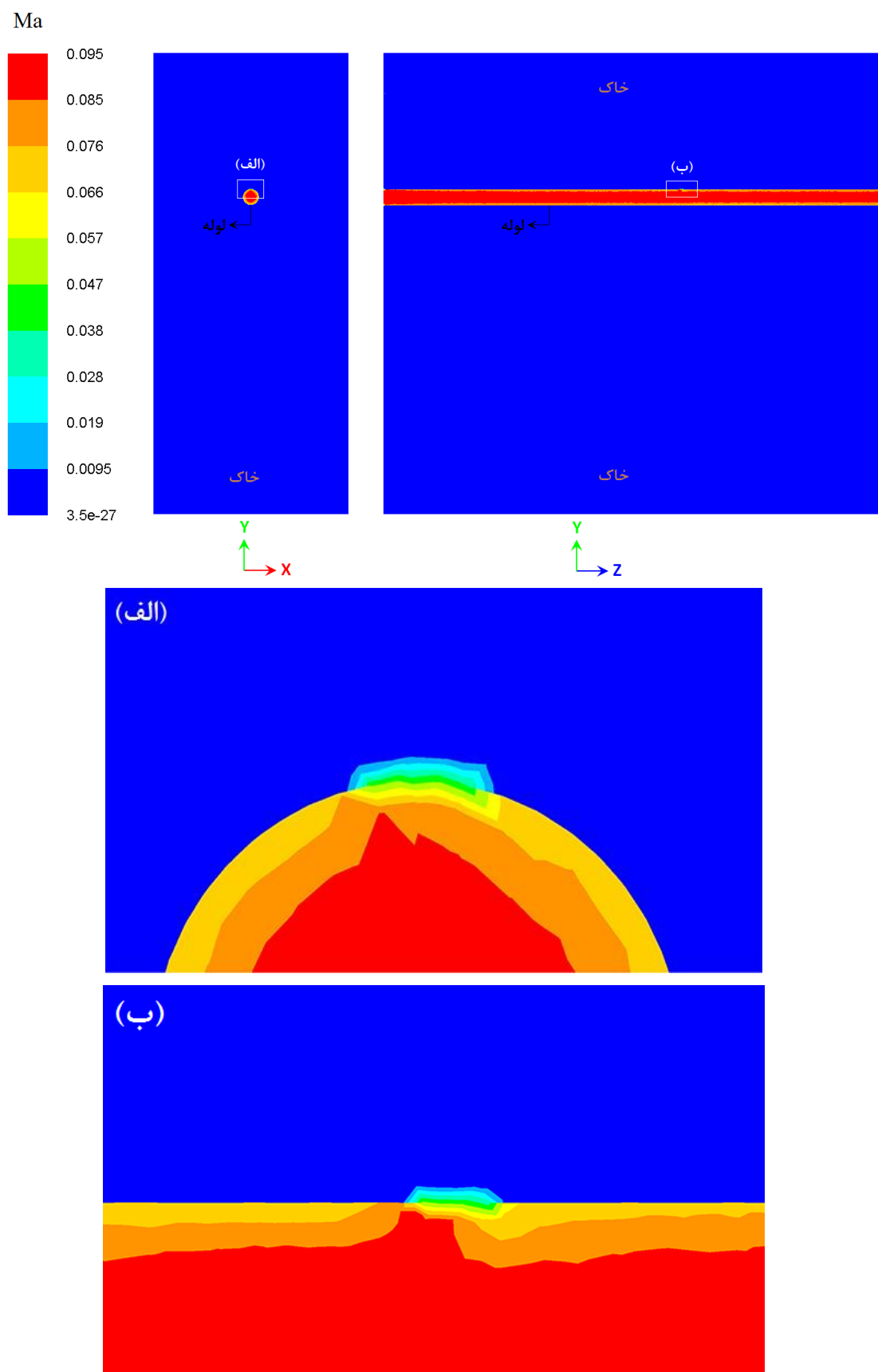
شکل ۵-۱۰- توزیع سرعت در لوله مدفون و بزرگنمایی آن در پیرامون سوراخ در صفحه، (الف) xy, (ب) yz گذرنده از مرکز سوراخ ( $p_1=5$  bar و  $d=10$  mm,  $D=163/6$  mm)





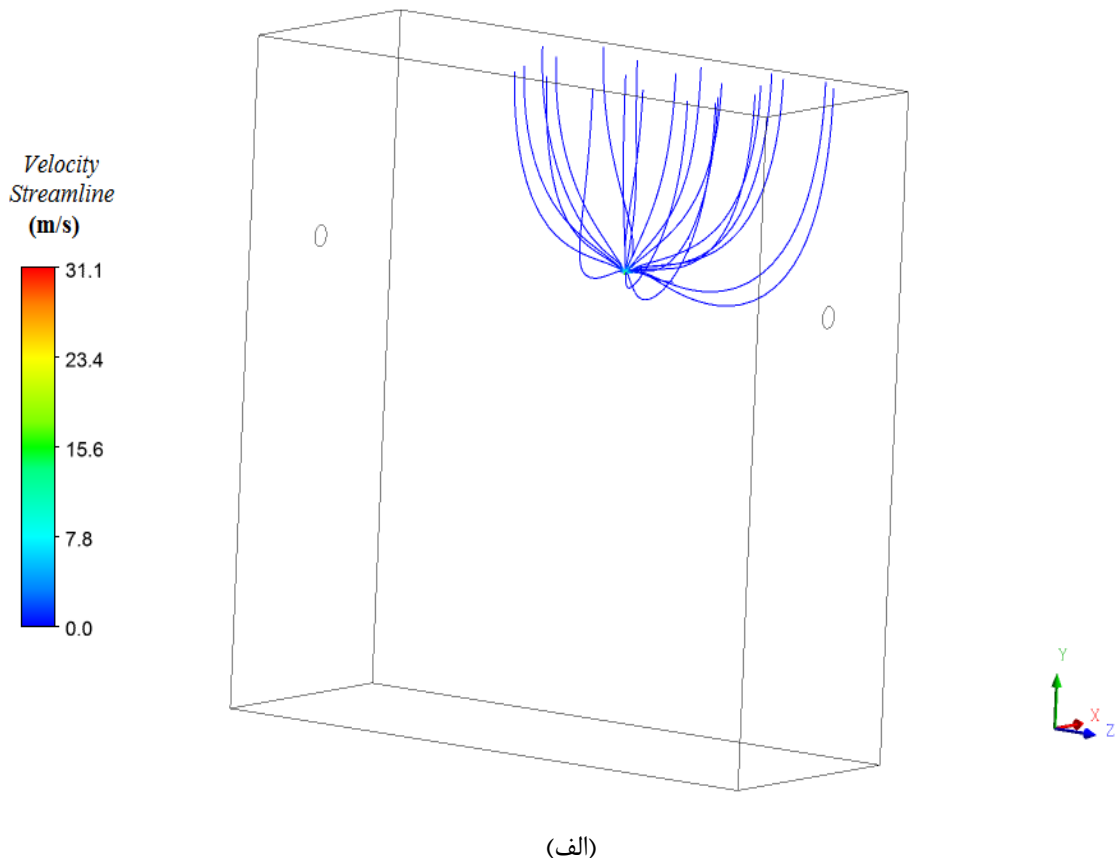
شکل ۵-۱۱- توزیع سرعت در لوله مدفون و بزرگنمایی آن در پیرامون سوراخ در صفحه، (الف) xy، (ب) yz، گذرنده از مرکز سوراخ ( $p_1=5$  bar و  $d=30$  mm,  $D=163/6$  mm)

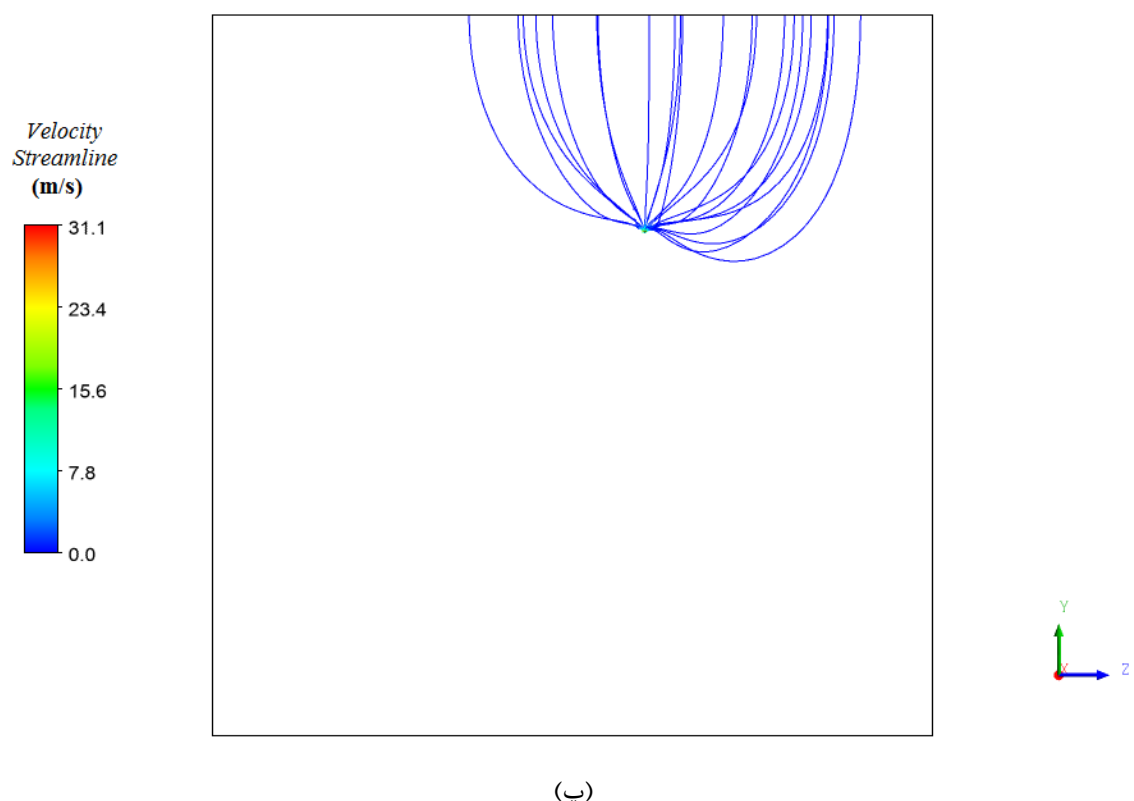
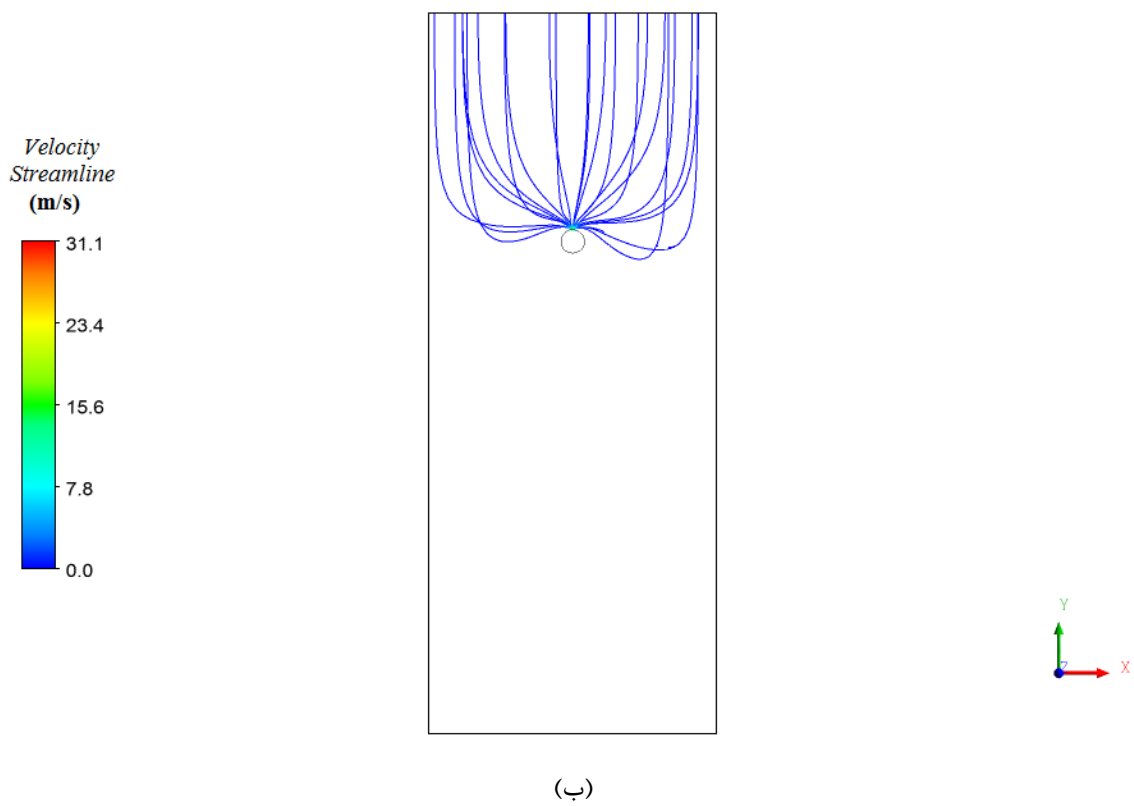
مطلوب اشاره شده در فوق، در شکل (۱۲-۵) که نشان‌دهنده توزیع عدد ماخ در لوله و خاک می‌باشد قابل مشاهده است. مطابق شکل (۱۲-۵) برآیند وزنی عدد ماخ در مقطع آسیب‌دیده و همچنین در داخل خاک، کوچک‌تر از یک می‌باشد.



شکل ۵-۱۲- توزیع عدد ماخ در لوله مدفون و بزرگنمایی آن در پیرامون سوراخ در صفحه، (الف) xy, (ب) yz، گذرنده  $(p_1=5 \text{ bar}$  و  $d = 30 \text{ mm}$ ,  $D = 163/6 \text{ mm}$ ) از مرکز سوراخ

شکل (۱۳-۵) نشان دهنده مسیر جریان (برحسب سرعت) برای لوله مدفون با قطر  $163/6$  mm می‌باشد. همانطور که در این شکل مشاهده می‌شود، جریان خروجی از سوراخ در جهات مختلف درون خاک پخش می‌گردد؛ به طوریکه این جریان ورودی به خاک، پس از برخورد با ذرات خاک از مسیر حرکت خود منحرف شده و بخشی از آن به خاک موجود در زیر لوله نفوذ کرده و پس از آن مجدداً به سمت سطح زمین باز می‌گردد. بر اساس مسیرهای عبور جریان گاز طبیعی داخل خاک و با توجه به اینکه جریان گاز در حالت واقعی با مقاومت خاک در سه جهت (X، Y و Z) روبرو است، مدل‌سازی پدیده نشت گاز در حالت مدفون بایستی حتماً به صورت سه‌بعدی انجام پذیرد و در غیر این صورت از حالت واقعی به دور است و خطای محاسباتی زیادی در نتایج وجود خواهد داشت.





شکل ۵-۱۳- مسیر جریان خروجی از سوراخ برای لوله مدفون، در نمای (الف) سه بعدی، (ب) صفحه  $xy$  (پ) صفحه  $yz$   
 $(p_1 = ۳ \text{ bar}$  و  $d = ۳۰ \text{ mm}$ ,  $D = ۱۶۳/۶ \text{ mm}$ )

### ۳-۵- ارائه روابطی جهت محاسبه دبی حجمی نشتی

در بخش قبل، نتایج مربوط به شبیه‌سازی عددی انجام‌گرفته در این پژوهش به‌طور کامل تشریح گردید و نمونه‌های مختلفی از این نتایج ارائه گردید. بر اساس نتایج حاصل از بخش قبل، در این بخش به ارائه یک رابطه همبسته برای هر یک از حالت‌های لوله روزمینی و مدفون پرداخته می‌شود.

با توجه به نمودارها و با بررسی تغییرات مربوط به قطر سوراخ، قطر لوله و فشار نقطه ابتدایی مشاهده شد که دبی حجمی نشتی با قطر سوراخ، نسبت قطر سوراخ به قطر لوله و فشار نقطه ابتدایی، به ترتیب به صورت توابع درجه دو، درجه چهار و خطی تغییر پیدا می‌کند. بر این اساس، جهت محاسبه دبی حجمی نرمال شده گاز نشتیافته از سوراخ روابط همبسته (۱-۵) و (۲-۵) ارائه شده است که به ترتیب مربوط به لوله روزمینی و لوله مدفون در خاک می‌باشند.

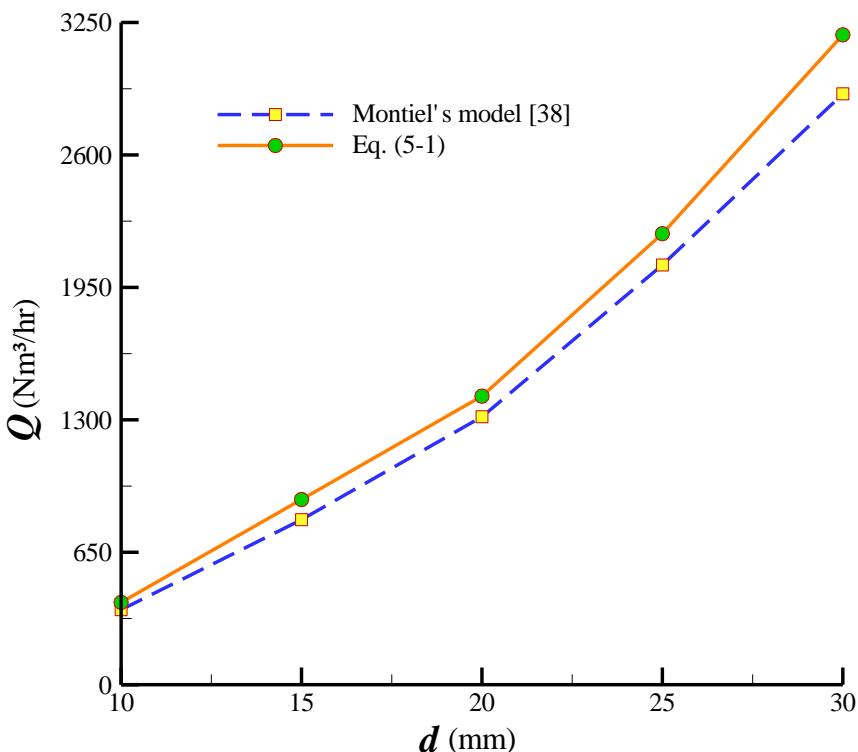
$$Q = \begin{cases} 0.1808(1 + \beta^4) d^2 p_1; & d \leq 15 \text{ mm} \\ 0.1708(1 + \beta^4) d^2 p_1; & 15 < d \leq 80 \text{ mm} \end{cases} \quad (1-5)$$

$$Q = \begin{cases} 0.1117(1 + \beta^4) d^2 p_1; & d \leq 15 \text{ mm} \\ 0.0677(1 + \beta^4) d^2 p_1; & 15 < d \leq 80 \text{ mm} \end{cases} \quad (2-5)$$

در این روابط،  $Q$  دبی حجمی نرمال شده گاز ( $\text{Nm}^3/\text{hr}$ )،  $d$  قطر سوراخ (mm)،  $p_1$  فشار نقطه ابتدایی (bar abs) می‌باشد. لازم به ذکر است که این روابط بر اساس شرایط کاری خطوط توزیع گاز به دست آمده‌اند و برای سه لوله پر کاربرد مورد استفاده در خطوط توزیع گاز درون شهری (لوله‌های ۴، ۶ و ۸ اینچ)، در محدوده فشار  $5 \leq p_1 \leq 3$  بار مطلق و برای سوراخ‌های کوچک با قطری در بازه  $80 \leq d \leq 5$  میلی‌متر دارای دقت مناسبی می‌باشند. ضمناً همان‌طور که در مدل هندسی مورد بررسی نیز نشان داده شده بود، سوراخ ایجاد شده در قسمت

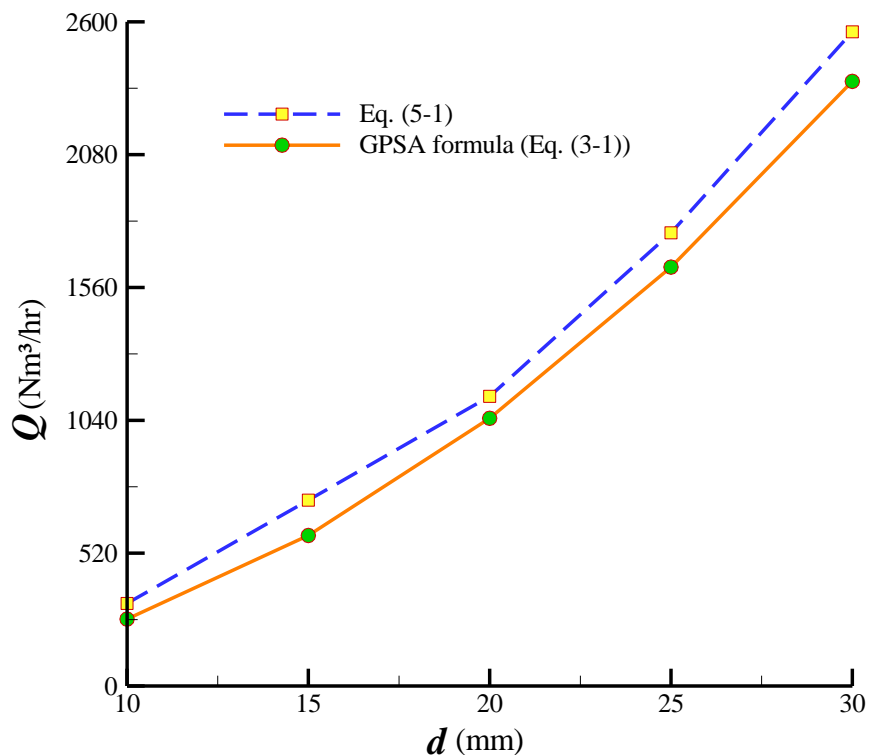
فوچانی لوله (در بالای سطح جانبی) قرار دارد. همان‌طور که در دو رابطه فوق مشاهده می‌شود الگوی تغییرات کمیت‌ها در روابط ارائه شده منطبق با فرمول GPSA می‌باشد.

در ادامه به مقایسه نتایج حاصل از رابطه (۱-۵) با نتایج پژوهش‌های گذشته و همچنین اعتبارسنجی آن پرداخته می‌شود. در نمودار (۱۴-۵) نتایج حاصل رابطه (۱-۵) و نتایج مدل منتیل و همکاران [۳۸] با یکدیگر مقایسه شده‌اند. لذا این نمودار مربوط به لوله روزمینی با قطر  $163/6$  میلی‌متر و فشار ۵ بار مطلق می‌باشد. همان‌طور که در بخش‌های گذشته نیز بیان گردید، به دلیل جریان‌های برگشتی از سمت پایین‌دست، بایستی شاهد بزرگ‌تر بودن مقادیر دبی حجمی نسبت به تحقیق منتیل و همکاران [۳۸] باشیم؛ به طوری که مطابق نمودار (۱۴-۵)، بیشترین و کمترین مقادیر درصد اختلاف نسبی نتایج نسبت به تحقیق منتیل و همکاران [۳۸] به ترتیب برابر  $7/47\%$  و  $12/25\%$  می‌باشد.



نمودار ۱۴-۵ - مقایسه بین نتایج حاصل از رابطه (۱-۵) و پژوهش منتیل و همکاران

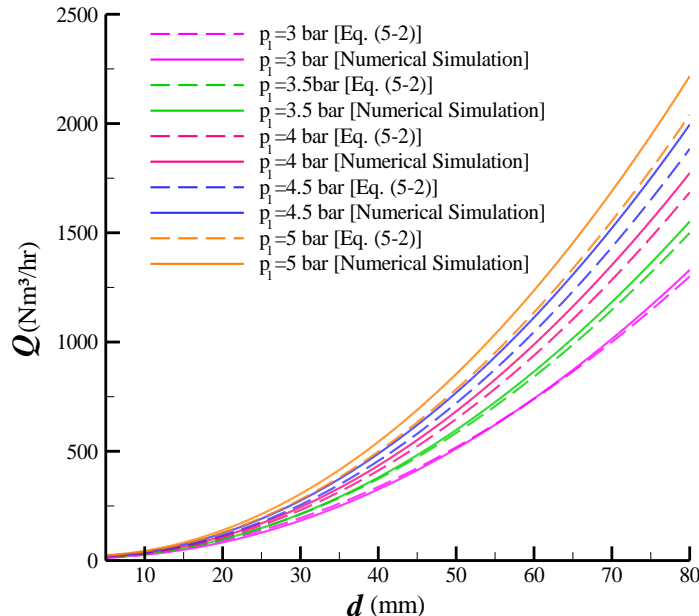
در نمودار (۱۵-۵)، به عنوان یک نمونه، به مقایسه نتایج حاصل از رابطه (۱-۵) و نتایج حاصل از فرمول GPSA، برای لوله با قطر ۱۱۴/۶ میلی‌متر با فشار نقطه ابتدایی ۴ بار مطلق پرداخته شده است. همان‌طور که پیش‌تر نیز بیان گردید نحوه تغییرات کمیت‌ها بین دو رابطه مشابه می‌باشد و دو رابطه، در ضریب ثابت موجود در رابطه با یکدیگر اختلاف دارند؛ لذا در این نمودار، درصد اختلاف نسبی نتایج نسبت به نتایج فرمول GPSA برای سوراخ‌هایی تا قطر ۱۵ میلی‌متر برابر  $\frac{23}{47}\%$  و برای سوراخ‌های بزرگ‌تر از ۱۵ میلی‌متر برابر  $\frac{8}{19}\%$  می‌باشد.



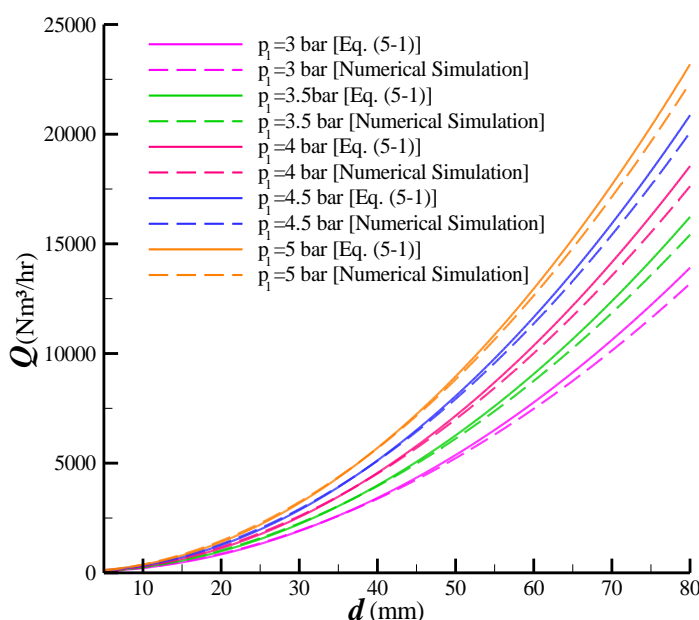
نمودار ۱۵-۵ - مقایسه بین نتایج حاصل از رابطه (۱-۵) و فرمول GPSA (برای  $p_1=4 \text{ bar}$  و  $D=114/6 \text{ mm}$ )

در حالت لوله مدفون در خاک پژوهش‌های صورت گرفته بسیار محدود بوده و جهت مقایسه نتایج حاصل از رابطه همبسته (۲-۵) منبع معتبر مشابهی با پژوهش حاضر وجود ندارد. لذا در مورد لوله‌های مدفون، در نمودار (۱۶-۵) به مقایسه نتایج حاصل از شبیه‌سازی عددی و نتایج حاصل از رابطه (۲-۵)

پرداخته شده است. با توجه به گستردگی بودن تعداد و دامنه متغیرهایی که در این پژوهش بررسی شده‌اند، رابطه (۵-۲) با دقت مناسبی توانسته است تمام نقاط مورد بررسی در پژوهش را پوشش دهد. نمودار (۵-۱۷) نیز نشان‌دهنده نتایج حاصل از شبیه‌سازی عددی در مقایسه با نتایج حاصل از رابطه (۵-۱) می‌باشد.



نمودار ۵-۱۶ - مقایسه بین نتایج حاصل از رابطه (۵-۲) و شبیه‌سازی عددی (برای  $D = 20.4/6 \text{ mm}$ )



نمودار ۵-۱۷ - مقایسه بین نتایج حاصل از رابطه (۵-۱) و شبیه‌سازی عددی (برای  $D = 20.4/6 \text{ mm}$ )



## فصل ششم

نتیجه‌گیری و

پیشنهادات

## ۱-۶- نتیجه‌گیری

در مطالعه حاضر، جریان گاز طبیعی نشست یافته از یک سوراخ کوچک که بر سطح جانبی لوله‌ای در خطوط توزیع گاز ایجاد شده است، توسط شبیه‌سازی عددی به صورت کامل مورد بررسی و تحلیل قرار گرفت. هندسه مورد بررسی توسط نرم‌افزار گمبیت طراحی و شبکه‌بندی شده و سپس حل عددی توسط نرم‌افزار فلوئنت انجام شده است. مطالعات انجام شده در شبکه توزیع گاز قرار دارد که در این خطوط لوله، سطح فشار پایین است و لذا فرض گاز ایده‌آل کاملاً جوابگوی شرایط کاری مسئله می‌باشد و جریان گاز نیز به صورت تراکم‌پذیر و آشفته در نظر گرفته شده است.

تطابق الگوی تغییرات نتایج حاصل شده از این پژوهش و مطالعات مرتبط پیشین که صحت آن مورد تأیید است، گواه بر معتبر بودن روش حل و نتایج ارائه شده در مطالعات حاضر می‌باشد. از طرف دیگر، مدل عددی حاضر بر پایه در نظر گرفتن طول لوله بعد از سوراخ می‌باشد که دستاورد آن بزرگ‌تر بودن مقادیر نشتی نسبت به مطالعات پیشین – که در اکثر آن‌ها طولی برای لوله در نظر گرفته نشده است – می‌باشد.

در ادامه، بررسی نتایج نشان دهنده وجود یک جریان صوتی در مقطع آسیب‌دیده در حالت لوله روزمنی می‌باشد. علاوه بر این، در حالت لوله مدفون در خاک، جریان خروجی از سوراخ به‌هنگام ورود به درون خاک با مقاومت خاک مواجه شده و باعث می‌شود که در داخل لوله، مقطع آسیب‌دیده و خاک، یک جریان مادون صوت داشته باشیم.

در نتایج ارائه شده تلاش گردیده است هر آنچه جهت واکاوی در ارتباط فرآیند مذکور مورد نیاز است ارائه گردد؛ با این وجود یکی از مهم‌ترین نتایج ارائه شده در این مطالعات، مربوط به روابط همبسته جهت تخمین دبی حجمی نرمال‌شده نشتی می‌باشد. با توجه به این‌که در استخراج روابط مذکور تمامی کمیت‌های مهم تأثیرگذار در این فرآیند لحاظ شده‌اند، لذا نتایج حاصل از این روابط به‌خوبی با شرایط مختلف سازگار می‌باشد و می‌تواند تخمین مناسب و دقیقی جهت محاسبه دبی حجمی نشتی ارائه نماید. البته توجه به این نکته ضروری می‌نماید که روابط ارائه شده در پژوهش حاضر جهت استفاده در خطوط توزیع گاز درون‌شهری مناسب می‌باشد و سوراخ ایجاد شده در قسمت فوقانی لوله قرار دارد. با توجه به این‌که این روابط جهت تخمین دبی حجمی نشتی از خطوط توزیع گاز (که دارای سطح فشار به مراتب پایین‌تری نسبت به خطوط انتقال گاز هستند) استخراج شده‌اند، طبیعتاً استفاده

از این روابط در فرآیندهای مشابه دیگر در شرایط خاص احتمالی آنان نیازمند بررسی و اعمال وسوس بیشتر خواهد داشت که این موضوع جزء جدانشدنی هر رابطه عام و جامعی می‌باشد.

## ۶-۲- پیشنهادهایی برای پژوهش‌های آینده

با توجه به مطالب عنوان شده، یکی از موضوعات مرتبط در خصوص مطالعات آینده، توسعه روابطی جهت تخمین میزان نشتی در سایر خطوط لوله گاز (نظیر خطوط اصلی انتقال گاز) می‌باشد.

علاوه بر این، بررسی حادثه شکست کامل لوله در خطوط توزیع و انتقال گاز و ارائه روابطی مختص این فرآیند، یکی از دیگر جنبه‌های ادامه موضوع کنونی در مطالعات آینده بهشمار می‌آید. همچنین موضوع جالب توجه دیگری که می‌تواند در پژوهش‌های آتی بررسی گردد، تأثیر میزان تخلخل خاک بر مقدار گاز نشت یافته از سوراخ می‌باشد.

## فهرست مراجع

- [۱] شامحمدی ا.، لنگری م. و نادری فرع.، (۱۳۸۹)، "محاسبه شدت جریان گاز خروجی از نشتی در لوله‌های گاز"، نخستین همایش بین‌المللی بازرگانی و ایمنی در صنایع نفت و انرژی، تهران، ایران.
- [۲] Costello K., (2014), "Lost and Unaccounted-for Gas: Challenges for Public Utility Regulators", **Utilities Policy**, vol. 29, no. 1, pp. 17-24.
- [۳] سایت اینترنتی ویکی پدیا: <http://fa.wikipedia.org>
- [۴] موحدی م. ح.، (۱۳۸۷)، "گاز طبیعی (مروری بر فرآیند استخراج تا مصرف)", (یادداشت فنی، دریافت شده از سایت اینترنتی: <http://fieldbus.ir>)
- [۵] Jarrahian A., Aghel B. and Heidaryan E., (2015), "On the viscosity of natural gas", **Fuel**, vol. 150, pp. 609-618.
- [۶] نورعلی پور نهادوندی ن. و فرزانه گرد م.، (۱۳۹۰)، "کاهش مصرف انرژی در ایستگاه تقلیل فشار گاز شهری (C.G.S) شاهروд با استفاده از شبیه‌سازی ایستگاه در نرم‌افزار هایسیس (Hysys)"، سومین کنفرانس لوله و خطوط انتقال نفت و گاز، تهران، ایران.
- [۷] نوری بروجردی ع. و میرزائی ع.، (۱۳۸۵)، "اندازه‌گیری میزان نشت گاز از خطوط لوله مدفون در زمین و تأثیر آن بر محیط‌زیست"، اولین همایش تخصصی مهندسی محیط‌زیست، تهران، ایران.
- [۸] سایت اینترنتی: <http://www.centralhudson.com>
- [۹] سایت اینترنتی: <http://www.shana.ir>
- [۱۰] سایت اینترنتی: <http://mehregantarh.com>
- [۱۱] سایت اینترنتی: <http://baminco.com>
- [۱۲] سایت اینترنتی: <http://nigc-kd.ir>
- [۱۳] Arpino F., Dell'Isola M., Ficco G. and Vigo P., (2014), "Unaccounted for Gas in Natural Gas Transmission Networks: Prediction Model and Analysis of the Solutions", **Journal of Natural Gas Science and Engineering**, vol. 17, pp. 58–70.

[14] Haydell M., (2011), "Unaccounted-for Gas", Proceedings of the American School of Gas Measurement Technology, pp. 148-153, (Accessed 26 February 2016; <http://asgmt.com/wp-content/uploads/pdf-docs/2001/1/34.pdf>).

[15] حسینی ح., (۱۳۸۶)، "مبانی و اصول انتقال گاز"، شرکت انتقال گاز منطقه ۷.

[16] نورالهی ا., (۱۳۸۸)، پایان نامه کارشناسی ارشد: "مدل سازی عددی یک بعدی جریان تراکم پذیر در خط لوله دارای حفره"، دانشکده مهندسی، دانشگاه فردوسی مشهد.

[17] White F. M., (1998), "**Viscous Fluid Mechanics**", Fourth Edittion, McGraw-Hill, New York.

[18] Ebrahimi-Moghadam A., Farzaneh-Gord M. and Deymi-Dashtebayaz M., (2016), "Correlations for Estimating Natural Gas Leakage from Above-Ground and Buried Urban Distribution Pipelines", **Journal of Natural Gas Science and Engineering**, vol. 34, pp. 185-196.

[19] جابری خسروشاهی ع., حسینپور س. و نورالهی بسطام ن., (۱۳۹۳)، "شبیه سازی جریان و تعیین دبی گاز خروجی هنگام شکست کامل لوله با در نظر گرفتن خواص گاز واقعی"، نخستین کنفرانس بین المللی نفت، گاز و پتروشیمی با رویکرد توسعه پایدار (ارتباط دانشگاه با صنعت)، تهران، ایران.

[۲۰] ابوالفضلی اصفهانی ج. و مولودی ر., (۱۳۹۱)، "بررسی جریان تراکم پذیر به همراه نشتی در خط لوله گاز"، بیستمین همایش سالانه بین المللی مهندسی مکانیک ایران، شیراز، ایران.

[۲۱] تفنج چی ها م., (۱۳۸۸)، "تخمین گازهای نشت شده در اثر شکست کامل و یا ایجاد حفره در خطوط لوله بهنگام برخورد با یک وسیله مکانیکی"، دومین کنفرانس لوله و خطوط انتقال نفت و گاز، تهران، ایران.

[۲۲] سایت اینترنتی: <http://members.questline.com>

[23] Mazumder Q. H., (2012), "Effect of Liquid and Gas Velocities on Magnitude and Location of Maximum Erosion in U-Bend", **Open Journal of Fluid Dynamics**, vol. 2, no. 2, pp. 29-34.

- [۲۴] آهنگری ب..، "شناسایی و مقابله با پدیده خوردگی در خطوط لوله فولادی انتقال و شبکه‌های توزیع نفت و گاز"، چاپ اول، نشر اندیشه ناقوس.
- [۲۵] سایت اینترنتی: <http://fap-company.com>
- [۲۶] سایت اینترنتی: <http://theoverallplumber.com>
- [۲۷] بدیری ن. و عبدالحمیدزاده ب..، "ارزیابی کمی و کیفی ریسک در صنایع فرآیندی"، چاپ اول، انتشارات اندیشه‌سرا.

- [28] Fincham A. E. and Goldwater M. H., (1979), "Simulation Models for Gas Transmission Networks", **Transactions of the Institute of Measurement and Control**, vol 1, no. 1, pp. 3-13.
- [29] Levenspeil O., (1984), "**Engineering Flow and Heat Exchange**", Plenum Press, New York, NY.
- [30] Buerck J., Roth S., Kraemer K. and Mathieu H., (2003), "OTDR Fiber-optical Chemical Sensor System for Detection and Location of Hydrocarbon Leakage", **Journal of Hazardous Materials**, vol. 102, pp. 13–28.
- [31] Batzias F., Siontorou C. and Spanidis P., (2011), "Designing a Reliable Leak Bio-detection System for Natural Gas Pipelines", **Journal of Hazardous Materials**, vol. 186, pp. 35–58.
- [32] Meng L., Yuxing L., Wuchang W. and Juntao F., (2012), "Experimental Study on Leak Detection and Location for Gas Pipeline Based on Acoustic Method", **Journal of Loss Prevention in the Process Industries**, vol. 25, pp. 90–102.
- [33] Murvay P. S. and Silea I., (2012), "A Survey on Gas Leak Detection and Localization Techniques", **Journal of Loss Prevention in the Process Industries**, vol. 25, pp. 966–973.
- [34] Zhang T., Tan Y., Zhang X. and Zhao J., (2015), "A Novel Hybrid Technique for Leak Detection and Location in Straight Pipelines", **Journal of Loss Prevention in the Process Industries**, vol. 35, pp. 157–168.
- [35] Woodward J. L. and Mudan K. S., (1991), "Liquid and Gas Discharge Rates through Holes in Process Vessels", **Journal of Loss Prevention in the Process Industries**, vol. 4, no. 9, pp. 161-165.

- [36] Olorunmaiyeat J. and Imideb N. E., (1993), "Computation of Natural Gas Pipeline Using the Method of Characteristics", **Journal of Hazardous Materials**, vol. 34, pp. 81–98.
- [37] Lang E. and Fannelop T.K., (1987), "Efficient Computation of the Pipeline Break Problem", 3rd Symposium on Fluid Transients in Fluid Structure Interaction, AJME, vol. 56, pp. 115-123.
- [38] Montiel H., Vilchez J., Casal J. and Arnaldos J., (1998), "Mathematical Modelling of Accidental Gas Releases", **Journal of Hazardous Materials**, vol. 59, no. 2-3, pp. 211-233.
- [39] Yuhu D., Huilin G., Jing'en Z. and Yaorong F., (2003), "Mathematical Modelling of Gas Releases through Holes in Pipelines", **Chemical Engineering Journal**, vol. 92, no. 1-3, pp. 237-241.
- [40] Jo Y. and Ahn B., (2003), "A Simple Model for the Release Rate of Hazardous Gas from a Hole on High-pressure Pipelines", **Journal of Hazardous Materials**, vol. 97, no. 1-3, pp. 31-46.
- [41] Luo J. L., Zheng M., Zhao X. W., Huo C. Y. and Yang L., (2006), "Simplified Expression for Estimating Release Rate of Hazardous Gas from a Hole on High-pressure Pipelines", **Journal of Loss Prevention in the Process Industries**, vol. 19, no. 3, pp. 362-366.
- [42] Lu L., Zhang X., Yan Y., Li J. M. and Zhao X., (2014), "Theoretical Analysis of Natural-Gas Leakage in Urban Medium-Pressure Pipelines", **Journal of Environment and Human**, vol. 1, no. 2, pp. 71-86.
- [43] Oke A., Mahgerefteh H., Economou I. and Rykov Y., (2003), "A Transient Outflow Model for Pipeline Puncture", **Chemical Engineering Science**, vol. 58, no. 20, pp. 4591-4604.
- [44] نورالهی ا., داورپناه س. ا. و برادران رحیمی ا., (۱۳۸۸)، " شبیه‌سازی نشتی خطوط لوله گاز با استفاده از روش مشخصه‌ها ", دوازدهمین کنفرانس دینامیک شاره‌ها، بابل، ایران.
- [45] Kostowski W. J. and Skorek J., (2012), "Real Gas Flow Simulation in Damaged Distribution Pipelines", **Energy**, vol. 45, no. 1, pp. 481-488.
- [46] Nouri-Borujerdi A., (2011), "Transient Modeling of Gas Flow in Pipeline Following Catastrophic Failure", **Mathematical and Computer Modelling**, vol. 54, no. 11-12, pp. 3037-3045.

- [47] Moloudi R. and Abolfazli Esfahani J., (2014), "Modeling of Gas Release Following Pipeline Rupture: Proposing Non-Dimensional Correlation", **Journal of Loss Prevention in the Process Industries**, vol. 32, pp. 207-217.
- [48] Nithiarasu P., (1999), "Finite Element Modeling of a Leaking Third Component Migration from a Heat Source Buried into a Fluid Saturated Porous Medium", **Mathematical and Computer Modeling**, vol. 29, no. 4, pp. 27–39.
- [49] "Engineering Data Book", (2004), Twelfth Edittion, Gas Processors Suppliers Association (GPSA), Oklahoma.
- [50] Flatt R., (1986), "Unsteady Compressible Flow in Long Pipelines Following a Rupture", **International Journal for Numerical Methods in Fluids**, vol. 6, pp. 83-100.
- [51] جابری خسروشاهی ع.، (۱۳۹۳)، پایان نامه کارشناسی ارشد: "ارزیابی و تحلیل مقدار گاز طبیعی تخلیه شده از لوله به محیط"، دانشکده مهندسی مکانیک، دانشگاه صنعتی سهند.
- [52] Versteeg H. K. and Malalasekera W., (2007), "**An introduction to computational fluid dynamics; the finite volume method**", Pearson, Essex.
- [53] Lu J., Xu S., Deng J., Wu W., Wu H. and Yang Z., (2016), "Numerical Prediction of Temperature Field for Cargo Containment System (CCS) of LNG Carriers During Pre-cooling Operations", **Journal of Natural Gas Science and Engineering**, vol. 29, pp. 382-391.
- [54] FLUENT 6.3 User's Guide, February 2003.
- [55] Moean M. J., Shapiro H. N., Boettner D. D. and Bailey M. B., (2011), "**Fundamentals of Engineering Thermodynamics**", Seventh Edittion, Wiley, United States.
- [56] Ewing R. E., Wang J. and Weekes S., (1999), "On the Simulation of Multicomponent Gas Flow in Porous Media", **Applied Numerical Mathematics**, vol. 31, no. 4, pp. 405-427.
- [57] Streeter V. L. and Wylie E. B., (1971), "**Fluid Mechanics**", Fifth Edittion, McGraw-Hill, New York.
- [58] توحیدی ا. و غفاری قهرودی ه.، (۱۳۹۲)، "راهنمای جامع ANSYS FLUENT" (مقدماتی)", چاپ اول، مؤسسه فرهنگی هنری دیباگران تهران.

- [59] Launder B. E. and Spalding D. B., (1974), “The Numerical Computation of Turbulent Flowss”, **Computer Methods in Applied Mechanics and Engineering**, vol. 3, pp. 269-289.
- [60] Murthy S. N. B., (1975), **“Turbulent Mixing in Nonreactive and Reactive Flows”**, Plenum Press., New York.
- [61] Nayyar M. L., (2000), **“Piping Handbook”**, 7th Edittion, McGraw-Hill, New York.
- [62] Itoh O. T., (1981), **“Thermal Properties of Soils”**, CRREL, United States.
- [63] Ergun S., (1952), “Fluid Flow through Packed Columns”, **Chemical Engineering Progress**, vol. 48, no. 2, pp. 89-94.

## Abstract

The main aim of the present investigation is to develop correlations to calculate natural gas leakage rate form above-ground and buried urban distribution gas pipelines. By using numerical simulation, has been paid to calculate the amount of natural gas leakage from a small hole located on top of the lateral surface of the above-ground and buried distribution gas pipe lines. The geometry is designed and meshed by Gambit software and then numerical solution is done by using Fluent software. The intended fluid is considered as compressible with ideal gas behavior, flow is turbulent and steady and soil is considered as a porous zone. The results indicate that in the above-ground pipe state, for holes with small diameters, discharge speed reaches to the sound speed and at the so-called, choking occurs in the flow. Also based on the result, the volumetric flow rate of leaked gas have a linear relation, second order relation and fourth order relation with pressure of initial point, diameter of hole and ratio of the hole diameter to the pipe diameter, respectively. In the case of buried pipes, permeation depth of gas into soil at the small diameter holes is more than large holes but volumetric rate of leaked gas is lower. Finally two useful correlations have been proposed to calculate the natural gas leakage from a small hole located on the lateral surface of the above-ground and buried distribution gas pipelines.

**Keywords:** Natural gas, Distribution gas pipelines, Leakage, Hole, Buried pipe, Numerical simulation, Fluent.



Faculty of Mechanical and Mechatronics Engineering

M.Sc. Thesis in Energy Conversion Engineering

**Computing the Amount of Gas Release from Buried Natural Gas  
Distribution Pipelines by Using Numerical Simulation**

By: Amir Ebrahimi-Moghadam

Supervisor:  
Dr. Mahmood Farzaneh-Gord

Adviser:  
Dr. Mahdi Deymi-Dashtebayaz

September 2016